

## ČASOPIS

PRO RADIOTECHNIKU

A AMATÉRSKÉ VYSÍLÁNÍ

ROČNÍK XIX/1970 Číslo 1

## V TOMTO SEŠITĚ

Náš interview . . . . .	1
Čtenáři se ptají . . . . .	2
Dopis měsíce . . . . .	2
Písmenové symboly v radioelektronice . . . . .	3
Součástky na našem trhu . . . . .	5
Jak na to . . . . .	6
Stavebnice mladého radioamatéra (krystalky) . . . . .	7
Show mixer . . . . .	9
Čtyřkanálová proporcionalní souprava RC . . . . .	10
Přijímač Super Major . . . . .	16
Zajímavá zapojení s relé . . . . .	17
Praktický měřicí přístroj . . . . .	18
Nf zesilovač 500 mW . . . . .	24
Elektronické ovládání střešáků . . . . .	25
Zapojení stabilizátorů proudů a napětí . . . . .	28
Měřicí jazyčkových relé . . . . .	29
Booster ke kytaře . . . . .	31
Některé aplikace lineárních integrovaných obvodů . . . . .	31
Návrh výkonových zesilovačů a násobič kmitočtu . . . . .	33
Budič SSB AXE 45.2 . . . . .	34
Soutěž a závody . . . . .	36
RTO Contest . . . . .	37
DX . . . . .	37
Naše předpověď . . . . .	38
Nezapomeňte, že . . . . .	39
Přečteme si . . . . .	39
Četli jsme . . . . .	39
Inzerce . . . . .	39

Na str. 19 a 20 jako vyjímatelná příloha „Programovaný kurz základu radioelektroniky“.

Na str. 21 a 22 jako vyjímatelná příloha „Malý katalog tranzistorů“.

AMATÉRSKÉ RADIO  
Vydává Svazarm ve vydavatelství MAGNET, Praha 1, Vladislavova 26, telefon 234355-7. Šéfredaktor ing. František Smolík, zástupce Lubomír Březina. Redakční rada: K. Bartoš, ing. J. Čermák, CSc, K. Donát, ing. L. Hloušek, A. Hofhans, Z. Hradík, ing. J. T. Hyun, K. Krbec, K. Novák, ing. O. Petráček, dr. J. Petránek, ing. J. Plžák, M. Procházka, ing. K. Pytner, ing. J. Vackář, CSc, laureát st. ceny KG, J. Ženíšek. Redakce Praha 2, Lublaňská 57, tel. 223630. Ročně vydá 12 čísel. Cena výtisku 5 Kčs, pololetní předplatné 30 Kčs. Rozšířuje PNS, v jednotkách ozbrojených sil vydavatelství MAGNET, administrace Praha 1, Vladislavova 26. Objednávky přijímá každá pošta i doručovatel. Dohledací pošta Praha 07. Objednávky do zahraničí vyřizuje PNS, vývoz tisku, Jindřišská 14, Praha 1. Tiskne Poligrafia 1, n. p., Praha. Inzerci přijímá vydavatelství MAGNET, Vladislavova 26, Praha 1, tel. 234355-7, linka 294. Za původnost příspěvků ručí autor. Redakce rukopis vrátí, bude-li využádán a bude-li připojená frankovaná obálka se zpětnou adresou.

Toto číslo výšlo 7. ledna 1970.

© Vydavatelství MAGNET, Praha

náš  
interview

s ing. J. Šmilauerem, CSc, vedoucím ionosférické observatoře Geofyzikálního ústavu ČSAV v Panské Vsi a Mir. Jiskrou, technikem této observatoře, o pozorování při šíření radiových vln.

Vaše observatoř vznikla někdy kolem roku 1953, kdy zde začal pozorovat šíření radiových vln Miroslav Jiskra (ex OKIFA) jako svého konička v celku primitivním amatérským zařízením, umístěným v jedné místnosti jeho domku. Dnes je to zde — jak vidím — dobré vybaveno.

Ano, máte pravdu. Ukázalo se, že praktická pozorování ionosféry mají pro různé obory velký význam, proto se Geofyzikální ústav ČSAV rozhodl postavit v Panské Vsi speciální ionosférickou observatoř. Nákladem téměř milión korun byla v roce 1961 postavena budova observatoře, vybavena měřicími přístroji, jejichž park se dále rozšiřuje (viz II. str. obálky). Hlášení naší observatoře jsou pokládána za seriózní, takže jménem Panské Vsi se objevuje v ursigramech, v nichž jsou uváděna data o šíření radiových vln z různých míst světa a které jsou denně vydávány ve Washingtonu a Moskvě, pro Evropu v oblastním středisku v Paříži. Sami dodáváme výsledky pozorování do Meudonu ve Francii, Darmstadtu v NSR a do Nery v Nizozemí.

## Jak jsou tato pozorování prováděna?

Naše vlastní pozorování jsou porovnávána s výsledky měření jiných observatoří, např. v Průhonických, popřípadě v Ondřejově. Spolu s optickým pozorováním Slunce, měřením slunečního radiového záření, ionosférickým měřením a měřením údajů o zemském magnetismu je předpovídán výskyt geomagnetických a ionosférických bouří, polárních a kosmických záření, Dellingrova jevu, tedy zvýšená sluneční činnost.

## A jak se dozvete o zvýšené sluneční činnosti?



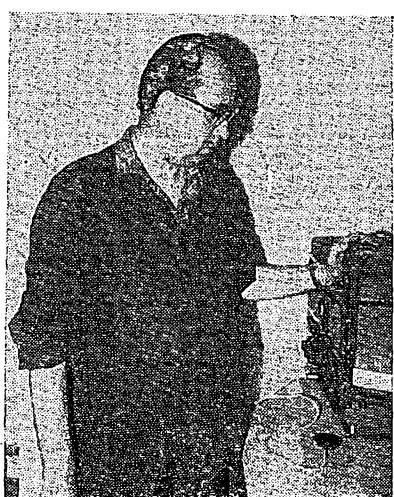
Ing. J. Šmilauer, CSc.

To právě vyplývá z optického pozorování Slunce na Ondřejově. Na Slunci se objevují sluneční skvěny, při nichž vzniká i radiové záření Slunce. Radiové a světelné vlny, jak víte, se šíří rychlosťí 300 000 km/s. Největší poruchy ionosféry, její aktivizaci, však zavírají hmotné částečky ze Slunce, které dopadají na ionosferu a Zem. Protože však se šíří pomaleji než radiové vlny, přijdou k nám o 36 až 48 hodin později. Středisko pro zjištování mimorádné činnosti Slunce vydávají tzv. varování. Vliv této činnosti na šíření radiových vln se pak mimorádně pečlivě sleduje. Kdybychom to chtěli shrnout, můžeme říci, že my zde pozorujeme odesvy na sluneční erupce sledováním některých změn šíření radiových vln od velmi dlouhých až po krátké rádu jednotek MHz. Zde — jak vidíte — přijímáme atmosférické poruchy na kmitočtech 5 kHz a 27 kHz, na ostatních přístrojích měříme na signálech rozhlasových stanic Brassov (155 kHz), Allouis (164 kHz), Norddeich (2 614 kHz) a Kiel (2 775 kHz).

## A tato měření jsou všechna, která provádíte?

Nikoli, to je jen asi třetina naší práce. Našim druhým hlavním úkolem je měření parametrů ionosféry pomocí radiodých signálů vysílaných z družic, tj. pomocí změn radiových vln, k nimž dochází v ionosféře při průchodu od družic na Zem. Tento průchod měříme např. na kmitočtech 20, 40 a 360 MHz. Na kmitočtech v okolí 136 MHz dále sledujeme telemetrická měření družic (např. Roentgenovo záření). Právě před deseti minutami proletěla jedna taková americká družice řady Explorer, jejíž radiové signály nejdříve nahráváme na magnetofon a potom je přepisujeme na čtyřkanálovém elektrokardiografu a vydobnoucíme. Družice přilétala ze západu, byla slyšet na vzdálenost 4 000 km a od nás na východ na 3 000 km.

Třetím hlavním úkolem je měření a sledování hvizdů na velmi dlouhých



Mir. Jiskra

vlnách. O tom jste přinesli podrobné informace v AR 1/59 na str. 22 v článku Exoférické hvizdy. Tato měření provádíme na kmitočtech 1 až 10 kHz, zapisujeme na magnetofonu a později vyhodnocujeme na přístroji Sonograf – což je vlastně spektrogram zvukových kmitočtů.

A jakým způsobem se podilite na kosmickém výzkumu?

Dříve zde Miroslav Jiskra prováděl mnoho zážnamů vysílání kosmických lodí a sledoval i šíření radiových vln na kosmické vzdálenosti. S vyhodnocováním však byly obtíže pro neznalost šifrovacích klíčů. V budoucnu se chceme více zapojit do bádání v kosmickém šíření radiových vln i prakticky. Pravděpodobně zhovovíme i část zařízení družice Interkosmos 3 ke sledování těch parametrů ionosféry, které zajímají většinu ionosfériků a mohou mít mimojiné i podstatný význam pro získání nových poznatků o šíření radiových vln.

Děkujeme za interview. Přejeme vám hodně úspěchů při sestavování předpovědi šíření radiových vln, které mají význam pro celou rádu institucí i pro amatéry. Jinak stále dobré podmínky v šíření radiových vln a vám hodně a nám málo Dellingerových jevů.

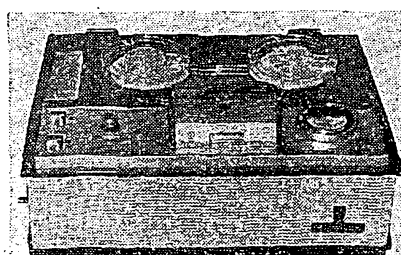
Rozmlouval ing. F. Smolík

\* \* \*

### Pronájem magnetofonů GRUNDIG

Dne 17. listopadu m. r. byl zahájen – zatím jen ve vybraných střediscích MULTISERVISU TESLA – pronájem magnetofonů GRUNDIG 120. Licenční výrobek známé firmy Grundig prošel náročnými zkouškami a obstál dobrě. Nové, nezvykle jednoduché řešení otočného ovládacího rádiče, dokonalý vzhled a levné nájemné (80,- Kčs měsíčně) předurčuje tento dyutopý stolní magnetofon k nejšířímu použití. Veškerý servis a opravy jsou samozřejmě bezplatné, jak ani jinak nemůže být u MULTISERVISU TESLA.

Magnetofony GRUNDIG pronájímají zatím jen tato střediska Multi-



servisu (nebo RTS a podniky MH): Praha 1, Národní 25 (pasáž Metro) a Soukenická 3; Praha 2, Slezská 4; Praha 6, Na Petřinách 56 (v obchodním domě Včela); Brno, Masarykova 23; Ostrava, Gottwaldova 10; Prostějov, Žižková nám. 10; Jihlava, nám. Míru 66; Pardubice, Jeremenkova 2371; Plzeň, Palackého 1 (RTS Kovopodnik); K. Vary, Krymská 47 (RTS MH); Liberec, Vavřincův vrch 208 (RTS Montáž, záv.); Most, Gottwaldova 2924/3 (RTS Dehor); Ústí n. L., Pařížská 19; Č. Budějovice, U jesí 1341/A (RTS Elektroservisu); Hradec Králové, Nádražní 60 (KRTS Eram).



Vyměnil jsem v Azuritu obrazovku 431QQ44 za obrazovku B43G2. Po vyměně obrazovky bylo všechno v pořádku, ale obraz má na jedné nebo druhé straně tmavý kout. V čem mám hledat závadu? (J. Surmár, Trenčín.)

Tato závada se po vyměně vychylovacích cívek vyskytuje tehdy, jížou-li vychylovací cívka na hridle obrazovky v takovém poloze, v niž nedoláhla celá plocha celá vychylovacích cívek na kónus obrazovky. Při použití stávajících cívek to lze řešit tím, že cívky (jejich „uši“) roztahneme na nejákém trnu (např. dřevěném) tak, aby doléhaly na obrazovku celou plochou; nesmíme přitom ovšem poškodit jejich izolaci a musíme je roztahnout rovnoramenně, jinak bude obraz kónický. Druhou možností je použít cívky pro obrazovky s takovým vychylovacím úhlem, jaký má obrazovka B43G2.

Mám japonské tranzistory (následuje výčet česti různých typů), jaké mají naše ekvivalenty? Jak mohu poznat hodnotu odporu, který má místo čísla barevné proužky? (M. Novák, Dubí 1.)

Jíž několikrát jsme upozorňovali, že v současné době nemůžeme odpovídat na všechny žádosti o poskytnutí údajů a náhrad zahraničních polovodičových součástek, neboť jednak nemáme k dispozici japonské a americké katalogy tranzistorů a diod, jednak nás spolučerovník, který pro nás tyto údaje vyhledával, pracuje nyní na katalogu tranzistorů, který vychází na pokračování v AR, takže se nemůže zabývat odpovídáním na jednotlivé dotazy.

Klíč k určení hodnoty barevně značených odporů byl v AR 12/69 právě v této rubrice.

Prosím o uveřejnění informace o mezičrkvenkových transformátořech, které jsou běžně k dostání v odborných prodejnách Tesla. Chápu všechno, v jakém rozmezí se dají ladit a dají-li se přeladit na kmitočet 476 kHz. (A. Honek, Malé Přitočno.)

Uveřejňovaný údajů o těchto výrobkách má pro nás jeden velmi neprijemný důsledek – obvykle nejsou totiž tyto součástky na trhu ani tak dlouho, jak dlouho trvá výroba časopisu. Ctenáři nám pak pravě vytýkají, že uveřejňujeme údaje o součástkách, které již nejsou na trhu, popř. musíme odpovídat na množství dotazů, kde lze součástky schnat. Jednodušší je objednat si v dokumentačním středisku Tesly v Sokolovské ul. 144, Praha-Karlin, servisní dokumentaci k přijímaci, v němž jsou součástky použity – tam je zapojení i další údaje.

Všeobecně je však fáci, že běžné mf transformátoru lze rozložit vzhledem k jmenovitému rezonančnímu kmitočtu asi o 5 %, tj. obvykle až o 10 kHz.

V okolí jmenovitého kmitočtu lze však změnit kapacitu paralelního kondenzátoru snadno dosáhnout změny rezonančního kmitočtu v poměrně širokém rozmezí; v každém případě lze dosáhnout mf kmitočtu 476 kHz, aniž by se nějak změnily vlastnosti mf transformátoru.

Jaký typ výstupního transformátoru je vhodný pro koncovou elektronku EL84? Jak se dá nejdříve zjistit impedance výstupního transformátoru nebo cívky reproduktoru? (L. Skublá, Určim.)

Nahlédnutím do katalogu elektronek lze snadno zjistit, že pro elektronku EL84 je vhodný takový výstupní transformátor, který má impedance primárního vinutí (podle zapojení) 5,2 až 8 KO, neboť tak velký je pracovní odpor této elektronky.

Přiblížně lze impedance běžných reproduktorů zjistit z měřením ohmmetrem; naměřený odpor se v rozmezí několika procent rovná impedance kmitací cívky. Impedance výstupních transformátorů jednoduchými prostředky změnit nelze. (Je třeba buď změnit induktivnost vinutí a impedance vypočítat, nebo použít k určení impedance tónový generátor a další přístroje.) Některé údaje o určování vlastnosti transformátorů byly v AR 5/69 na str. 187.

\* \* \*

Závěrem ještě několik zpráv a oprav. Především všem, kdo shánějí některá starší čísla AR: napsal nám čtenář I. Tichý, Žižková 56, Jihlava, že může zájemcem zaslát tato čísla AR: 8/64, 1/65, 5/66, 11/66, 4/67, 8/67, 1/68, 2/68 a 3/68 (za běžnou cenou).

Najivení transformátorů (sifových nebo výstupních) nabízí Vladimír Nykles, tr. Svobody 27, Čeb.

Ctenář V. Soukáš nás upozornil, že jsme jednak uveřejnili nesprávné číslo telefonu zásilkové služby Tesly OPMO v Uherském Brodě (správné číslo, na němž lze objednávat součástky, je 3158, Uherský Brod), jednak na to, že tato prodejna nevede např. keramické kondenzátory, cuprex tit. apod.

Dále nám sdělil Fr. Kosina, autor článku Třípovelový vysílač pro modely (AR 7/69), že v obr. 2 jeho článku je třeba přerušit plošný spoj mezi emitem  $T_4$  a odporem  $R_{11}$ .

### Druhý program v NDR

3. října 1969 začali v NDR s vysíláním druhého TV programu. Vysílače umožňují přenáset i barevný obraz (v NDR používají systém SECAM). Slavnostní program ze zahájení vysílání barevné televize byl přenášen černo-bílé verzi i našimi vysílači. Pro příjem barevné televize vyuvinul podnik VEB Stassfurt televizor RFT Color 20. Zatím jsou v činnosti vysílače uvedené v první části tabulky; ve druhé části jsou vysílače, jejichž stavba se dokončuje.

Vysílač	Kanál	Kmitočet [MHz]	Polarizace
Berlin	27	519,25 až 524,75	H
Dequede	31	551,25 až 556,75	H
Drážďany	29	535,25 až 540,75	H
Schwerin	29	535,25 až 540,75	H
Lipšic	22	479,25 až 484,75	H
Marlow	24	495,25 až 500,75	H



Vážená redakce!  
Nejsem z těch, kteří často piší, ale teď toho mám víc a myslím, že když se mi bude lehčejí.

Jíž několikrát let se zabývám stavbou elektronických varhan (nyní stavím druhé) a ani snad

nemusím zdůrazňovat, jaké mám těžkoť se sháněním materiálu. Myslím, že ani v Praze to není růžové, ale o to horší je to „na venkově“. Bydlím ve Spišské Nové Vsi, je to okresní město, ale prodejna s radioamatérským materiálem zde není. Pro jeden odpor musím cestovat téměř 100 km, nebo si objednat v Praze a potom čekat, čekat, čekat. Ještě jsem nedostal kompletně vybavenou objednávku. Strohý razitko: Ostatní zboží nemáme na skladě a Vaši objednávku nevedeme... mi nedává naději do budoucna — mám či nemám za čas objednat součástky znovu, nebo neobjednávat již vůbec, nebo si součástky zhotovit sám? (Jíž jsem si vyrábí i odpory a kondenzátory!) Jsem však věci, které se zhotovit nedají.

Pamatuju na blahé časy „směsi dutých nýtků v krabičce za 5,- Kčs“. Od té doby (asi 15 let) jsem nedostal v žádné objednávce ani jeden a navíc ani rádku o tom, kde mám shánět. A to již ani nebudu mluvit o objednávých součástkách z Rožnova, katalogu radioamatérského zboží (dousfám, že přece Jen základ jednom výjde) atd. atd. To zná každý z vlastní zkušenosti.

Samoostatnou kapitolu tvoří cena součástek. Myslím, že nejeden problém s výchovou mládeže by se odstranil, kdyby byly tyto věci cenově dostupnější, kdyby byly širší sortiment a kdyby existovala skutečně fungující zásilková služba, jakou mají ve všech průmyslově vyspělých státech. Věřím, že nejeden mladý člověk sedí u piva z nedostatku možnosti jiné činnosti (stejně nákladné). Sám jsem chtil u mladých vzbudit zájem „o drátky“, celý pokus však ztroskotal na právě vyzpomínaném nedostatku materiálu. Zato u nás nepamatuju nedostatek v sortimentu alkoholických nápojů, jejichž cena je lidová a prodej je rovněž dostatek. Srovnejme cenu křemíkového tranzistoru (až 500 Kčs), který se navíc může snadno znídit — s cenou láhev alkoholu. Nejdražší dovážené nápoje tohoto druhu stojí 330,- Kčs za láhev 0,7 l. Závěrem nezbyvá než konstatovat jedno — výmluvy nu to či ono by již měly přestat. Když dokáži jinde mít v této oblasti všechno v pořádku, proč to nejde u nás?

Mikuláš Matla, Spišská Nová Ves

Ani redakce není současný stav v zásobování české obce radioamatérů lhostejný (nebyl ani v minulosti). Naposledy jsme o této věci jednali 21. listopadu 1969, a to s obchodním ředitelstvím generálního ředitelství Tesla dr. Doležalem. Bude-li se plnit to, na čem jsme se vzájemně dohodli, zlepší se přísluní výrobku na testování, přísluní informačního materiálu o výrobcích a součástkách (budeme uveřejňovat) a především zásobování trhu běžnými (a snad i méně běžnými) součástkami čs. výroby.

Přesto se připojujeme k závěrečné otázce dopisu našeho čtenáře – není opravdu možné udělat něco s čenami součástek a s dalšími problémy, jichž se M. Matta dotkl? Domníváme se, že je skutečně nevyšší čas s celou touto problematikou pohnout alešponem o krůček (jak praví přísloví: Kapka ke kapce...).

# PÍSMENOVÉ SYMBOLY V RADIOTELEKTRONICE

Přehled základních schematických značek z minulého čísla AR doplňujeme dnes přehledem hlavních písmenových symbolů a zásad pro tvorbu těchto symbolů.

Základním dílem pro značení součástek je ČSN 01 1301 – Veličiny, jednotky a značky ve fyzice. Označování polovodičových prvků vychází z konečného návrhu ČSN 35 8710 – Písmenové symboly pro polovodičové prvky. Tyto dvě normy byly hlavním vodítkem při rozdělování, jaké symboly bude me napříště v časopise pro jednotlivé veličiny a prvky používat.

## Tvorba a používání symbolů

1. Písmenový symbol tvoří jedno nebo více písmen. První písmeno určuje měřenou nebo udávanou veličinu nebo vlastnost; je hlavním písmenem symbolu. Ostatní písmena psaná jako indexy určují bližší povahu symbolu nebo okolnosti (např. ladící kondenzátor: hlavní symbol je symbol kondenzátoru  $C$ , specifikace kondenzátoru – pro ladění, celkový symbol je tedy  $C_{\text{lad}}$  nebo  $C_1$ ; vstupní napětí potom  $U_{\text{vst}}$  apod.).

2. Všechny indexy utvořené jako zkratky se píši bez teček ( $I_{\text{min}}$ ,  $R_z$  apod.).

3. Mezi jednotlivými částmi indexu se nepíši rozdělovací znaménka kromě závorek a pomlček (tyto jen v nejnutnějších případech).

4. Písmenové symboly se píši co nejkratší, používají se jen nejnuttnejší indexy.

Symboly veličin se píši jako velká písmena, jde-li o stejnosměrné, maximální, střední a efektivní hodnoty. Malá písmena se používají pro okamžité hodnoty napětí, proudu a výkonu, které se mění s časem ( $u = U \sin \omega t$  apod.).

Stejná zásada platí i pro používání symbolů v indexech – u stejnosměrných hodnot a okamžitých celkových hodnot se píší indexy velkými písmeny (proud kolektoru  $I_C$ , napětí anoda-katoda  $U_{AK}$  apod.); složky proměnné s časem se píší malými písmeny (okamžité napětí emitor-báze  $u_{eb}$  apod.), efektivní hodnoty se píší s malými indexy; k označení středních hodnot se připisuje k indexu znak  $\bar{}$  av nebo  $A_V$  ( $I_{CAV}$ ). Proud kolektoru lze tedy označit těmito symboly:

$I_C$	stejnosměrná hodnota
$i_C$	okamžitá celková hodnota
$I_{CAV}$	celková střední hodnota
$I_{CM}$	nebo $I_{C_{MAX}}$ maximální celková hodnota
$I_c$	efektivní hodnota
$i_{cmn}$	minimální proměnná složka proudu kolektoru
$i_c$	okamžitá hodnota

## Značky pro text

Veličina	Značka	Základní jednotka
<b>a) Prostor a čas</b>		
délka	$l$	m
dráha	$s$	m
šířka	$b$	m
výška, hloubka	$h$	m
poloměr	$R, r$	m
průměr	$D, d$	m
průřez	$S$	$m^2$
čas	$t$	s
doba kmitu	$T$	s
kmitočet	$f$	Hz
kruhový		
kmitočet	$\omega$	$s^{-1}$
vlnová délka	$\lambda$	μm
rychlost	$v$	$m/s$
zrychlení	$a$	$m/s^2$
gravitační zrychlení	$g$	$m/s^2$
<b>b) Mechanika</b>		
síla	$F$	N
práce	$A$	J
energie	$W$	J
výkon, příkon	$P$	W
účinnost	$\eta$	—
<b>c) Zvuk</b>		
akustický tlak	$p$	$N/m^2$
akustická rychlosť	$v$	$m/s$
rychllosť šíření zvuku	$c$	$m/s$
hladina hlasitosti	$A$	Ph (fón)
<b>d) Teplota</b>		
absolutní teplota	$\Theta$	°K
teplota	$t (\delta)$	°C
teplelná vodivost	$\lambda$	$W/m$
		deg
<b>e) Elektřina a magnetismus</b>		
elektrický proud	$I$	A
náboj	$Q$	C (coulomb)

Veličina	Značka	Základní jednotka
intenzita elektrického pole	$E$	V/m
napětí	$U$	V
permitivita (dieléktická konstanta)	$\epsilon$	F/m
kapacita	$C$	F
odpor	$R$	Ω
impedance	$Z$	Ω
reaktance (jalový odpor)	$X$	Ω
vodivost (konduktance)	$G$	S (siemens)
admitance	$\gamma$	S
měrný odpor	$\rho$	Ωm
činný výkon	$P$	W
zdánlivý výkon	$S, P_s$	VA
jalový výkon	$Q, P_q$	VAr
účinník	$\cos \varphi$	—
magnetická indukce	$B$	T (tesla)
magnetický indukční tok	$\Phi$	W (weber)
intenzita magnetického pole	$H$	A/m
permeabilita	$\mu$	H/m
indukčnost vlastní	$L$	(henry)
indukčnost vzájemná	$M$	H
magnetický odpor, reluktance	$R_m$	1/H
činitel vazby	$z$	—
počet závitů	$N$	z
transformační poměr	$k, p$	—
strmost	$S$	A/V
průnik	$D$	—
činitel šumu	$F$	—
<b>f) Světlo</b>		
světelný tok	$\Phi$	lm (lumen)
osvětlení	$E$	lx (lux)
svítivost	$I$	cd (kandela)
jas	$L$	nt (nit)

## Základní matematické značky

přírůstek	$\Delta$	
dekadicke logaritmus	log	
přirozený logaritmus	ln	
celkový součet	$\Sigma$	
Ludolfovské číslo $\pi$ (= 3,141 59)		
základ přirozených logaritmů e	(= 2,71828)	
Předpony k tvorbení dekadických násobků základních jednotek		
tera	T	$10^{12}$
giga	G	$10^9$
mega	M	$10^6$
kilo	k	$10^3$
milli	m	$10^{-3}$
mikro	μ	$10^{-6}$
nano	n	$10^{-9}$
piko	p	$10^{-12}$

Při tvorbení dekadických násobků v elektrotechnice se nepoužívá ve schématu značka n, nano. (Např. je-li v textu kapacita kondenzátoru 10 nF, ve schématu je tato kapacita označena jako 10k). V textu se zásadně nepoužívá zkrácené značení hodnot součástek, které se používají pro schémata. Např. je-li v schématu označena součástka jako 1 M, bude v textu 1  $M\Omega$  nebo (jde-li o kondenzátor) 1  $\mu F$ .

## Přehled zkrácených značek pro schémata

1 až 100	1 až 100 $\Omega$ nebo 1 až 100 pF
100 až 1k	100 $\Omega$ (pF) až 1 000 $\Omega$ (pF)
1k až 10 k	1 000 až 10 000 $\Omega$ , 1 nF až 10 nF
10k až M1	10 000 $\Omega$ až 0,1 $M\Omega$ , 10 nF až 0,1 $\mu F$
1M až G1	1 $M\Omega$ až 100 $M\Omega$ , 1 $\mu F$ až 100 $\mu F$
1G	1 000 $M\Omega$ (1 $G\Omega$ ), 1 000 $\mu F$

## Značení součástek ve schématech

odpor	$R$
potenciometr	$P$
kondenzátor	$C$
cívka $L$ (závity)	$z$
transformátor	$Tr$
tlumivka	$Tl$
elektronika	$E$
tranzistor	$T$
dioda (všeobecně)	$D$
integrovaný obvod	$IO$
tyristor	$Ty$
spínač, tlačítko	$S$
přepínač	$Př$

pojistka	$Po$
relé	$Re$
kontakty relé	$re$
žárovka	$\tilde{Z}$
baterie	$B$
krystal	$X$
anténa	$A$
anténa feritová	$FA$
mf transformátor	$MF$
konektor	$K$
zdiřky	$Zd$
měřicí přístroj	$M$
doutnavka	$Di$
sluchátka	$Sl$

elektrody elektronek  $a, g, f, k$  (anoda, mřížka, žhavení, katoda)  
 elektrody diod (polovodičových)  $A, K$  (anoda, katoda)  
 elektrody tranzistorů  $C, B, E$ , popř.  $S, G$  a  $D$  (u FET),  $B_1, B_2, E$  (u UJT)

Pro všechny parametry polovodičových prvků pak platí tyto indexy (malá nebo velká písmena)

střední	AV
spínací	(BO)
průrazný	(BR)
vypnutý stav	D
propustný směr	F
přídržný (např. proud)	H
vnitřní	L
maximální	M(max)
minimální	min
naprázdnou	0
přetěžovací	(OV)
vypnuto	Q
závěrný směr	R
nakrátko	S
spínací, propustný	T
prahový	(TO)
pracovní	W

### Nejpoužívanější parametry tranzistorů a diod

Diody	
stejnosměrný propustný proud	$I_F$
stejnosměrný závěrný proud	$I_R$
stejnosměrný úbytek napětí v propustném směru	$U_F$
stejnosměrné závěrné napětí	$U_R$
diferenciální odpor v propustném směru	$r_F$

Tranzistory	
stejnosměrný proud kolektoru (bez signálu)	$I_C$
efektivní proměnná složka proudu kolektoru	$I_e$
okamžitý celkový proud kolektoru	$i_c$
okamžitá proměnná složka proudu kolektoru (se signálem)	$I_{CAV}$
zbytkový proud kolektoru, emitor naprázdno	$I_{CBO}$
zbytkový proud kolektoru, báze a emitor nakrátko	$I_{CES}, I_{CBS}$
stejnosměrné napětí báze-emitor	$U_{BE}$
průrazné napětí kolektor-báze, emitor naprázdno	$U_{CBO(BR)}$
průrazné napětí závěrné kolektor-emitor při definovaném odporu mezi bází a emitem	$U_{CE(BR)}$

saturační napětí kolektor-emitor	$U_{CESat}$
závěrné napětí kolektor-emitor při stanoveném předpěti báze-emitor v propustném směru	$U_{CEU}$
stejnosměrný proudový zesilovací činitel v zapojení se společným emitorem (výstupní napětí je konstantní)	$h_{21e}$
proudový zesilovací činitel nakrátko (malý signál)	$h_{21c}$
kapacita emitoru (kolektoru)	$c_{e(c)}$
přechodový kmitočet	$f_T$
mezní oscilační kmitočet	$f_{max}$
kmitočet jednotkového proudového zesílení	$f_1$
mezní kmitočet v zapojení se společným emitorem (pokles $h_{21e}$ o 3 dB)	$f_{h21e}$
výkonový zisk	$G_p$
výstupní střídavý výkon	$P_{out}$
odpor báze	$r_{bb'}$
saturační odpor kolektor-emitor (malý signál)	$r_{cesat}$
tepelný odpor	$R_{th}$
teplota okolí	$t_a, \delta_a$
teplota pouzdra	$t_c, \delta_c$
celkový výstupní výkon (stejnosměrný nebo střední)	$P_{tot}$
doba zpoždění	$t_d$
doba týlu	$t_t$
zapínací doba	$t_{on}$
vypínací doba	$t_{off}$
trvání impulsu	$t_p$
doba náběhu impulsu	$t_r$
přesah impulsu	$t_s$

K doplnění ještě několik zvyklostí, které dodržujeme v našem časopise. Všechny zkratky přídavných jmen píšeme zásadně malými písmeny (vf, nf, mf, st - střídavý, ss - stejnosměrný apod.). Polaritu tranzistorů značíme malými písmeny, mezi nimiž jsou pomlčky (p-n-p, n-p-n). Druh drátu se označuje zkratkou materiálu, z něhož je drát vyroběn; za ní následují písmena, označující druh izolace drátu. Tato písmena jsou: všeobecná značka pro lakovou izolaci L (smalt, email apod.), pro izolaci plastickými hmotami je určeno písmeno U, pro opředení hedvábím H a pro opředení bavlnou B, přičemž 2B znamená dvojitě opředení bavlnou, opletení se značí písmenem X, stínění F. Např. drát o  $\varnothing 0,8$  mm CuL2B znamená měděný drát o průměru 0,8 mm, izolovaný lakem a dvojitým opředením bavlnou.

Průběh nejčastěji se vyskytujících potenciometrů (logaritmický nebo lineární) se vyznačuje (za hodnotou potenciometru) písmeny G nebo N, přičemž např. 5k/N znamená potenciometr 5 k $\Omega$  s lineárním průběhem odpovídající dráhy. Velkými písmeny značíme některé zkratky názvů, jako např. VKV, AVC (samočinné vyrovnávání citlivosti), AFC (samočinné dolaďování kmitočtu) apod.

Tento stručný seznam symbolů doplňujeme ještě symboly pro signály různých vlnových délek: krátké vlny KV, střední vlny SV, dlouhé vlny DV - tyto značky jsme používali a budeme používat i nadále; pro vlnové délky kratší než KV budeme používat tyto symboly (v závorce mezinárodní značení): VKV - velmi krátké vlny (VHF), UKV - ultrakrátké vlny (UHF), SKV - superkrátké vlny (SHF), EKV - extrakrátké vlny (EHF).

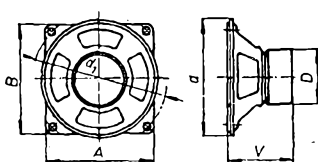
Pro informaci našim spolupracovníkům a dopisovatelům uvádíme ještě několik příkladů toho, čeho je třeba se vystříhat - zásadně není možné psát k označení jednotek indexy, např. 5 V<sub>er</sub> (volty efektivní) apod.; indexy se píši jen k veličinám, nikdy k jednotkám; bude tedy  $U_{er} = 5$  V,  $I_{ss} = 1$  A atd. Pro mezikrakové napětí (nebo jiné veličiny) nebude používat index š (např.  $U_{ss}$ ), ale mv ( $U_{mv}$ ).

# Součástky na našem trhu

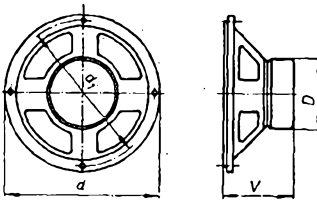
1. Reproduktory s feritovým magnetem

Typ	Max. příkon [VA]	Impedance [ $\Omega$ ]	Vl. rezon. [Hz]	Kmit. rozsah [Hz]	Char. citliv. [dB/VAm $^{-1}$ ]	Rozměry [mm]						Obr. č.	
						a × b	A × B	d	d <sub>1</sub>	D	V		
ARO367	1,5	4	150 až 220	150 až 15 000	88	—	95 × 95	100	119	60	53	0,34	1
ARO567	3	4	80 až 120	80 až 12 000	93	—	—	165	156	60	70	0,39	2
ARO666	5	8	60 až 90	60 až 10 000	95	—	—	203	193	80	84	0,84	2
ARO667	5	4	60 až 90	60 až 10 000	95	—	—	203	193	80	84	0,84	2
ARE366	1,5	8	160 až 270	160 až 15 000	88	105 × 60	125 × 80	—	—	60	52	0,34	3
ARE367	1,5	4	160 až 270	160 až 15 000	88	105 × 60	125 × 80	—	—	60	52	0,34	3
ARE467	2	4	110 až 160	110 až 15 000	90	130 × 75	160 × 100	—	—	60	57	0,36	3
ARE567	3	4	80 až 120	80 až 14 000	91	165 × 95	205 × 130	—	—	60	67	0,38	3
ARE667	5	4	60 až 90	60 až 10 000	93	210 × 115	255 × 160	—	—	80	80	0,79	3

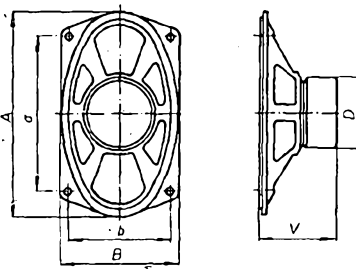
## REPRODUKTORY



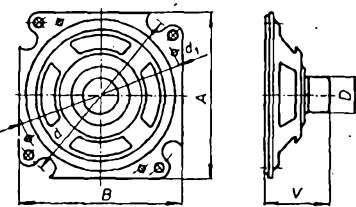
Obr. 1. a 4.



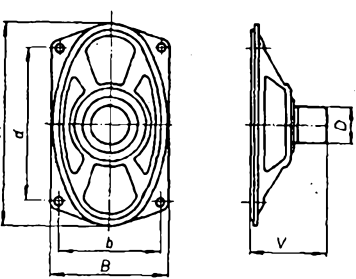
Obr. 2. a 5.



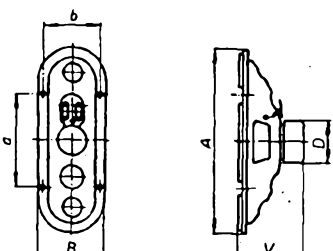
Obr. 3. a 6.



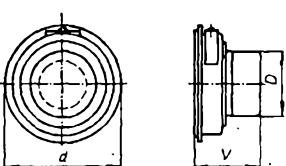
Obr. 7.



Obr. 8.



Obr. 9.



Obr. 10.

2. Reproduktory s magnetem Alnico UKj

Typ	Max. příkon [VA]	Impedance [ $\Omega$ ]	Vl. rezon. [Hz]	Kmit. rozsah [Hz]	Char. citliv. [dB/VAm $^{-1}$ ]	Rozměry [mm]						Obr. č.	
						a × b	A × B	d	d <sub>1</sub>	D	V		
ARO389	1,5	4	150 až 220	150 až 15 000	85	—	95 × 95	100	119	38	52	0,18	4
ARO385	1,5	50	150 až 220	150 až 15 000	85	—	95 × 95	100	119	38	52	0,18	4
ARO589	3	4	80 až 120	80 až 12 000	90	—	—	165	156	38	69	0,23	5
ARO689	5	4	60 až 90	60 až 10 000	92	—	—	103	193	50	84	0,45	5
ARE389	1,5	4	160 až 270	160 až 15 000	85	105 × 60	125 × 80	—	—	38	51	0,19	6
ARE486	2	10	110 až 160	110 až 15 000	86	130 × 75	160 × 100	—	—	38	56	0,21	6
ARE489	2	4	110 až 160	110 až 15 000	87	130 × 75	160 × 160	—	—	38	56	0,21	6
ARE589	3	4	80 až 120	80 až 14 000	88	165 × 95	205 × 130	—	—	38	66	0,23	6
ARE689	5	4	60 až 90	60 až 10 000	90	210 × 115	225 × 160	—	—	50	79	0,46	6

3. Reproduktory pro přenosné přijímače

Typ	Max. příkon [VA]	Impedance [ $\Omega$ ]	Vl. rezon. [Hz]	Kmit. rozsah [Hz]	Char. citliv. [dB/VAm $^{-1}$ ]	Rozměry [mm]						Obr. č.	
						a × b	A × B	d	d <sub>1</sub>	D	V		
ARZ385	1,5	4	120 až 180	120 až 7 000	87	—	104 × 104	119	112	22	40	0,1	7
ARZ389	1,5	8	120 až 180	120 až 7 000	86	—	104 × 104	119	112	22	40	0,1	7
ARZ387	1,5	16	120 až 180	120 až 7 000	85	—	104 × 104	119	112	22	40	0,1	7
ARZ384	1,5	4	160 až 270	106 až 8 000	86	102 × 60	125 × 80	—	—	22	41,5	0,09	8
ARZ388	1,5	8	160 až 270	160 až 8 000	85	102 × 60	125 × 80	—	—	22	41,5	0,09	8
ARZ386	1,5	16	160 až 270	160 až 8 000	84	102 × 60	125 × 80	—	—	22	41,5	0,09	8
ARZ662	2	4	95 až 145	95 až 15 000	90	180 × 71	280 × 80	—	—	60	69	0,45	9
ARZ689	2	4	95 až 145	95 až 15 000	87	180 × 71	280 × 80	—	—	36	69	0,28	9

4. Výškové reproduktory

Typ	Max. příkon [VA]	Impedance [ $\Omega$ ]	Vl. rezon. [Hz]	Kmit. rozsah [kHz]	Char. citliv. [dB/VAm $^{-1}$ ]	Rozměry [mm]						Obr. č.	
						a × b	A × B	d	d <sub>1</sub>	D	V		
ARV081	2	5,5	—	1 až 16	90	68 × 24	75 × 50	—	—	38	43	0,18	16
ARV261	1,5	4	—	6 až 16	97	—	—	101	110	60	55	0,38	17
ART481	5	0,6	—	3 až 18	93	—	127 × 25	—	—	60	146	1	18



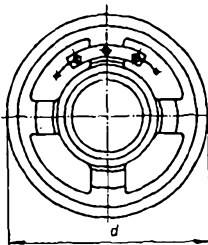
Obr. 10.

5. Hloubkové reproduktory

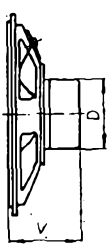
Typ	Max. příkon [VA]	Impedance [Ω]	Vl. rezon. [Hz]	Kmit. rozsah [Hz]	Char. citliv. [dB/VAm <sup>-1</sup> ]	Rozměry [mm]						Váha [kg]	Obr. č.
						a × b	A × B	d	d <sub>1</sub>	D	V		
ARZ369	3	4	< 60	50 až 3 500	85	—	—	100	—	72	60	0,66	13
ARZ668	5	8	< 28	20 až 6 000	87	—	—	203	—	72	86	0,83	14
ARZ669	5	4	< 28	20 až 6 000	87	—	—	203	—	72	86	0,83	14
ARO835	10	4	30 až 45	30 až 4 000	96	—	—	338	334	80	153	5,15	15
ARO832	15	15	24 až 36	22 až 4 000	98	—	—	390	370	136	227	10,2	15
ARO942	15	30	24 až 36	22 až 4 000	98	—	—	390	370	136	229	10,2	15

6. Reproduktory pro bateriové přijímače

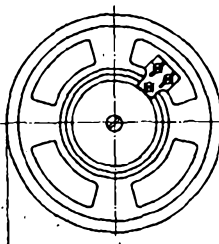
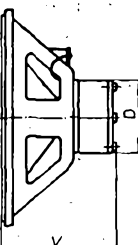
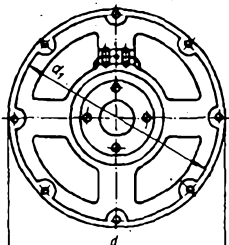
Typ	Max. příkon [VA]	Impedance [Ω]	Vl. rezon. [Hz]	Kmit. rozsah [Hz]	Char. citliv. [dB/VAm <sup>-1</sup> ]	Rozměry [mm]						Obr. č.	
						a × b	A × B	d	d <sub>1</sub>	D	V		
ARZ087	0,15	8	400 až 560	400 až 8 000	81	—	—	38	—	22,5	20	34 g	10
ARZ097	0,15	25	400 až 560	400 až 8 000	80	—	—	38	—	22,5	20	34 g	10
ARZ085	0,25	8	360 až 530	360 až 5 000	85	—	—	50	—	22,5	21	40 g	11
ARZ094	0,25	2 × 30	360 až 530	360 až 5 000	83	—	—	50	—	22,5	21,5	40 g	11
ARZ096	0,25	25	360 až 530	360 až 5 000	84	—	—	50	—	22,5	21,5	40 g	11
ARZ081	0,25	8	350 až 480	350 až 5 000	85	—	—	65	—	22,5	21,5	45 g	11
ARZ381	1	4	120 až 180	120 až 8 000	91	—	—	117	—	50	45	0,38	12
ARZ341	1	25	120 až 180	120 až 8 000	89	—	—	117	—	50	45	0,38	12



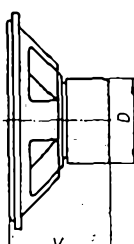
Obr. 11.



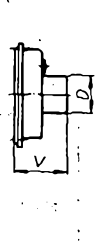
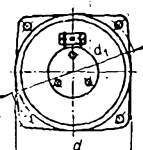
Obr. 15.



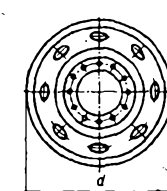
Obr. 12.



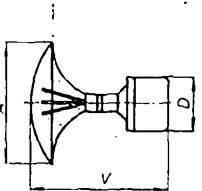
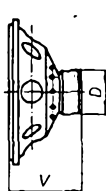
Obr. 16.



Obr. 17.



Obr. 14.

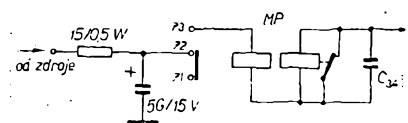


Obr. 18.

# 2 Jak na to AR'70

## Úprava magnetofonu B42 (B45)

V těchto magnetofonech se projevuje velmi nepříjemný jev: při uvolnění tlačítka „stop“ při nahrávání (tj. při stlačeném tlačítku pro záznam a nastaveném úrovni signálu) nahraje se na pásek dost silné lupnutí. Toto lupnutí nelze změnit ani stažením potenciometru hlasitosti. Je způsobeno změněním napětí na transformátoru (magnetem při přitahu protéká při zapnutí, tj. uvolnění tlačítka „stop“, prouď asi



Obr. 1.

2 až 3 A). Doba trvání tohoto přetížení je krátká, asi desetinu vteřiny, takže se tavná pojistka nepřeruší. Těchto pulsů se nelze zbavit ani stabilizátorem napětí, protože stabilizátor nevyrovnaný tak rychle změny napětí (pokles při zapnutí a zvětšení při vypnutí magnetu MP).

Nedostatkem jsem se zavila touto úpravou: před magnetem MP jsem zařadila filtr RC, skládající se z odporu 15 Ω a kapacity 5 000 μF (obr. 1). Vejde-li s se však do magnetofonu kondenzátor větší kapacity, není to na závadu – spíše naopak. Po této úpravě se lupnutí v záznamu zcela potlačí.

Adéla Urbanová

## Zámek na kód

Spolehlivý a přitom poměrně jednoduchý zámek na kód lze snadno postavit podle obr. 1. Síťové napětí se přivádí přes kontakty d<sub>1</sub> a d<sub>2</sub> na telefonní číselník, jehož kontakt G<sub>z</sub> je rozpojen. Krokový volič KV je v nulové poloze. Při volbě prvního čísla sepnut kontakt G<sub>z</sub>. Současně spiná relé A kontaktem a<sub>2</sub> zapojeným paralelně s G<sub>z</sub>, a kontaktem a<sub>1</sub> zapojuje relé D, které svými kontakty d<sub>1</sub> a d<sub>2</sub> odpojuje G<sub>z</sub> od obvodu síťového napětí (prepojuje jej do obvodu relé B). Relé B spiná a kontaktem b<sub>1</sub> přeruší přívod proudu do druhého segmentu KV, kde jsou zapojena relé E, F, G, H a I. Uvolněním voličem kotouče číselníku se KV nastaví do příslušné polohy, dané zvoleným číslem. Protože vinutím KV protéká, při volbě čísla značný proud a kontakt G<sub>z</sub> by se brzy zcela opálil, je třeba zapojit zhášecí obvod C<sub>1</sub>, R<sub>1</sub>. Kontakt G<sub>z</sub> je součástí číselníku a má tu vlastnost, že při zpětném běhu číselníku se kolikrát rozpojí, kolikrát to odpovídá zvolenému číslu. V klidové poloze je trvale spojen.

Císelnou kombinaci můžeme zvolit jakoukoli, musíme jen brát v úvahu počet poloh KV. Součet jednotlivých čísel kombinace nesmí přesáhnout počet poloh KV (přesáhne-li, je třeba zapojení poněkud upravit). Na schématu je zakreslen volič se 17 polohami, kombinace je 3 235. Je ovšem možné zvolit více čísel v kombinaci (nebo méně). Relé E, F, G, H jsou zapojena na kontakty 3, 5, 8, 13, které odpovídají článkům kombinace. Na všechny ostatní

(kromě kontaktu  $I_1$ ) je zapojeno relé  $I$ . Při volbě čísla tato relé postupně spínají a zpětné kontakty  $e_1, f_1, g_1$  a  $h_1$  zajišťují, že relé zůstanou přitažena. Při špatné

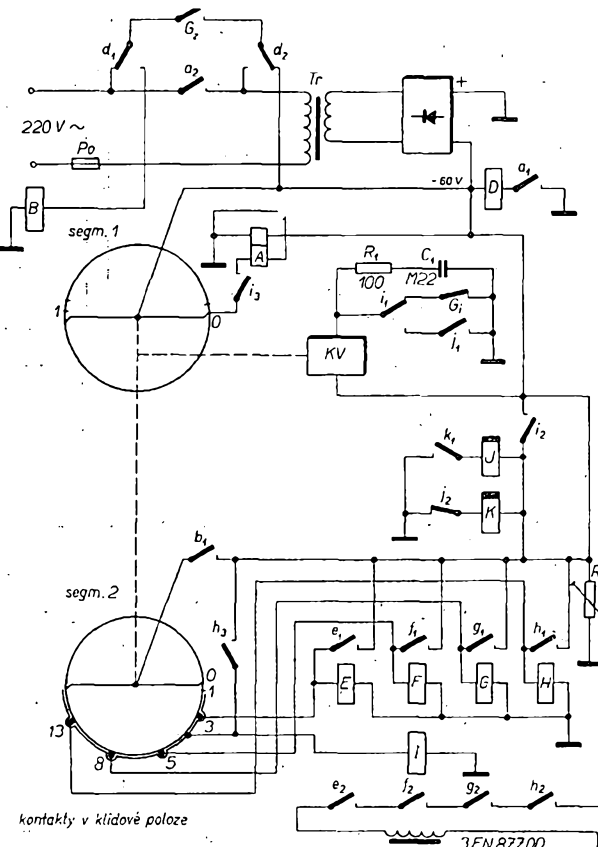
volbě nebo po volbě posledního čísla kombinace sepnutí relé  $I$ . To vyvolá počátek nulování KV. Nuluje se pomocí zpožděných relé  $J$  a  $K$  kmitočtem

asi 1 Hz. Současně s tím se kontakty  $d_1, d_2, g_2$  a  $h_2$  začnou otevřet, umožňující otevření druhého výběru. Aby byla umožněna další volba, musí do obvodu druhého výběru být zapojen kontakt  $i_3$ , který je v klidové poloze rozpojen. Až při špatné nebo skončené volbě spíná a umožňuje vypnutí celého zámku.

Jak již bylo řečeno, relé  $B$  spíná jen při volbě čísla; to znamená, že při pohybu voličického číselníku je sepnuto. Tím se dosáhne odpojení relé  $E, F, G, H, I$  od napájecího napětí. Je to nutné, protože jinak by ihned sepnulo relé  $I$  a KV by i při správné volbě začal okamžitě nulovat. Protože použitá elektrická vložka typu 3 FN 87700 pracuje při napětí 3 až 8 V, je třeba ji napájet z děliče napětí nebo navinout další vinutí. Transformátor nemusí být přesně dimenzován, protože celá volba i s nulováním trvá asi sedm vteřin. Usměrňovač může být jakýkoli, nejlepší jsou křemíkové diody KY. Je však třeba zajistit, aby zdroj dodával dostatečně tvrdé napětí, protože zejména KV má značný odběr. Celý zámek je umístěn na šasi z plechu a spojen s telefonním číselníkem a elektrickou vložkou šestipramenným kabelem, který je zakončen konektorem.

Zámek používám již déle než rok – volba je rychlá, kombinaci lze jednoduchou úpravou snadno měnit, čímž je zajištěna dostatečná bezpečnost. Při špatné volbě kombinace se zámek sám vypíná.

*Antonín Šperl*



Obr. 1.

(Kontakt  $d_1$  má být v opačné poloze. Chybí spoj mezi běžcem  $R_1$  a kontaktem  $h_1$ )

# STAVEBNICE mladého radioamatéra

A. Myslik, OK1AMY

Prvním přístrojem z modulů, který si letos postavíme, bude klasická „krystalka“. Klasická však jen názvem – s původní krystálkou již má velmi málo společného. Je to jedno z nejjednodušších radiotechnických zapojení a není samoučtené; krystalku z modulů můžete použít i jako druhý domácí přijímač.

## Přijímač s detektorem na vstupu – zapojení I

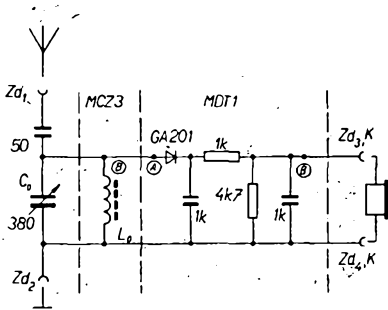
Na obr. 1 je zapojení tohoto přijímače. Nemá žádné aktívny prvkы, a proto nemá ani napájecí zdroj. Při použití dobré antény a uzemnění lze na něm poslouchat na sluchátka místní rozhlasovou stanici.

Signál z antény se přivádí přes kondenzátor 50 pF na paralelní rezonanční

obvod, který tvoří ladící kondenzátor  $C_0$  a modul MCZ3 (popis bude dále). Následuje modul MDT1, detektor. Na výstupu modulu MDT1 jsou připojená sluchátka. Propojení obou modulů a ostatních součástek je vidět na obr. 2.

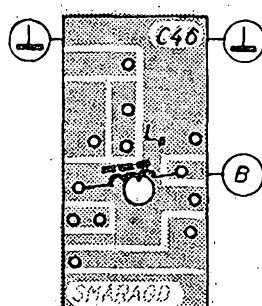
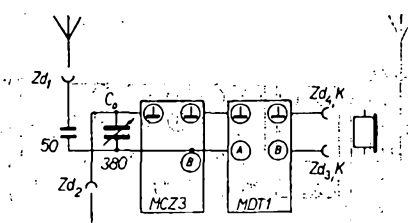
### Cívka paralelního rezonančního obvodu MCZ3

Abychom se vyhnuli navýšení cívky, použijeme dlouhovlnnou cívku z přijímače T61, která byla v době sestavování přijímače k dostání v prodejně



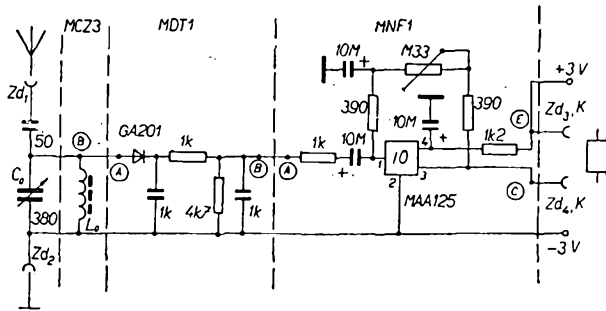
Obr. 1. Zapojení I

Obr. 2. Propojení modulů v zapojení I.

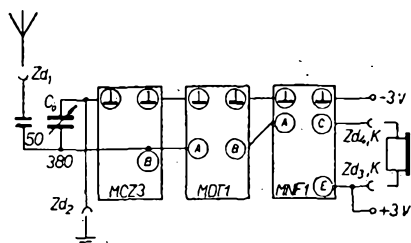


Obr. 3. Zapojení cívky modulu MCZ3 na destičce s plošnými spoji Smaragd C46

Obr. 4. Zapojení II



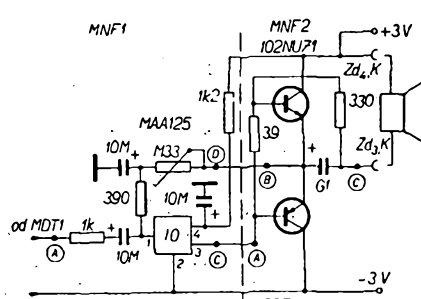
integrovaného zesilovače. Do výstupního obvodu zesilovače jsou galvanicky připojená sluchátka. Prakticky znamená toto úprava připojení modulu MNF1 za modul MDT1 (obr. 5). Je třeba si uvědomit, že touto úpravou se zvětšuje nízkofrekvenční zesílení, tedy hlavně hlasitost přijímaného signálu. Citlivost přijímače se nezlepší, protože pokud na laděném obvodu  $C_0, L_0$  není signál, nic nepomůže sebevětší zesílení v nízkofrekvenční části. Protože k zesílení signálu používáme aktivní prvek, musíme přidat také napájecí zdroj. Aby nezabral mnoho místa, zvolíme dve tužkové baterie, tedy napájecí napětí 3 V. Přijímač potřebuje k uspořádání funkci opět dobrou anténu a uzemnění.



Obr. 5. Propojení modulů v zapojení II

#### Přijímač s detektorem na vstupu – zapojení III

Tomuto zapojení se již sotva dá říkat krystalka. Vzniklo opět doplněním předcházejícího zapojení o koncový nízkofrekvenční zesilovač. Přijímač potom hraje na reproduktoru. Koncový stupeň je realizován modulem MNF2, který při napájecím napětí 3 V odevzdá nás výkon asi 40 mW. Je to dostatečný výkon pro přiměřenou hlasitost poslechu v menší místnosti. Zapojení celého nízkofrekvenčního zesilovače, který následuje za modulem MDT1, je na obr. 6. Propojení všech modulů a ostatních součástek včetně připojení na zdírky je na obr. 7. Lze použít jakýkoli menší reproduktor s impedancí 4 až 25  $\Omega$ .



Obr. 6. Zesilovační část zapojení III

#### Mechanická konstrukce

Pro kterékoli zapojení můžeme použít popsanou jednotnou konstrukci. Základem je bakelitová skříňka B1. Jsou do ní vyvráceny otvory podle obr. 8. Do této otvoru přijde: na horní stěnu ladící kondenzátor 380 pF (polyetylénový), na boční stěnu blíže k zádiřce zdírky pro anténu a uzemnění ( $Zd_1$  a  $Zd_2$ ), na druhou boční stěnu výstupní zdírky  $Zd_3$  a  $Zd_4$ , a konektor K.

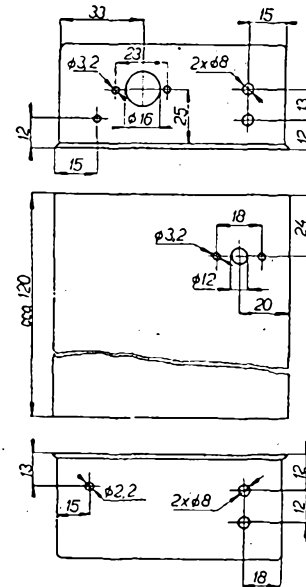
Jednotlivé moduly jsou připájeny na výklopném rámečku. Rámeček je z počínovaného nebo pozinkovaného plechu (obr. 9). V kratších bočnicích má vyvráceny otvory o  $\varnothing$  2,2 mm. Dvěma protilehlými otvory jsou prostrčeny šrouby M2, jimiž je rámeček přichycen ke skřínce tak, aby bylo možné jej vykládat (obr. 10). Po sklopení dovnitř skřínky je rámeček zajistěn v jednom ze zbyvajících rohů dalším šroubkem M2 proti samovolnému vykládání (obr. 11).

Jak již bylo řečeno, jednotlivé moduly se do rámečku přichycují pájením. Pro zapojení I připájíme moduly MCZ3 a MDT1 a připojíme je ke vstupním zdírkám  $Zd_1$ ,  $Zd_2$  a k ladícímu kondenzátoru. Toto propojení zůstane stejné pro všechna tři zapojení. Ke zdírkám  $Zd_3$  a  $Zd_4$  připojujeme výstup pro sluchátka (v zapojeních I a II), popř. pro reproduktoru (zapojení III). Výstupní zdírky propojíme i na konektor pro případ, že budeme chtít nahrávat na magnetofon. Zvolíme ty količky na konektoru, které odpovídají obsazeným količkám u konektoru propojovací šňůry.

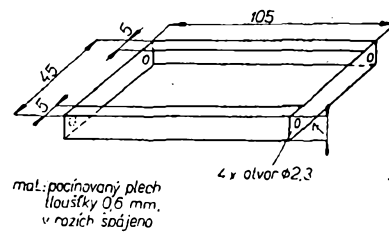
Dvě tužkové baterie jsou upevněny v držáku, který byl svého času k dostání v prodejnách radiosoučástek. Pokud jej již nesezenete, otvírá se zde pole pro vlastní tvorivost (vzhledem k malému odběru lze nechat baterie trvale připojené a propojit je připájením drátů k jejich vývodům).

#### Uvádění do chodu a zkoušení

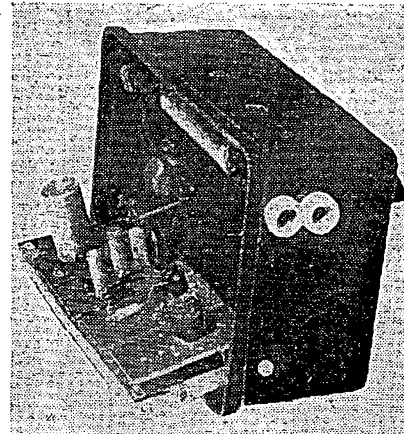
S tak jednoduchým přístrojem jako jsou popisované přijímače nebude mít ani úplný začátečník žádné potíže. Při použití fungujících modulů musí přijímač po připojení baterii (zapojení I a bez nich) ihned při protáčení ladícího kondenzátoru hrát jednu nebo i dvě nejbližší stanice. Pokud chcete dosáhnout



Obr. 8. Rozmístění otvorů na bakelitové skříni B1



Obr. 9. Rámeček na upevnění modulů



Obr. 10. Uchycení rámečku s moduly ve skříni B1



Obr. 7. Propojení modulů v zapojení III

nout maximálního zesílení, lze ještě trimrem  $0,33 \text{ M}\Omega$  na modulu MNF1 opravit pracovní bod integrovaného obvodu (nastavujeme na maximální hlasitost ve sluchátkách nebo reproduktoru).

Kromě základního použití, tj. poslechu rozhlasových pořadů, je přijímač velmi vhodný pro natáčení pořadů na magnetofon. Vzhledem k jeho malé citlivosti se totiž neuplatní žádné rušení a signál je čistý a bez poruch. Využije se také celého přenášeného kmitočtového pásma, takže nahrávka je kvalitní. K tomuto účelu je výhodné použít zapojení I, protože magnetofon obsahuje vlastní zesilovač. Nahráváme do stejně konektoru jako při nahrávání z diodového výstupu běžného přijímače.

#### Seznam dílů a součástek

Modul MCZ3	1 ks
Modul MDT1	1 ks
Modul MNF1	1 ks
Modul MNF2	1 ks
Ladící kondenzátor 380 pF	1 ks
Zádky izolované	4 ks
Konektorová zásuvka	1 ks
Držák tužkových baterií	1 ks
Tužkové baterie	2 ks
Nosný rámeček	1 ks
Pro modul MCZ3:	
Dlouhovlnná cívka z T61	1 ks
Destička s plošnými spoji Smaragd C46	1 ks

#### Možnost získání hotových modulů

Jak jste se dočetli již v minulém čísle, bude radioklub Smaragd vyrábět některé moduly osazené a vyzkoušené. Uveřejňujeme slibeny seznam a přibližné ceny (přesné ceny budou stanoveny podle počtu objednávek). Kterýkoliv z uvedených modulů si můžete objednat v radioklubu Smaragd, poštovní schránka 10, Praha 10. Dodržuje tuto adresu a nezaměňujte ji s adresou pro objednávání destiček s plošnými spoji (PLOSNÉ SPOJE, poštovní schránka 116, Praha 10). Na objednávku (nejlépe korespondenční lístek) napište „hotový modul MXX 00“ s uvedením příslušného označení modulu. Dostanete jej do 14 dnů na dobírkou.

#### Seznam modulů, které vyrábí radioklub Smaragd:

Modul	Přibližná cena
MNF1, nf zesilovač s IO	99,- Kčs
MNF2, koncový nf zesilovač 125 mW	75,- Kčs
MNF3, impedanční převodník s FET	95,- Kčs
MDT1, diodový detektor	25,- Kčs
MZD1, stabilizační obvod	40,- Kčs
MSM1, směšovací stupeň	60,- Kčs
MVF1, vf zesilovač	60,- Kčs
MSM2, univerzální nf zesilovač	75,- Kčs
MNF6, univerzální nf zesilovač	60,- Kčs
MVF2, vf oddělovací stupeň	60,- Kčs

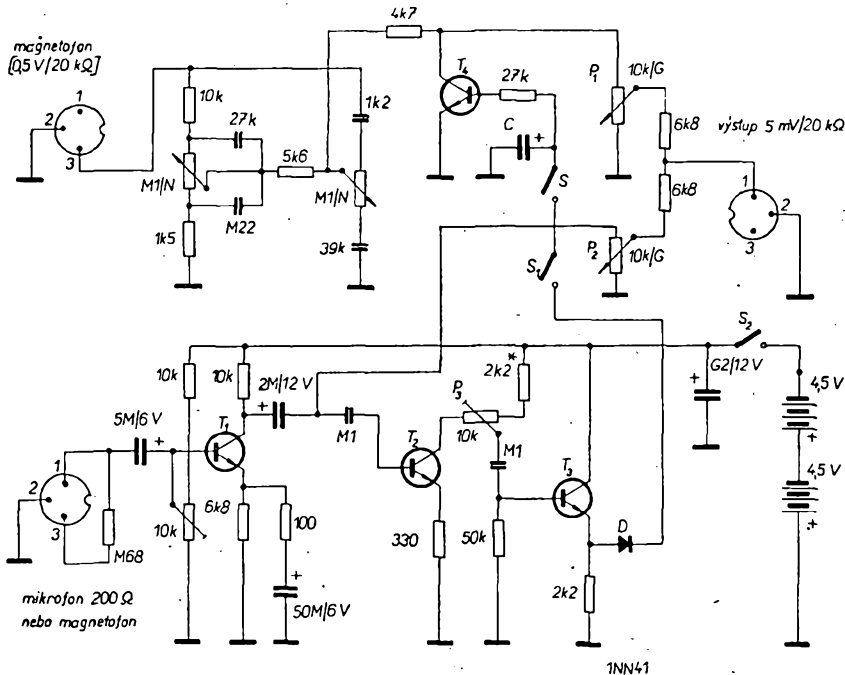
#### Bořek Wojnar

Zapojení bylo zkonstruováno pro úzký obor práce se zvukem. Slouží k automatickému potlačení úrovně doprovodné hudby při vstupu hlasatele. Je to tedy automat a nemá „zvukařský sluch“. Proto se dá použít jen pro pořady, které se blíží typem k pořadům, vysílaným stanici Radio Luxemburg. Tam také toto zařízení používají.

Protože krátkodobé vstupy hlasatele (speakera) kladou velké nároky na pozornost zvukaře a jeho úkol je vlastně velmi jednoduchý – „stáhnout“ na krátkou dobu hlasitost hudby a po odhlášení opět hudbu „vyjet“ – lze tento úkon snadno zautomatizovat.

Popisované zařízení funguje asi pět měsíců v jednom vojenském divadle hudby, kde se osvědčilo při tvorbě po-

řadu typu „show“. Dá se ovšem předpokládat i jiné použití „Showmixeru“. Například pro montáž „volného synchronu“ při ozvučování amatérských filmů, pro výrobu reklamních relací místního rozhlasu atd., to je vždy, má-li hudba doprovodný význam, nebo má-li mluvené slovo charakter krátkého hlasení. (Např. na začátku skladby nebo v mezihr.)



(Mezi kolektorem a bází  $T_1$  má být zapojen odpór  $680 \text{ k}\Omega$ . Baterie má být přepínávána)

#### Popis a funkce

Ze schématu (obr. 1) jsou patrný dvě cesty signálu. Na vstupu první cesta je připojen magnetofon ( $0,5 \text{ V}/20 \text{ k}\Omega$ ). Signál z magnetofonu je veden přes můstkový korektor a regulační tranzistor – hradlo – na potenciometr regulace hlasitosti magnetofonu. Signál z dynamického mikrofonu ( $0,5 \text{ mV}/200 \text{ }\Omega$ ) se zesiluje v jednotranzistorovém předzesilovači (tranzistor  $T_1$ ) a přivádí na potenciometr, kterým se reguluje hlasitost mikrofonu. Z běžců obou potenciometrů je přes sběrnicové odpory odebírány výsledný signál na výstup (asi  $5 \text{ mV}/10 \text{ k}\Omega$ ).

Kladné napětí pro ovládání tranzistoru  $T_1$  se získává zesílením napětí z mikrofonu. Napětí se odebírá z kolktoru tranzistoru  $T_1$ , znova zesiluje tranzistorem  $T_2$  a přivádí na emitorový sledovač  $T_3$ . Kladné pulsní napětí z emitoru  $T_3$  je vedené oddělovací diodou 1NN41 na kondenzátor  $C$ , který s odporem  $27 \text{ k}\Omega$  a odporem báze-emitor tranzistoru  $T_1$  vytvoří požadovanou konstantu  $RC$ . Oddělovací dioda slouží k zamezení zpětného vybijení kondenzátoru  $C$  přes emitorový odpór tranzistoru  $T_3$ . Jediné kombinaci emitorového sledovače s oddělovací diodou lze totiž dosáhnout rychlého potlačení a pozvolného zvyšování úrovně doprovodné hudby.

Trimr  $P_3$  slouží k nastavení hranice potlačení. Potenciometry  $P_2$  a  $P_1$  slouží k nastavení úrovně signálu z mikrofonu a magnetofonu.  $P_2$  je potenciometr s otočným spínačem: při vytočení  $P_2$  na nulu rozepte spínač obvod stejnosměrného napětí pro regulační tranzistor. Jinak by při jakémkoli hlkupu snímaném mikrofonem docházelo k zeslabování doprovodu. Je proto samozřejmé, že při práci s „Showmixerem“ musí být v hlasatelné naprostý klid.

V sérii se spínačem potenciometru  $S$  je zařazen další spínač  $S_1$ . Při jeho vypnutí se ze samočinného zařízení stává obecný směšovač signálů se dvěma vstupy. Kapacita kondenzátoru  $C$  se volí podle rychlosti hovoru hlasatele. Rychlosť vybijení  $C$  je totiž nutno volit tak, aby v mezerách mezi slovy hlášení nedocházelo ke kolísání úrovně doprovodu a naopak, aby po odhlášení nevznikla v hudbě „dýra“.

#### Stavba

Přístroj je velmi jednoduchý a bude pravděpodobně fungovat na první zapojení; nastavujeme jej s celou reprodukční soustavou: reprodukční magnetofon – mikrofon – Showmixer – základový magnetofon.

Nastavujeme pracovní bod tranzistorů  $T_1$  a  $T_2$  ( $T_2$  výměnou odporu označeného hvězdičkou) a pak nastavíme hranici, při níž začíná pracovat hradlo. Na stanovení kapacity kondenzátoru  $C$  bude patrně zapotřebí více zkoušek. Také hlasatel si musí na práci se Showmixerem zvykat.

Tranzistor  $T_1$  je typu 106NU70 s minimálním šumem, tranzistory  $T_2$  a  $T_3$  jsou typu 103NU70 bez speciálních požadavků a tranzistor  $T_4$  je 107NU70 s co největším zesilovacím činitelem.

Prototyp je postaven na drátových „plošných spojích“ o rozměrech  $70 \times 140 \text{ mm}$ .

# Čtyřkanálová proporcionální souprava RC

Milan Veit

Souprava má čtyři plynule a současně ovladatelné prvky, pulsní kódování, časové dělení kanálů bez vnější synchronizace.

Přijímač: superregenerační nebo superhet, bezkontaktní spinání vybavovačů. Rozměry 80 × 40 × 40 mm (bez zdrojů). Napájení 6 V, odběr 25 mA; 2 × 2,4 V, odběr podle použitých vybavovačů.

Vysílač: modulace AM, 100 %, obdélníková. Vf výkon (do antény) 200 mW. Napájení 13,5 V (3 ploché baterie), odběr asi 100 mA (podle použité antény). Rozměry 170 × 140 × 64 mm.

Osazení: přijímač -

1 ks OC170,  
23 ks GC507 až 8,  
4 ks GC500,  
24 ks 103 až 107NU70,  
4 ks 102NU71;

vysílač - 1 ks KF506,  
1 ks KF507,  
4 ks 103 až 107NU70,  
4 ks GC507 až 8,  
1 ks GC500...

## Popis funkce

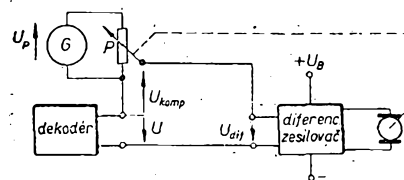
Při ovládání modelu proporcionální soupravou RC můžeme nastavit libovolnou výchylku ovládaného prvku a servomechanismus v této výchylce setrvává až do dalšího povelení ze země. Hlavní rozdíly mezi neproporcionálním a proporcionálním ovládáním jsou tedy v tom, že můžeme nastavit libovolnou výchylku a že servomechanismus nemá vyjádřenu neutrální polohu, do níž by se vracel.

Jak se však získá plynulá výchylka na přijímací straně? Na výstupu přijímače získáme proměnné napětí (tolik, kolik je ovládaných kanálů) a tato proměnná napětí převedeme na odpovídající výchylky tzv. automatickou kompenzaci. K vysvětlení poslouží obr. 1: napětí označené na obrázku  $U$  je proměnné napětí z výstupu přijímače. Napětí  $U_{komp}$  je napětí získané z potenciometru, jehož běžec je mechanicky spojen s vybavovačem. Diferenciální zesilovač pracuje tak, že při nulovém napětí  $U_{dif}$  je i na výstupu nulové napětí. Při jiném než nulovém napětí  $U_{dif}$  je na výstupu plné napětí  $U_B$  stejně polarity jako  $U_{komp}$ . Změna polarity vstupního napětí mění smysl otáčení motorku vybavovače a s ním spojeného potenciometru  $P$ , čímž se mění napětí  $U_{komp}$ . Toto využijeme při kompenzaci. Vysílačem vyslaný signál změní napětí  $U$  na výstupu přijímače a rozdíl napětí  $U - U_{komp}$  bude různý podle velikosti změny. Na výstupu diferenciálního zesilovače na nulu a servomechanismus se přestane otáčet. Tohoto stavu se dosáhne tehdy, je-li  $U = U_{komp}$ . Takto převedeme napětí  $U$  na odpovídající výchylku.

Obr. 1. Princip proporcionálního ovládání

výstupu diferenciálního zesilovače na nulu a servomechanismus se přestane otáčet. Tohoto stavu se dosáhne tehdy, je-li  $U = U_{komp}$ . Taktto převedeme napětí  $U$  na odpovídající výchylku.

Z předcházejícího výkladu je zřejmé, že musíme získat proměnné napětí pro každý kanál; pro naši soupravu je tedy třeba na vysílací straně zakódovat a na vysílací straně opět dekódovat čtyři informace – čtyři obecné různá a nezávislá napětí, která se popsaným způsobem (vybavovačem) převedou na výchylku. Čtyři informace lze zakódovat na dvojici periodických pulsů, u nichž lze považovat za nezávislé právě čtyři parametry. Jsou to opakovací kmitočet, šířka prvního impulsu, šířka druhého impulsu a šířka mezery. Tyto čtyři parametry jsou nezávislé a jednoznačně určují danou dvojici periodických impulsů. Budou-li tedy tyto čtyři parametry proměnné, lze na jejich změnu zakódovat čtyři informace – čtyři kanály. Je-li nějaká informace zakódována na změnu opakovacího kmitočtu impulsu nebo impulsu, hovoříme o tzv. hustotní modulaci; je-li informace zakódována na šířku (vlastně na její změnu) impulsu nebo mezery mezi dvěma impulsy, hovoříme o šířkové modulaci (nebo kódování).



Obr. 1. Princip proporcionálního ovládání

## Hustotní modulace

Základní schéma hustotního dekódéru je na obr. 2. Tranzistor  $T$  je spinán



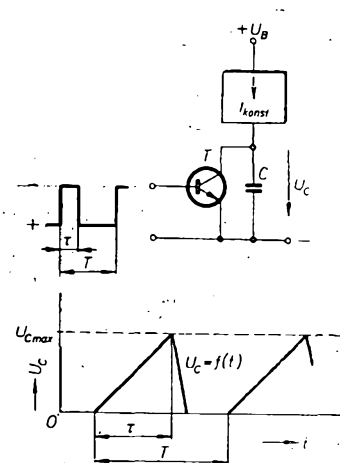
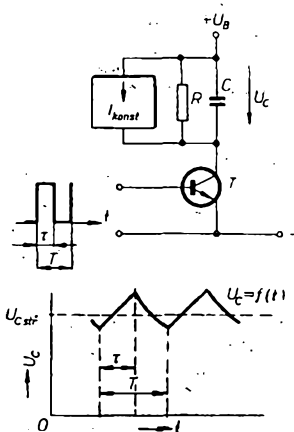
impulzy konstantní výšky a šířky, ale proměnného opakovacího kmitočtu. Po dobu trvání impulsu teče ze zdroje přes tranzistor určitý proud, jímž se nabíjí kondenzátor  $C$ . Za dobu trvání impulsu se shromáždí v kondenzátoru určitý náboj. Protože impuls na vstupu je definován přesně, závisí velikost náboje kondenzátoru jen na opakovacím kmitočtu impulsů. Kondenzátor by se za běžných podmínek nabil na napětí zdroje po krátké době (napětí zdroje a kondenzátoru by bylo stejně, takže by přestal protékat proud). Uvažujme nyní, že se kondenzátor nabije i vybijí (konstantním proudem a odporem). Považujeme-li tranzistor za ideální spínač, nezávisí proud a tedy ani náboj kondenzátoru na napětí  $U_C$ ; je tedy na  $U_C$  nezávislá i střední velikost náboje

$$\left( Q_{\text{stř}} = \frac{1}{T} \int_0^T Q(t) dt \right)$$

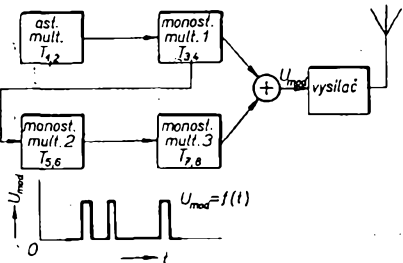
náboj, který se z kondenzátoru odvádí (vlastně jeho střední velikost), závisí však na napětí  $U_C$ , protože proud odporem  $R$  závisí na napětí. Na kondenzátoru  $C$  se ustálí náboj určité velikosti při takovém napětí  $U_C$ , při němž je střední velikost priváděného náboje rovna střední hodnotě náboje odváděného. Velikost těchto nábojů nezávisí na kapacitě kondenzátoru  $C$ , proto na změnách jeho kapacitě nezávisí ani  $U_{C\text{stř}}$ . Změnou odporu  $R$  „roztahuje“ závislost  $U_{C\text{stř}} = f(F)$ , kde  $F$  je opakovací kmitočet vstupních impulsů.

## Šířková modulace

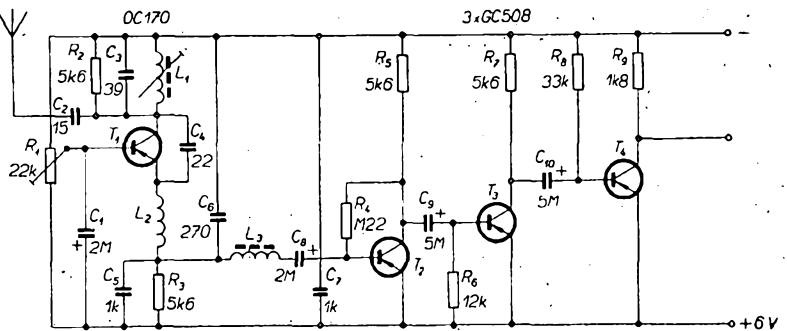
Princip šířkového dekódéru je na obr. 3. Po dobu trvání impulsu je tranzistor uzavřen (nevede) a kondenzátor se nabije z obvodu dodávajícího konstantní proud. Napětí na kondenzátoru se tedy zvětšuje lineárně v závislosti na čase. Změnou šířky impulsu dostáváme různou maximální velikost tohoto pilovitého průběhu, která je závislá jen na šířce impulsu  $\tau$  (obr. 3). Pomine-li impuls, nabije se kondenzátor na  $U_{CE\text{sat}}$ . Přijde-li na vstup další impuls, děj se opakuje a napětí pilovitého průběhu dosáhne opět určité maximální velikosti, která je úměrná šířce impulsu.



Obr. 3. Princip šířkového dekódéru a průběh napětí  $U_C$



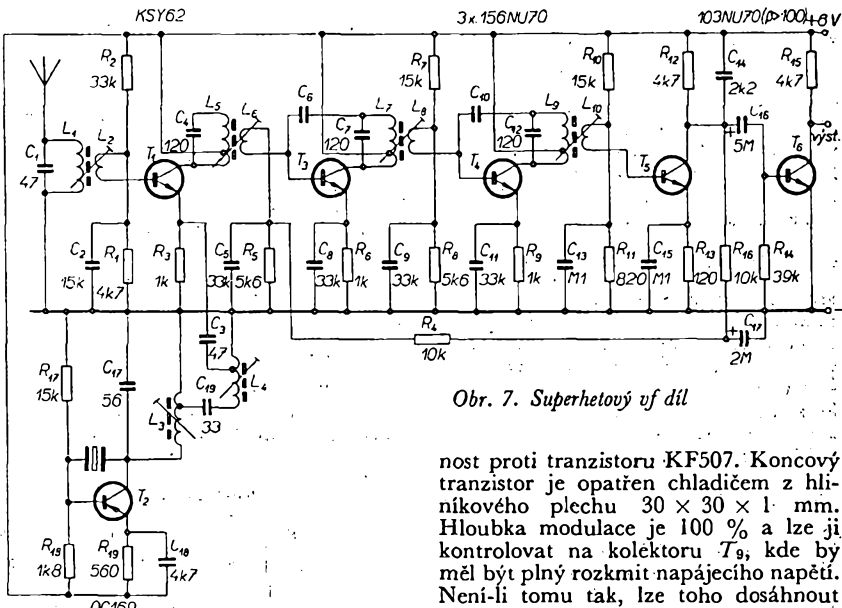
Obr. 4. Blokové schéma vysílače a průběh modulačního napětí



Obr. 6. Superregenerační výfuk

## **Popis vysílače**

Blokové schéma vysílače a průběhy modulačního napětí jsou na obr. 4, schéma je na obr. 5. Opakovací kmitočet (hustotní kódování) řídíme astabilním multivibrátorem, který spouští monostabilní multivibrator 1; ten vytváří první impuls. Zadní hrana tohoto impulsu spouští monostabilní multivibrator 2, který vytváří mezeru. Opět zadní hrana této mezery spouští monostabilní multivibrator 3, který vytváří druhý impuls. První a druhý impuls se přivádějí na obvod logického součtu a dále modulují vysílač. Vši díl je obvyklé konstrukce s oscilátorem řízeným krystalem. Modulace je rovněž obvyklá (závěrným tranzistorem). Cívka oscilátoru  $L_1$  je vinuta na kostřičce z televizních mezifrekvenčních transformátorů a má  $\varnothing 5$  mm. Odparem  $R_3$  nastavíme odběr proudu tak, aby účinnost byla maximální a proud oscilátoru nebyl příliš velký (aby se příliš nezahříval  $T_{10}$ ). Použití tranzistoru KF506 na koncovém stupni značně zlepšilo účin-



Obr. 7. Superhetový vf díl

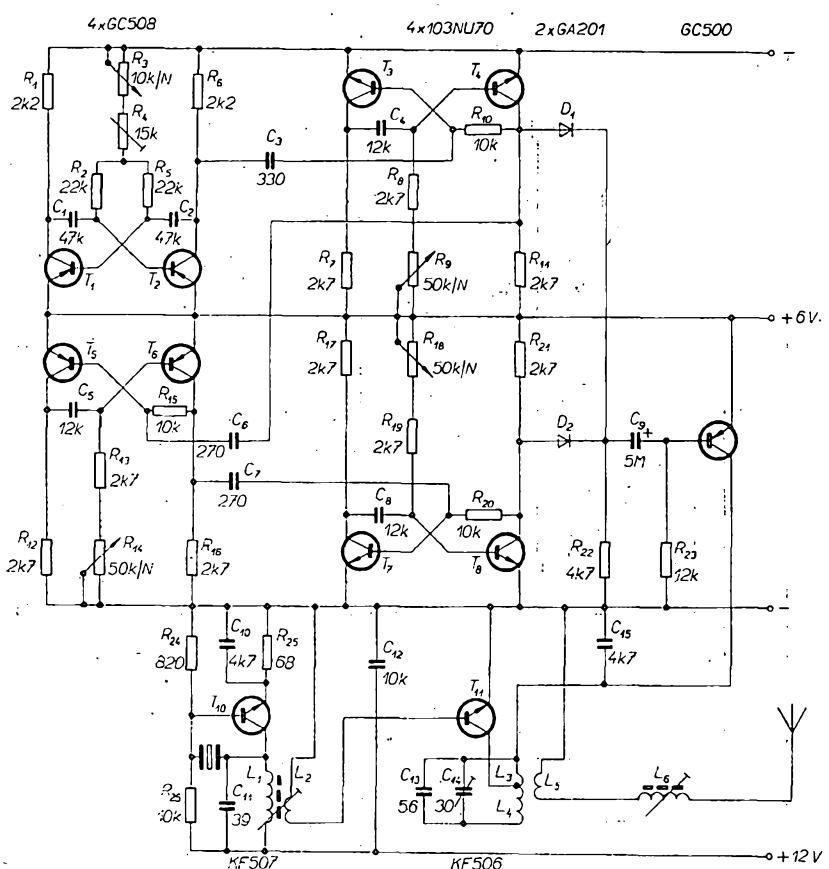
nost proti tranzistoru KF507. Koncový tranzistor je opatřen chladičem z hliníkového plechu  $30 \times 30 \times 1$  mm. Hloubka modulace je 100 % a lze ji kontrolovat na kolektoru  $T_9$ , kde by měl být plný rozkmit napájecího napětí. Není-li tomu tak, lze toho dosáhnout změnou odporů  $R_{22}$ ,  $R_{23}$ .

Vf dil dolaďujeme bez antény dolaďovacím trimrem  $C_{14}$  tak, aby odběr byl minimální (kolem 20 mA bez modulátoru). Anténu použijeme s prodlužovací cívkou. Pro dolaďování si upravíme vf měřič síly pole z Avometu (rozsah 20  $\mu$ A), rezonanční obvod a dioda). S vysílačem se vzdálíme asi 3 m a dolaďujeme na maximální výchylku. Dolaďování podle svitu žárovky je velmi nepřesné a navíc ještě rozlaďuje obvod. Napájecí napětí pro modulátor je stabilizováno Zenerovou diodou 2NZ70.

## **Popis příjímače**

Superregenerační výf díl

Tento díl je obvyklé konstrukce, jenž zosilovač je řešen méně běžným způsobem. Výsledkem této koncepce je dokonalé odfiltrování šumu a dokonalé omezení průběhu, což je nutné pro spolehlivou funkci logické části. Nejlépe je nastavit individuálně změnami indukčnosti cívky  $L_3$  a velikostí odporu  $R_6$ ,  $R_9$  dokonalé omezení a odfiltrování šumu (kontrolovat osciloskopem na odporu  $R_9$ ). Zkusime také zapojit kondenzátory  $C_6$ ,  $C_7$ , které připřajíme ze strany fólie co nejbliže k  $C_5$  a  $R_3$ . Někdy tyto kondenzátory výrazně zlepší citlivost. Zkusime rovněž použít odpor  $R_2$ , který je opět připřájen ze strany fólie. Veškeré nastavování a doladování přijímače děláme s připojenou záťazej (tj. s kondenzátory  $C_1$ ,  $C_3$  logických obvodů) protože při



### Obr. 5. Schéma zapojení vysílače

jejím připojení se někdy může stát, že u superregeneračního detektoru vysadí rázování.

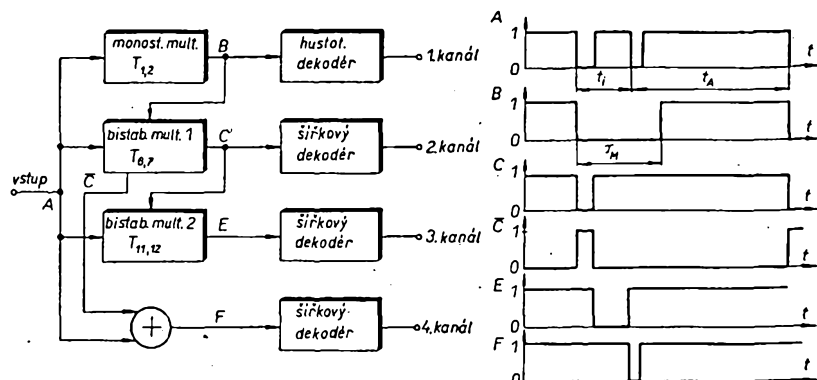
#### Superhetový výstupní díl

Pro náročné požadavky (provoz několika souprav současně) použijeme superhet (obr. 7). Při jeho navrhování však musíme vzít v uvažtu několik zvláštností. Krystal oscilátoru přijímače budeme asi nutně použít takový, jaký právě se ženeme, a jeho kmitočet podle potřeby vynásobit. Průběh signálu je obdobníkový, jde tedy o signál neharmonický. Harmonická analýza ukáže široké spektrum vyšších harmonických. Tímto širokým spektrem modulujeme amplitudovou nosnou. Modulovaný signál obsahuje tedy velké množství složek od vyšších harmonických (součtové a rozdílové) složek o kmitočtech  $\omega_0 \pm k\Omega$ , kde  $\omega_0$  je kmitočet nosné,  $\Omega$  je opakovací kmitočet impulsů a  $k$  je pořadí harmonické. Je vidět, že spektrum modulovaného signálu je velmi bohaté. Toto široké spektrum musí bez podstatného omezení přenést mříž zesilovač. Vyjdeme-li ze vztahu pro šířku pásma jednoduchého oscilačního obvodu  $\frac{1}{Q} = \frac{24f}{f_0}$ , vidíme, že větší šířky pásma lze dosáhnout zmenšením  $Q$  (je to nevhodné, protože se zmenšuje selektivita, křivka propustnosti je plochá), nebo zvýšením kmitočtu  $f_0$ . Volíme tedy mezinfrekvenci kmitočet  $f_0$  dostatečně vysoký (podle zkoušek vyhovuje nad 1,5 MHz) a podle mříž kmitočtu volíme kmitočet krystalu. Svého času byl v prodeji v prodejně Tesla v Brně krystal 12,7 MHz, jehož kmitočet pozdvojení dává se vstupním signálem 27,120 MHz mříž kmitočet 1,72 MHz. K násobení jsem použil velmi jednoduché zapojení. Na výstup oscilátoru, který kmitá na první harmonické, je vázán sériový oscilační obvod, který je nastaven na druhou harmonickou. Tento obvod je tedy buzen a kmitá synchronně na kmitočtu druhé harmonické. Zapojení má malou účinnost, to však v místním oscilátoru superhetu nevadí. Kdo by chtěl zapojení ještě zjednodušit, nemusí kmitočet oscilátoru zdvojovat a může směšovat přímo kmitočet 12,7 MHz (při směšování vzniká kombinaci kmitočet  $f_{m1} = 27,12$  MHz až 2 · 12,7 MHz). Toto zapojení však má menší směšovací zisk.

Zapojení směšovače je běžné. Je osazen křemíkovým tranzistorem KSY62, který vykazoval při zkouškách největší zisk. Mříž zesilovač je s transformátorovou vazbou, detektor je tranzistorový ( $T_5$ ), což dodává napětí pro velmi účinné AVC (vzdálenost přijímače-vysílače se velmi mění, čímž značně kolísá síla pole a při málo účinném AVC by se přijímač zahlcoval). Mříž zesilovač pracuje současně jako omezovač.

#### Nastavení a nastavení přijímače

Celý přijímač zapojíme a sacím měříčkem předladíme všechny oscilační obvody do pásma (velmi vhodné je to u obvodu  $L_3, C_1$ ). Mříž zesilovač dodláme signálním generátorem. Jako indikátor lze použít osciloskop, který dobře zobrazí průběh 1,72 MHz. Někdy bude třeba změnit i obvodové kapacity  $C_4, C_7, C_{12}$ . Osciloskop je připojen na cívku  $L_{10}$ . Tak naladíme mříž zesilovač. Další doladování děláme již s vysílačem.



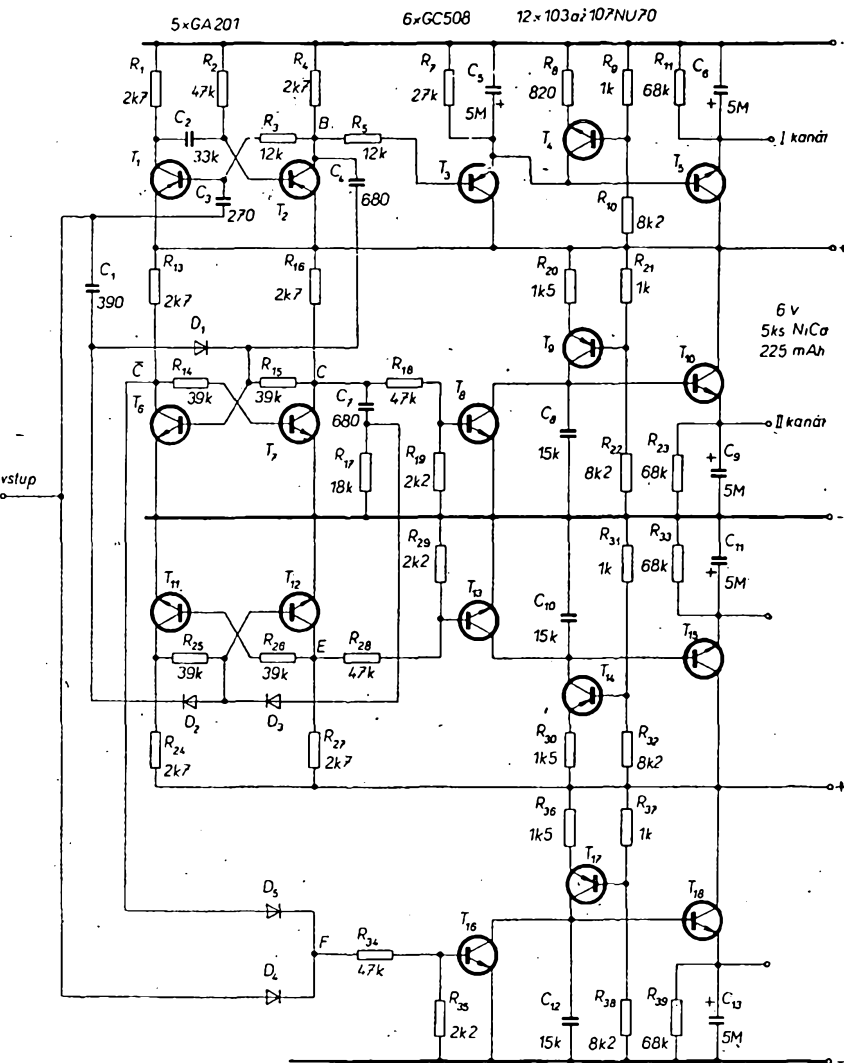
Obr. 8. Blokové schéma logické části a průběhy napětí

Vysílač zapneme bez modulace a doloďme obvody  $L_1, L_3, L_4$  na maximum (osiloskop je připojen na  $L_{10}$ ). Osciloskop přepojíme na odpor  $R_{15}$ , ve vysílači zapneme modulaci a změnou odporu  $R_{11}$  a  $R_{14}$  nastavíme maximální citlivost a dobré omezení průběhu. Kondenzátor  $C_{14}$  nastavíme tak, aby byla dobře odfiltrována výstupní složka, aby však nebyly znatelně prodlouženy náběžné hrany impulsů. Přístroj definitivně doladíme až v modelu.

#### Logická část a dekodéry

Přijímač a vysílač pracují bez vnější synchronizace. Blokové schéma je na obr. 8, zapojení na obr. 9. Na vstup

(bod A) přichází dvojice impulsů. Je třeba je oddělit a převést je i mezeru mezi nimi na oddělené impulsy. Musíme určit jejich „pořadí“. Využijeme k tomu „blokovací vlastnosti“ monostabilního multivibrátoru. Je-li monostabilní multivibrátor v aktivním stavu (sepnutém), nereaguje na další spouštěcí impulsy. Musíme tedy dosáhnout toho, aby byl spouštěn jen prvním impulsem, čímž dostaneme v době příchodu prvního impulsu do bodu A impuls i v bodu B. Musíme zkoumat, kdy bude monostabilní multivibrátor spínán jen prvním impulsem. Předpokladem je, že doba  $t_1$  musí být kratší než  $\tau_M$ , aby všechny spouštěcí impulsy přešly v době sepnutí.



Obr. 9. Zapojení logických obvodů a dekodérů

tí monostabilního multivibrátoru ( $\tau_M$ ), protože jen tak na ně nebude reagovat. Šepne-li vlivem nějaké poruchy přední hranou druhého impulsu, musí se toto „přeskocení“ samo opravit. Monostabilní multivibrátor musí být tedy v době příchodu dalšího impulsu ve vypnutém stavu, aby na něj mohl reagovat. To bude splněno tehdy, bude-li doba  $t_s$  delší než  $\tau_M$ .

#### Oddělování impulsů

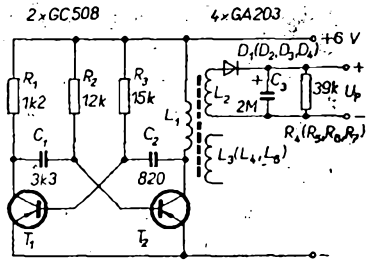
Hovoříme-li o stavu „sepnuto“, je na výstupu napětí úrovně log 1, při „vypnuto“ je na výstupu log 0 (obr. 9). Bistabilní multivibrátor 1 se spíná přední hranou impulsu z monostabilního multivibrátoru (tedy současně s přední hranou prvního impulsu) a zapíná se zadními hranami vstupních impulsů. Objeví se tedy na jeho výstupu oddělený první impuls. Bistabilní multivibrátor 2 se vypíná zadní hranou odděleného prvního impulsu z bodu C. Zapíná se předními hranami vstupních impulsů (z bodu A). Na jeho výstupu v bodu E se tedy objeví oddělený impuls o šířce mezery. Je třeba si uvědomit, že bistabilní multivibrátor se přepíná jen přichodem prvního impulsu patřičné polarity na jeho vstup, a také to, že je-li bistabilní multivibrátor např. ve vypnutém stavu, nereaguje na další impulsy vypinací polarity! K oddělení druhého impulsu využijeme vlastnosti logického součtu: na jeho výstupu je log 0 tehdy a jen tehdy, je-li log 0 na jeho obou vstupech. Zapojíme tedy jeden vstup obvodu logického součtu na vstup do bodu A, druhý na invertovaný výstup bistabilního multivibrátoru 1 do bodu C. Na obou vstupech je současně log 0 jedině po dobu trvání druhého impulsu. Dostaneme tedy na jeho výstupu v bodu F impuls o šířce rovné šířce druhého

impulsu. Hustotní dekodér je připojen na výstup monostabilního multivibrátoru, čímž je splněna podmínka konstantní šířky a výšky vstupních impulsů. Šířkové dekodéry jsou připojeny na výstupy bistabilního multivibrátoru a obvodu logického součtu. Dekódují oddělené impulsy o hodnotě log 0 a proměnné šířce. Po dekódování získáme pulsující napětí, které usměrníme „emitorovým“ usměrňovačem a filtrejeme členem  $RC$  68 k $\Omega$ , 5  $\mu$ F. Tranzistory pro osazení dekodérů vybereme s malým  $I_{CE0}$ , aby bylo získání malou teplotní závislost. Snažíme se vybrat tranzistory n-p-n a p-n-p ( $T_3, T_4, \dots$ ) tak, aby se právě vykompenzovala jejich teplotní závislost. Odpor  $R_2, R_5, R_7$  volíme tak, aby byla zajištěna synchronizace a aby bylo nastaveno vhodný rozsah hustotního dekodéru. Pro změnu teplotní závislosti je  $T_8$  zapojen inverzně. Vybereme tedy tranzistor s dobrým zesilovacím činitelem v inverzním zapojení.

#### Spínací obvody a diferenciální zesilovače

Diferenciální zesilovač jsem použil s tranzistory opačné vodivosti (obr. 10), takže k napájení je třeba použít dvě baterie. Tato nevýhoda je však vyvážena úsporou 12 tranzistorů (odpadají zdroje konstantního proudu pro napájení diferenciálního zesilovače a spínače nemusí být můstkové) a také nastavení a teplotní stabilizace je snazší. Výrazného zlepšení vlastností spínačů jsem dosáhl použitím skrovových spinacích obvodů – Schmittova klopového obvodu. Tento obvod by mohl spinat přímo servomechanismy, napájecí napětí by se však zmenšovalo o úbytek na společném emitorovém odporu (asi 0,5 V). Proto jsem použil oddělovací spínací tranzistory, které jsou ovládány napětím z klopových obvodů. Tak dostaneme téměř dokonalou obdobu polarizovaného relé.

Nyní několik poznámek k nastavování. V klidovém stavu Schmittova obvodu vede tranzistor  $T_2$  a  $T_3$  je uzavřen. Zmenšuje-li se napětí na bázi  $T_2$ , tranzistor  $T_2$  se začne zavírat. V tom okamžiku se však začne otvírat  $T_3$ , jímž začne protékat mnohem větší proud, než protékal otevřeným tranzistorem  $T_2$ . Proto se začne úbytek napětí na společném odporu  $R_4$  prudce zvětšovat. Dělič v bázi  $T_2$  je tvrdý, takže napětí  $U_{BE}$  tranzistoru  $T_2$  se zmenšuje. Působením této zpětné vazby se  $T_2$  zcela uzavře a  $T_3$  zcela otevře. Tento pochod je lavinovitý, takže změna je skoková. Klidový pracovní bod nastavujeme odporem  $R_1$ . Tímto odporem se nastavuje i citlivost; ta nesmí být zbytečně



Obr. 11. Schéma měniče

malá, protože servomechanismy by se rozkmitaly (vlivem setrvačnosti přeběhovou poněkud klidovou polohu, obvod by sepnul, servomechanismy by se vrátily zpět a tento pochod by se opakoval). Volíme proto citlivost asi 150 mV. Tranzistory mohou být libovolné, jen pro  $T_1$  vybereme kus s malým  $I_{CE0}$ . U tranzistoru  $T_4$  změříme  $U_{CESat}$ , které by nemělo být větší než asi 200 mV při  $I_c = 200$  mA,  $I_b = 10$  mA.

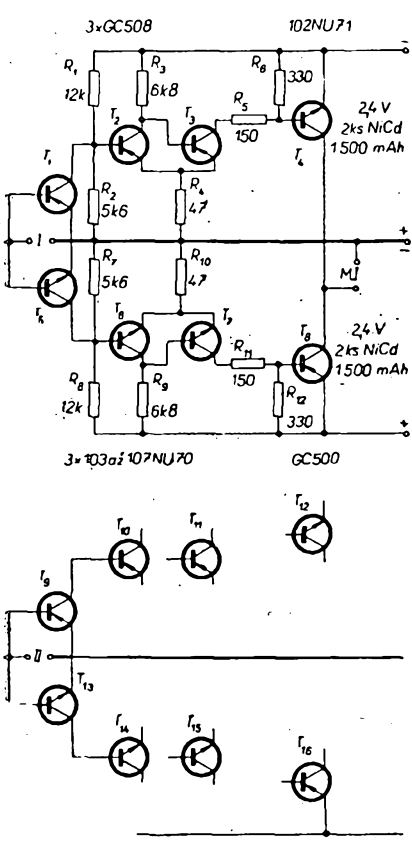
#### Měnič

Ke kompenzaci potřebujeme čtyři pomocné napětí, která nemají společný uzel. Použijeme čtyři pomocné baterie neprichází v úvahu, proto použijeme měnič, který musí dodat 4 x 6 V při odběru 1 mA (obr. 11). Zkoušky s měniči s transformátorovou vazbou dopadly spatně, protože jejich výstupní napětí je značně závislé na odběru a na napájecím napětí. Zvolil jsem tedy nesymetrický astabilní multivibrátor, který napájí transformátor. Změna výstupního napěti je právě rovna změně vstupního napěti ( $\frac{dU_{vyst}}{dU_{vst}} = 1$ ), což je výhodná vlastnost. Jednocestné usměrnění i filtrace naprostě vyhovuje. Tranzistor  $T_2$  je namáhan napěťovými špičkami, proto by měl mít co největší maximální napětí kolektor-emitor. Transformátor je navinut na feritovém jádru 5 x 5 mm a je složen bez vzdutových mezer. Změnou kapacity  $C_8$  lze snadno nastavit výstupní napětí se záťaze. Odpor  $R_4, R_5, R_6$  a  $R_7$  jsou použity proto, aby se při odpojení vybavovače příliš nezvětšilo stejnosměrné napětí a nepoškodily elektrolytické kondenzátory.

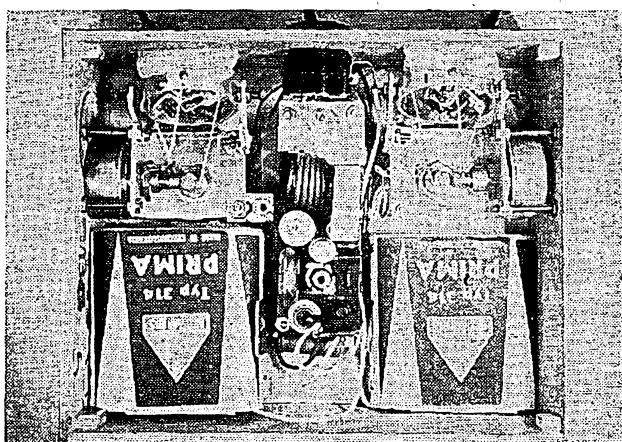
#### Mechanická konstrukce

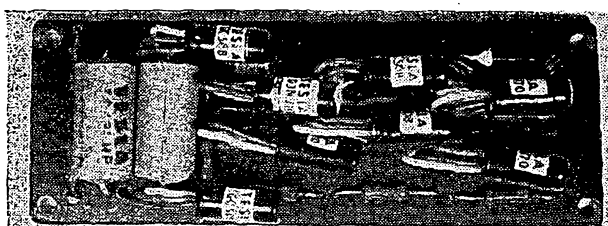
##### Vysílat

Elektrická část vysílače je zapojena na dvou deskách metodou plošných spojů (obr. 12). Na jedné desce je vč díl



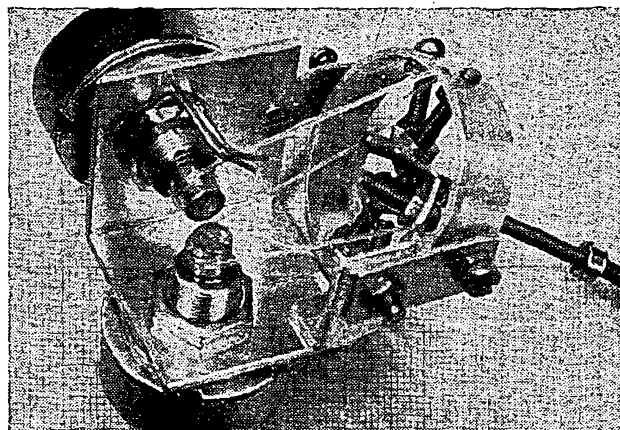
Obr. 10. Spínací obvody





Obr. 13. Modulátor vysílače

se závěrným tranzistorem a stabilizační Zenerovou diodou, na druhé modulátor (obr. 13). Chladič koncového tranzistoru  $T_{11}$  je z hliníkového plechu. Destička modulátoru je uchycena čtyřmi šroubkami M3 a nad ní je destička v f dílu. Baterie (tři ploché) jsou po stranách a jsou přidržovány držáky z plechu. K ovládání jsem použil dva dvojnásobné ovládače. Každým ovládám dva potenciometry (obr. 14). Základní deska 1 je ohnuta do pravého úhlu. Na ni jsou přisroubovány potenciometry a držáky 4, 5. V držácích je na šroubcích M3 otocně uložen kroužek 2. Pravoúhle k ose otáčení tohoto kroužku jde osa otáčení pásku 3. Ovládací lze tedy libovolně natáčet ve všech směrech. Kroužek i pásek spojíme silonovou nití s potenciometry; pro plnou výkylku potenciometru je výkylka na ovládaci asi  $50^\circ$  (obr. 15). Potenciometry musíme poněkud upravit. Na koncích odpo-



Obr. 15. Ovládací prvky

rové dráhy je nápařen kovový povlak, na který při krajiných polohách najíždí sběrač a odporník se skokem mění. Tyto skokové změny odporu působí velmi rušivě, proto musíme potenciometry roztekat a na původní zarážku na hřídele připájet kousky plechu jako nové zarážky (současně tím nastavíme počáteční odpor asi na  $2 \text{ k}\Omega$ ). Hřídele potenciometrů zkrátíme na 5 mm a přične do nich vyvrtáme otvor o  $\varnothing 1 \text{ mm}$ , jímž provlékneme silonovou nit a zajistíme količkem. Detaily 1, 4 a 5 jsou z hliníkového plechu tloušťky 1,5 mm, det. 3 z téhož materiálu tloušťky 1 mm. Kroužek 2 je vyroben z pouzdra do předních

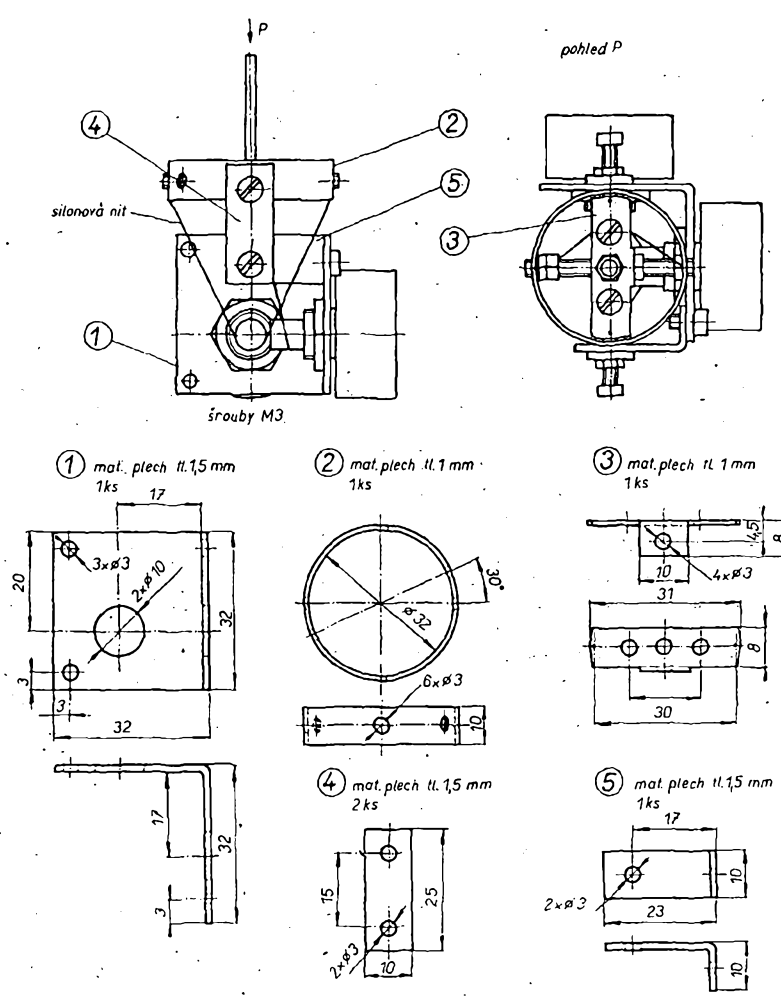
teleskopů motocyklu Jawa. Otvory na jeho obvodu nejlépe rozměříme proužkem papíru, jímž kroužek po obvodu otočíme.

Skřínka vysílače je z překližky tloušťky 5 mm. Její vnitřní rozměry jsou  $160 \times 130 \times 58 \text{ mm}$ . Všechny díly (ovládací prvky, destičky s plošnými spoji a držáky baterii) jsou připevněny šroubky M3 se zapuštěnými hlavami, aby bylo možné potáhnout skřínku koženkou. Výkres vnitřního uspořádání vysílače je na obr. 16.

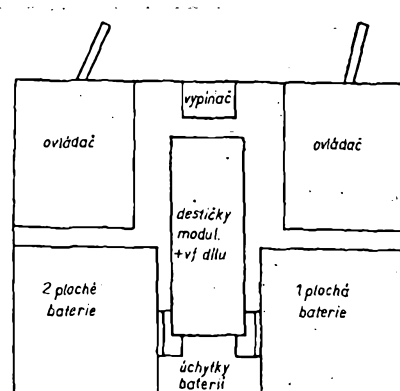
#### Přijímač

Přijímač je zapojen na dvou deskách. Na jedné je superregenerační vf díl a logické obvody s dekódery (obr. 17), na druhé měni se spínacími obvody. Pro dosažení co nejménších rozměrů jsou odpory pájeny na rozteč 8 mm a vývody tranzistorů jsou značně zkráceny.

Desky nejsou v pouzdru přijímače nikam upevněny; jsou obloženy ze strany součástek i spojů vrstvou molitanu, který velmi pružně upevňuje a současně izoluje obě desky. Zhoršení odvodu tepla nedává, protože tranzistory nevyzařují velký ztrátový výkon. Pro usnadnění instalace soupravy do modelu je přívod napájecího napětí a také vývody servomechanismů vyvedeny na konektory z heptalových objímek a patic elektronek. Na pouzdro přijímače jsou upevněny objímky, aby nepřekážely dlouhé vývody. Konektory s přívodními vodiči jsou na servomechanismech a na zdroji. Každý servomechanismus má oddělený konektor i objímkou, aby se mohli používat i menší počet servomechanismů a kanálů. Výroba konektorů je velmi jednoduchá. Elektronku opatrně rozbitíme tak, aby se nepoškodili části s koliky. Na vývody kolíků připájíme přívodní



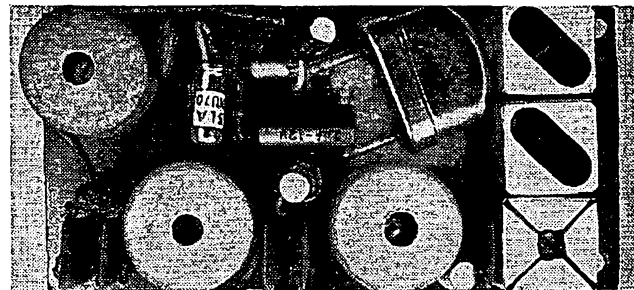
Obr. 14. Sdružené ovládací prvky (mat. plech Al)



Obr. 16. Vnitřní uspořádání vysílače (schematicky)



Obr. 17. Logická část a superregenerační přijímač

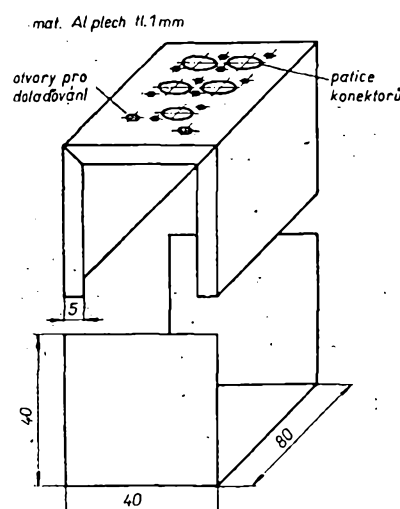


Obr. 19. Superhetový výřez dílu

lanka. Skleněnou část obalíme Izolepou tak, abychom vytvořili jakousi formu, do níž nalijeme tolik tmelu Epoxy 1200 nebo Dentakrylu, aby pájené spoje byly zakryty. Celek necháme vytvrdit. Po vytvrzení opracujeme hrany pilníkem a konektor je hotov. Abychom nezničili tranzistory záměnou konektorů, zalijsme u objímek servomechanismů vždy jeden vývod tmelem Epoxy a u konektoru příslušný kolík uštípneme, čímž dosáhne me nezájemnosti konektorů. Pouzdro přijímače (obr. 18) je z hliníkového plechu tloušťky 1 mm a je povrchově upraveno eloxováním a barvením. Na zadní stěně (ve směru uložení v modelu) jsou upveněny konektory, nad nimi jsou otvory pro dodlacení a nastavení superregeneračního detektora (pro definitivní dodlacení až v modelu). Záporný pól 6 V a  $\pm$  pól 2,4 V spojíme vodičem jen mezi deskami, aby se rušivě neuplatnily případné přechodové odpory v konektorech. Musíme také zapojit správně vývody motorků, aby se při kompenzacích motorky a potenciometry otáčely správným směrem (aby se rozdíl napětí  $U - U_{kom}$  zmenšoval k nule).

#### Servomechanismy

Servomechanismy upravíme z neproporcionálních tak, že k převodovce připevníme pomocný potenciometr (odporový trimr WN790 26, 10 k $\Omega$ ). Protože tento trimr má úhel na plnou výchylku 240°, nemůžeme jej připojit přímo na ovládací táhlo. Musíme vyvést náhon z převodovky, nejlépe z předposledního kolečka před táhlem. Získáme tím i optimální převod od motorku k potenciometru (asi 1 : 60). Při tomto převodu je výchylka dostatečně rychlá



Obr. 18. Pouzdro přijímače

a servomechanismy ještě nepřekmitávají. Pro pohon servomechanismů je ideální motorek Igla 4,5 V, napájený napětím 2,4 V. Při udaném převodu, citlivosti spinacích obvodů asi 150 mV a s tímto motorkem servomechanismy dobře dohání do klidových poloh.

#### Použité součástky

Odpory jsou miniaturní, pro zatižení 0,05 W (TR 112). Odpory a také všechny ostatní součástky před pájením do desky přeměříme. Liší-li se některá podstatně od jmenovité velikosti, raději ji vyvážíme, protože pozdější výměna součástky v plošných spojích je velmi obtížná. Při výběru kondenzátorů musíme pamatovat na rozměrová hlediska. Ve výrobce používáme keramické kondenzátory. Jde-li o kondenzátory větších kapacit, musíme vzít v úvahu špatné vlastnosti některých keramických kondenzátorů. Tyto kondenzátory (především tzv. polštářky) jsou vyrobeny z materiálu permitit, který vykazuje velkou relativní permitivitu  $\epsilon_r$ , ta je však velmi závislá na teplotě. Tím (a také vlivem teplotní rozdílnosti) je na teplotě značně závislá jejich kapacita.

Při praktických zkouškách jsem zjistil, že teplotní závislost kapacity je zanedbatelná u kondenzátorů do kapacity 15 nF včetně. Proto kondenzátory  $C_8$ ,  $C_{10}$  a  $C_{12}$  (obr. 9) jsou keramické (15 nF, na jejich kapacitách závisí značně výstupní napětí šířkových dekódérů). Kondenzátor  $C_2$  musí být typu MP. Kondenzátory typu MP jsou i  $C_1$ ,  $C_2$ ,  $C_4$ ,  $C_5$  a  $C_8$  ve vysílači. Kondenzátory v derivačních obvodech přijímače i vysílače jsou styroflexové, protože v této kapacitách jsou z dosažitelných druhů nejmenší. V zařízení jsem se nevyhnul použití většího počtu elektrolytických kondenzátorů. Používáme výhradně subminiaturní typy TC 922 a 923, u nichž jen překontrolujeme svodový proud. U diod překontrolujeme závěrný proud. Jako  $D_1$ ,  $D_2$  a  $D_3$  dáme kusy s nejmenším proudem v závěrném směru. O výběru tranzistorů jsem se již zmínil. Výhodou je, že některé typy tranzistorů se v zapojení vyskytují v tak hojném počtu, že je z čeho vybírat. Mechanicky jsou značně namáhány potenciometry v ovládacích prvcích. Velmi výhodné jsou zde potenciometry TP280b, které mají ocelovou vložku v ložisku, takže nemají sklon k zadírání jako hliníková ložiska potenciometru TP280. Cívky výřezu jsou navinuty na kostičkách z mezipřekvěnných transformátorů z televizorů. Mají  $\varnothing$  5 mm a jsou dodávány železovým jádrem M4.

Pro superhetový výřez dílu musíme použít vhodný krystal, abychom nemuseli kmitočet příliš násobit. Jak jsem již vysvětlil, volíme mf kmitočet vyšší než 1,5 MHz. Proto musíme mf zesilovač

osadit tranzistory s vyšším mezním kmitočtem  $f_T$ . Podle typu tranzistoru musíme také volit neutralizační kapacity. Kondenzátory ve výřezu obvodech jsou keramické, stejně jako blokovací kondenzátory. Kondenzátory mf transformátorů jsou styroflexové. Mf transformátory jsou vinuté na hliníkových jádrech o  $\varnothing$  14 mm. Stínící kryty jsou ze zinkových kulišek baterii typu 220. Cívky vstupu a oscilátoru jsou opět z mezipřekvěnných transformátorů z televizorů a z nich jsou upraveny i stínící kryty.

#### Závěr

Popisovaná souprava je dost složitá a nákladná. Snad také proto se do její stavby nepustí nikdo bez důkladnějších znalostí a dostatečného technického vybavení.

Soupravu jsem dostatečně ověřil v několika vzorcích. Při správném zapojení a dobrých součástkách bude souprava spolehlivě pracovat. Lépe je však postavit a vyzkoušet celé zařízení nejprve „na prkénku“ a teprve potom postavit definitivní konstrukci.

#### Údaje cívek

##### Cívky vysílače

$L_1$  - 16 z drátu o  $\varnothing$  0,6 mm CuL na kostičce o  $\varnothing$  5 mm.

$L_2$  - 3 z drátu o  $\varnothing$  1 mm CuU na  $L_1$ .

$L_3$  - 6 z drátu o  $\varnothing$  1,5 mm samonosně na  $\varnothing$  12 mm.

$L_4$  - 3 z drátu o  $\varnothing$  1,5 mm.

$L_5$  - 5 z drátu o  $\varnothing$  1 mm CuU na  $L_3$ ,  $L_4$ .

$L_6$  - podle použité antény.

##### Cívky superregeneračního výřezu

$L_7$  - 10 z drátu o  $\varnothing$  0,6 mm CuL na  $\varnothing$  5 mm.

$L_8$  - 80 z drátu o  $\varnothing$  0,15 mm CuL na odporu 1 M $\Omega$ , 0,1 W.

$L_9$  - 200 z drátu o  $\varnothing$  0,15 mm CuL, jádro feritové EE, 3 x 3 mm bez mezery.

##### Cívky superhetu

$L_{10}$  - 10 z drátu o  $\varnothing$  0,6 mm CuL na  $\varnothing$  5 mm.

$L_{11}$  - 1,5 z drátu o  $\varnothing$  0,6 mm CuL.

$L_{12}$  - závitu s odbočkou na 5. závitu, drát o  $\varnothing$  0,6 mm CuL na průměru 5 mm.

$L_{13}$  - 13 z odbočky na 3. závitu, drát o  $\varnothing$  0,6 mm CuL na průměru 5 mm.

$L_{14}$ ,  $L_{15}$ ,  $L_{16}$  - 70 z drátu o  $\varnothing$  0,3 mm CuL s odbočkou na 25. závitu.

$L_{17}$ ,  $L_{18}$  - 8 z drátu o  $\varnothing$  0,1 mm CuL.

$L_{19}$  - 12 z drátu o  $\varnothing$  0,1 mm CuL.

Cívky  $L_1$  až  $L_{18}$  jsou v hliníkových jádrech o  $\varnothing$  14 mm. Kondenzátory  $C_1$ ,  $C_2$ ,  $C_4$ ,  $C_{10}$ ,  $C_{12}$  jsou ve stínících krytech cívek  $L_1$  až  $L_{18}$ .

##### Cívky měniče

$L_{20}$  - 70 z drátu o  $\varnothing$  0,1 mm CuL.

$L_1$  až  $L_{20}$  - 75 z drátu o  $\varnothing$  0,1 mm CuL.

Cívky jsou na feritovém jádru EE 5 x 5 mm bez vzduchové mezery.

**PŘIPRAVUJEME  
PRO VÁS**

Měříč jakosti cívek

# Přijímač Super Major

Přijímač Super Major se k nám dováží z Jugoslávie a má kromě krátkých a středních vln i velmi krátké vlny. V přijímači je seriová anténa pro střední vlny a dipol z kliníkové fólie pro velmi krátké vlny. Přijímač je vybaven diodovým výstupem pro magnetofon, vstupem pro gramofon (normalizované konektory) i přepojkou pro dva reproduktory.

## Technické údaje

### Vlnové rozsahy:

střední vlny - 515 až 1 620 kHz  
krátké vlny - 5,85 až 6,1 MHz,  
velmi krátké vlny - 66 až 73 MHz.

### Mezifrekvenční kmitočet:

pro kmitočtovou modulaci 10,7 MHz,  
pro amplitudovou modulaci 452 kHz.  
Osazení elektronikami: ECC85, ECH81,  
EBF89, ECL86, EM84;

položodiči: BY170, AA121 (2x).

Napájení: střídavý proud 220/110 V,  
50 Hz.

Pojistka: 0,5 A.

Příkon: 40 W.

Reproduktor: dynamický, oválný, roz-  
měry 125 x 175 cm.

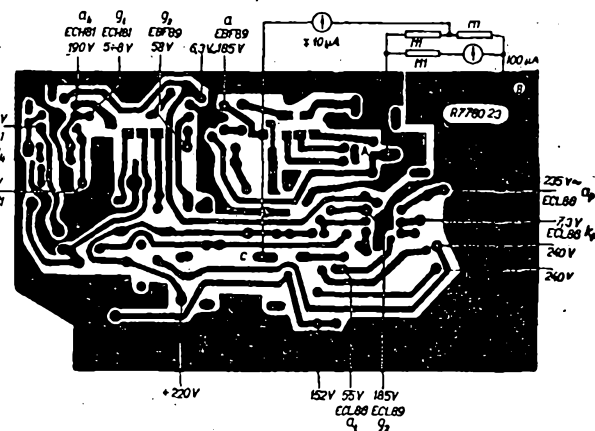
Schéma přijímače je na obr. 1. Přijímač má běžné zapojení a je osazen běžnými elektronikami. Vstupní jednotka VKV se ladí indukčnostmi. Jako

kmitající směšovač pracuje elektronika E<sub>2</sub> (ECH81); při příjmu VKV slouží tato elektronika jako první mříž zesilovač. Zesílený signál při příjmu AM detekuje

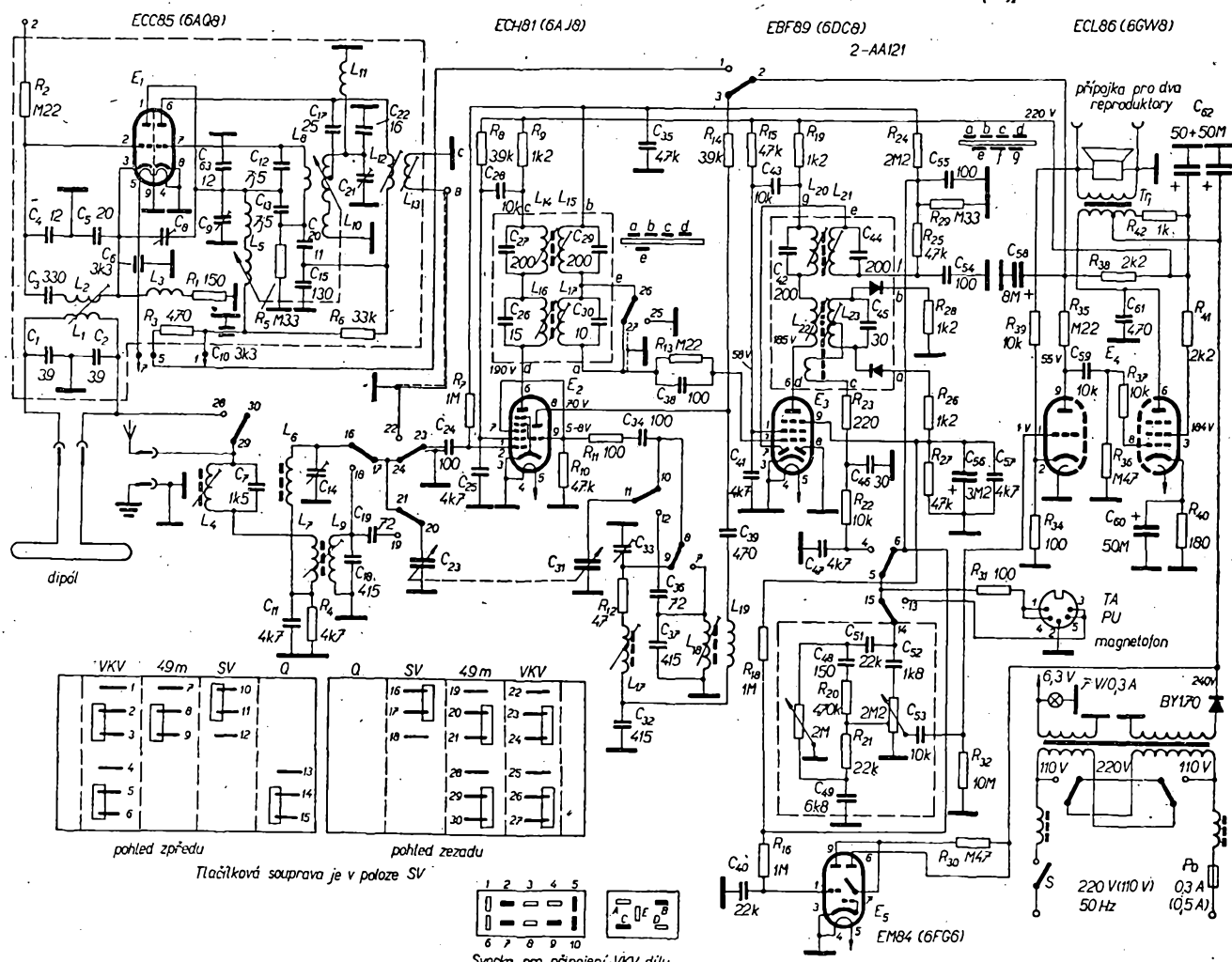
jedna dioda elektronky E<sub>3</sub> (EBF89); při příjmu VKV detekuje signál dvojice polovodičových diod (2-AA121). Signál po detekci zesiluje nf zesilovač s jednou sdruženou elektronkou E<sub>4</sub> (ECL86), jejíž první část pracuje jako předzesilovač (trioda) a druhá jako výkonový zesilovač.

Na obr. 2 je destička s plošnými spoji s označením měřicích bodů. Všechna napětí jsou měřena voltmetrem se vstupním odporem 20 kΩ/V, přepínač rozsahu je v poloze SV.

Na obr. 3 je rozložení hlavních dílů přijímače na šasi s označením ladících prvků. Postup při ladění přijímače je zdejší v tab. 1. Zapojení pro sládování poměrového detektora je označeno na obr. 2.



Obr. 2. Měřicí body  
přijímače



Svorka pro připojení VKV dílu

Tab. 1. Postup při sladování přijímače Super Major

	Připojení generátoru	Rozsah (fáz.)	Kmitočet generátoru	Naladění přijímače	Nutno rozložit	Laděný prvek	Výst. signál nastavit na	Modulace generátoru
AM	přes 68 nF na g <sub>1</sub> E(C)H81	SV	452 kHz	1 620 kHz	—	$L_{10}, L_{11}$	max.	30 %
					—	$L_{14}, L_{15}$		
	přes umělou ant. a zemnicí zdičku	KV	600 kHz	600 kHz	—	$L_4$	min.	
			1 420 kHz	1 420 kHz	—	$L_{17}, L_8$	max.	
FM	přes 68 nF na g <sub>1</sub> E(C)H81	VKV	6 MHz	6 MHz	—	$L_{13}, L_{14}$		nemod.
					—	$L_{18}, L_9$		
	na ECC85 kapacitně		10,7 MHz	10,7 MHz	$L_{10}, L_{11}$	—	max.	
					$L_{12}$	—	nulu	
					$L_{11}$	—		
					$L_{13}$	—		

### Pokyny pro sladování

S ladicím jádry a trimry nemanipujte, dokud jste se nepřesvědčili, že přijímač nemá jinou závadu a dokud není jednoznačně jasné, že je třeba přijímače znovu sladit.

Obvody AM a FM jsou na sobě nezávislé; stačí proto sladit jen díl, který je rozladěn. Při sladování části AM, po případě FM je třeba postupovat přesně

podle sladovací tabulky, zvláště při nastavování mezinfrekvenčních transformátorů, protože jinak nelze zaručit optimální nastavení a tedy ani správnou funkci přijímače.

Napětí signálu připojeného měřicího generátoru se smí zvětšovat jen tak, aby na příslušných bodech a měřidlech (podle zapojení na obr. 2) při nastavování FM nepřekročilo napětí 4 V a

při AM 1,5 V. Dodržením této podmínky se předejdete špatnému naladění vlivem zahlcení přijímače. Regulátor hlasitosti je při nastavování přijímače vytvořen na maximum.

Před laděním oscilátoru je třeba nastavit ladící kondenzátor na maximální kapacitu (ukazatel stupnice je v levé krajní poloze). Při nastavování na krátkých a středních vlnách postupujeme tak, že oscilátor a vstupní díl ladíme opakováně v obou ladících bodech tak dlouho, až již není třeba doladění. Po sladění přijímače zakapeme jádra vosekem.

Při nastavování vstupního dílu VKV se nedoporučuje měnit nastavení trimrů  $C_8$ ,  $C_9$  a  $C_{21}$ , protože jinak vzniká nebezpečí vyzářování a není zaručen souhlas s údaji na stupni.

-S-

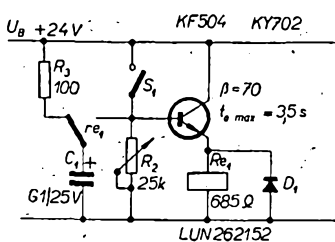
# zájimavá zapojení s relé

Petr Linda

Relé je neprávem zanedbávaný prvek při stavbě elektronických přístrojů. V současné době se již vyrábějí miniaturní typy s velkou spolehlivostí a malou spotřebou, které jsou vhodné pro aplikaci s polovodiči. Několik zajímavých zapojení chce ukázat tento článek. Zapojení jsou jednoduchá a hodnoty součástek nejsou kritické. Je jen třeba, aby relé mělo navíc přepínací kontakty.

### Relé se zpožděným přítahem

Na obr. 1 je zapojení, které umožňuje zpozdit přítah relé. Zpoždění je plynule nastavitelné potenciometrem  $R_2$ . Po zapnutí spínače  $S_1$  se kondenzátor  $C_1$  pomalu nabíjí na napětí  $U_C$  (obr. 2), které závisí na nastavení  $R_2$ . Kontakt relé přepne, jakmile je dosaženo přitažného napětí relé  $U_p$  a kondenzátor se odpojí od obvodu. Odpojením  $C_1$  napětí skokem vzroste na  $U_C$  a tím je přítah kotvy velmi urychlen. Čas zpoždění přítahu relé  $t_p$  závisí na časové konstantě  $\tau$ .



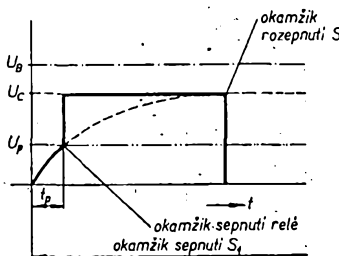
Obr. 1. Relé se zpožděným přítahem

$$\tau = C_1 (R_2 || \beta R)$$

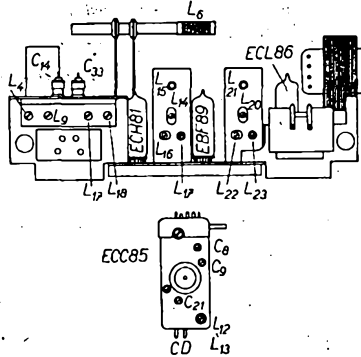
$$t_p = \tau \frac{-\log \left( 1 - \frac{U_p}{U_C} \right)}{\log e}$$

kde  $\tau$  je časová konstanta obvodu,  $t_p$  čas zpoždění přítahu [s],  $\beta$  zesilovací činitel tranzistoru,  $U_p$  přitažné napětí použitého relé,  $R$  stejnosměrný odpor relé,  $U_C$  výstupní napětí děliče  $R_2$ ,  $R$ . Podmínkou je, aby bylo  $U_C > U_p$ .

$$U_C = U_B \frac{\beta R}{\beta R + R_2}$$



Obr. 2. Průběhy napětí na cívce relé se zpožděným přítahem



Obr. 3. Rozložení hlavních součástí na šasii přijímače Super Major

při AM 1,5 V. Dodržením této podmínky se předejdete špatnému naladění vlivem zahlcení přijímače. Regulátor hlasitosti je při nastavování přijímače vytvořen na maximum.

Před laděním oscilátoru je třeba nastavit ladící kondenzátor na maximální kapacitu (ukazatel stupnice je v levé krajní poloze). Při nastavování na krátkých a středních vlnách postupujeme tak, že oscilátor a vstupní díl ladíme opakováně v obou ladících bodech tak dlouho, až již není třeba doladění. Po sladění přijímače zakapeme jádra vosekem.

Při nastavování vstupního dílu VKV se nedoporučuje měnit nastavení trimrů  $C_8$ ,  $C_9$  a  $C_{21}$ , protože jinak vzniká nebezpečí vyzářování a není zaručen souhlas s údaji na stupni.

\* \* \*

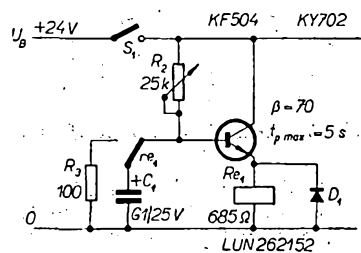
Maximální velikost odporu  $R_2$  nesmí přesáhnout

$$R_{2,\max} \leq \beta R \frac{U_B - U_p}{U_p}$$

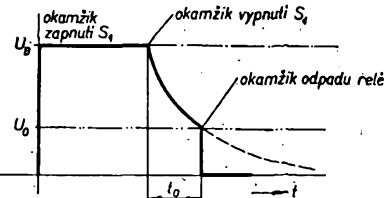
Při vypnutí odpadá relé bez zpoždění. Odpor  $R_3$  chrání kontakt relé před poškozením velkým proudem při vybíjení větší kapacity. Rychlým vybitím bude obvod připraven k dalšímu zapínacímu cyklu.

### Relé se zpožděným odpadem

Zapojení na obr. 3 umožňuje plynule řídit dobu zpoždění odpadu relé. Princip činnosti je na obr. 4. Po zapnutí spínače  $S_1$  je tranzistor otevřen, relé okamžitě sepně a do obvodu báze se připojí kondenzátor  $C_1$ . Kondenzátor je předem nabit přes malý ochranný odpor  $R_3$ , aby při větší kapacitě nedošlo k poškození kontaktů relé nebo k poklesu napětí zdroje (to by vedlo k nežádoucímu kmitání kotvy relé). Po rozepnutí  $S_1$



Obr. 3. Relé se zpožděným odpadem



Obr. 4. Průběhy napětí na cívce relé se zpožděným odpadem

relé neodpadne, protože tranzistor je stále ještě otevřen proudem báze, který dodává náboj kondenzátoru  $C_1$ . Kondenzátor se vybije přes paralelní kombinaci odporů  $R_2$  a  $\beta R$ . Když se napětí změní na velikost napěti odpadu relé  $U_0$ , kontakty rozepnou a kondenzátor se odpoji. Tranzistor se ihned uzavře a kotva relé rychle odpadne.

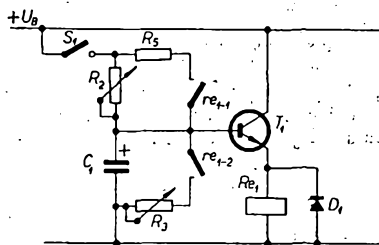
Cas zpoždění odpadu  $t_0$  je určen vztahem:

$$t_0 = \tau \frac{\log U_B - \log U_0}{\log e}$$

Odpor  $R_{2\max}$  by neměl být větší než  $2\beta R$ .

#### Relé s nezávislostí na sobě nastavitelnými časy zpoždění přítahu a odpadu

Zapojení na obr. 5 je kombinací obou dosud uvedených zapojení. Potenciometrem

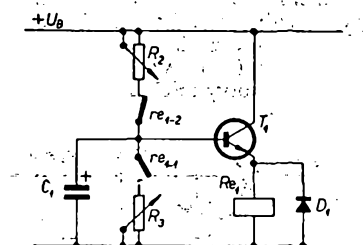


Obr. 5. Relé s regulačními časy přítahu a odpadu

metrem  $R_2$  se nastavuje zpoždění přítahu a potenciometrem  $R_3$  zpoždění odpadu. Oba časy zpoždění jsou na sobě naprostě nezávislé. Hodnoty součátek neuvádíme; lze je odvodit z předcházejících schémat. Odpor  $R_5$  opět chrání kontakt  $re_{1-1}$  při připojení nenabitého kondenzátoru  $C_1$  větší kapacity.

#### Relé jako periodický časový spínač

Malou změnou v zapojení dostaneme periodický časový spínač (obr. 6). Dobu trvání zapnutého a vypnuteho stavu je možné regulovat potenciometry  $R_2$  a  $R_3$ .



Obr. 6. Periodický časový spínač s relé

Uvedené příklady zapojení nemají být návody; mají jen ukázat možnost použití elektromechanických spínačů s elektronickými. Výpočty umožní dostatečně přesný návrh.

#### Literatura

ITT Schaltbeispiele, Ausgabe 67.  
Čermák, J. a Navrátil, J.: Tranzistorová technika. SNTL, Praha 1967.

# PRAKTICKÝ měřicí přístroj

Miroslav Tomek ml.

Při opravách i stavbě různých elektronkových i tranzistorových přístrojů se neobejdeme bez měřicího proudu a napětí. U tranzistorových přístrojů k tomu ještě přistupuje potřeba alespoň informačního změření tranzistorů, především jejich  $I_{CEO}$  a  $\beta$ .

Tato základní měření můžeme dělat dále popsáným měřičem. Navíc je ještě v měřici vestavěn stabilizovaný zdroj s regulovatelným výstupním napětím 0 až 10 V, vhodný pro napájení měřených tranzistorových přístrojů. Měřicí rozsahy jsou: 0 až 1 mA, 10 mA, 100 mA, 500 mA, 500 V, 100 V, 10 V, 1 V;  $I_{CEO}$ ,  $I_{CEO(S)}$ ,  $I_B$ ,  $\beta$ . Vstupní odpor pro měření napětí je  $10 k\Omega/1.V$ , což vyhovuje i pro většinu měření v tranzistorových přístrojích.

#### Popis

Schéma přístroje je na obr. 1. Odpory  $R_1$ ,  $R_2$ ,  $R_3$ ,  $R_4$  tvoří tzv. sduřený bočník pro měření proudu. Odpory  $R_5$ ,  $R_6$ ,  $R_7$ ,  $R_8$  jsou předávací odpory na napěťových rozsazích. Jednotlivé rozsahy se přepínají přepínačem  $P_1$ . Při přepnutí  $P_1$  do polohy  $I_{CEO}$  je rozsah měřidla 0,5 mA.

Do obvodu je zařazen ochranný odpór  $R_{11}$ , který zabraňuje zničení měřidla při měření tranzistoru se zkratem mezi kolektorem a emitorem.

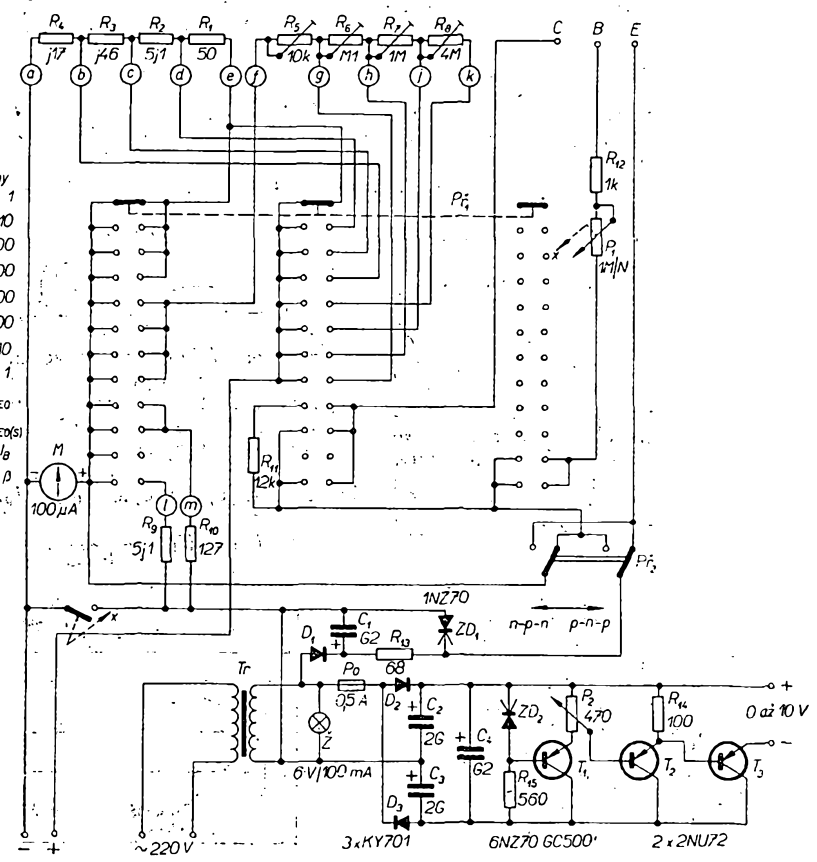
Má-li měřený tranzistor zkrat mezi kolektorem a emitorem, ukáže měřidlo maximální výchylku. Je-li tranzistor v pořádku, výchylka ručky je vždy



menší než plná. V takovém případě přepneme  $P_1$  do polohy  $I_{CEO(S)}$  a měříme skutečný zbytkový proud. Rozsah měřidla je opět 0,5 mA (v obou případech dán bočníkem  $R_{10}$ ), je však vyřazen z činnosti ochranný odpór  $R_{11}$ . Zbytkový proud  $I_{CEO(S)}$  se u dobrých tranzistorů pohybuje mezi 50 až 400  $\mu$ A (záleží na typu tranzistoru). Je-li  $I_{CEO(S)}$  v mezích ustanovených v katalogu, přepneme  $P_1$  do polohy  $I_B$ . Potenciometrem  $P_1$  nastavíme proud  $I_B = 50 \mu$ A (rozsah měřidla je nyní 100  $\mu$ A) a přepneme  $P_1$  do polohy  $\beta$ . Rozsah měřidla je nyní 10 mA, což odpovídá  $\beta = 200$ . Stupnice tedy můžeme také přímo cejchovat v  $\beta$  a pak číst  $\beta$  přímo na stupnici.

#### Stabilizovaný zdroj

Transformátor  $T_1$  dodává na sekundární straně napětí 6,3 V. Protože je toto napětí po usměrnění menší než obvykle používaná napájecí napětí pro tranzistorové přístroje (obvykle 9 V), je do



Obr. 1. Zapojení praktického měřicího přístroje  
( $P_1$  má být M1/N)

charakteristické rovnice tranzistoru v zapojení SE s parametry  $h$ :

$$\Delta U_B = h_{11}\Delta I_B + h_{12}\Delta U_C,$$

$$\Delta I_C = h_{21}\Delta I_B + h_{22}\Delta U_C.$$

Podobně napišeme linearizované charakteristické rovnice tranzistoru v zapojení SE s parametry  $y$ :

$$\Delta I_B = y_{11}\Delta U_B + y_{12}\Delta U_C,$$

$$\Delta I_C = \text{_____} (4).$$

Z těchto rovnic přímo vyplývají náhradní obvody tranzistoru (obr. 140). Tranzistor pracující s malými signály tedy můžeme při

opravách radioelektronických přístrojů (pří řešení obvodu nahradit přímo např. jedním z obou v tomto obrázku naznačených náhradních obvodů.

Jediným diferenciálním parametrem, je hož označený u tranzistorů se liší od obecného, je parametr  $h_{21}$ . Pro tento parametr se u tranzistorů někdy používá název proudový zesilovací činitel – v zapojení se společnou bází se znázorňuje  $\alpha$ , v zapojení se společným emitorem  $\beta$ .

Odpovědi: (1) malém, (2) emitorem, (3)  $\Delta U_C$ , (4)  $y_{21}\Delta U_B + y_{22}\Delta U_C$

### KONTROLNÍ TEST 2 – 53

A K řešení obvodů s tranzistory můžeme použít jejich linearizované náhradní obvody jen tehdy, 1) pracují-li tranzistory s malými signály, tj. v malém okolí klidového pracovního bodu, 2) pracují-li tranzistory s velkými signály, 3) pracují-li tranzistory se značně velkými signály.

B Z převodní charakteristiky tranzistoru podle obr. 139 určete v pracovním bodě  $P$  velikost diferenciálního parametru  $h_{21}$ .

C Z výstupní charakteristiky tranzistoru podle obr. 139 určete v pracovním bodě  $P$  velikost diferenciálního parametru  $h_{22}$ .

### 2.14 Obvody pro nastavení pracovního bodu základních vakuových elektronek a tranzistorů

Základním předpokladem funkce vakuových i polovodičových elektronek je připojení potřebných (převážně stejnosměrných) napětí na jejich jednotlivé elektrody. Nejprve tedy musíme vždy vytvořit základní podmínky pro to, aby vakuová elektronika nebo tranzistor mohly uspokojivě pracovat – musíme nastavit vhodný pracovní režim, vhodný pracovní \_\_\_\_\_ (1). Teprvé je-li správně nastaven základní klidový pracovní režim elektronky, lze ji používat ke zpracování signálu, např. k zesilování. Teprvé po správném uspořádání obvodu pro nastavení pracovního bodu elektronky vytváříme obvody pro zpracování signálů.

Takto postupujeme nejen při návrhu nebo zapojování radioelektronických obvodů, ale také při rozboru pro nás nových elektronických obvodů, při hledání závad v radioelektronických přístrojích apod. Při analýze pro nás nových, neznámých elektronických obvodů nejprve vyhledáme a vyčleníme v podstatě vždy stejně napájecí obvody pro nastavení pracovního \_\_\_\_\_ (2) vakuových elektronek nebo tranzistorů. Tím se v zapojení orientujeme a zbyvá nám zaměřit se na konkrétní řešení pro nás nových obvodů ke zpracování signálu. Také při

vyhledávání závady) zkонтrolujeme zpravidla nejprve obvody pro nastavení pracovního bodu elektronek. Teprve shledáme-li je v pořádku, hledáme závadu v dalších obvodech přístroje.

Co v podstatě znamená nastavit pracovní režim (pracovní bod) elektronek? U vakuových elektronek to znamená především správné vyžávání \_\_\_\_\_ (3) elektronky, připojení vhodných napětí mezi anodou a katodu a mezi mřížky a katodu elektronky. U tranzistorů musíme na jejich elektrody připojit stejnosměrná napětí v podstatě tak, aby jejich emitorový přechod byl zapojen v propustném směru a kolektorský přechod ve směru nepropustném.

Odpovědi: (1) bod, (2) bodu, (3) katody.

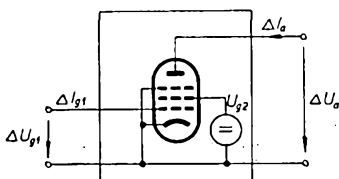
#### 2.14.1 Obvody pro nastavení pracovního bodu vakuových elektronek

Zopakujme si, že základním předpokladem dobré funkce vakuových elektronek je připojení potřebných napětí na jejich jednotlivé elektrody. Především je třeba vyžávit katodu elektronky a pak připojit vhodné stejnosměrné napětí mezi anodou a katodu elektronky – téměř vždy připojujeme na anodu \_\_\_\_\_ (1) pól napětí stejnosměrného zdroje, na katodu záporný pól.

## SPRÁVNÉ ODPOVĚDI NA KONTROLNÍ TESTY

**KONTROLNÍ TEST 2-S1:** A malými, lineární, B 3), C 1), D 2).

Upravíme si je změnou příslušných indexů pro základní zapojení vakuových elektronek, tj. zapojení se společnou katodou (obr. 134). Místo změny výstupního napětí  $\Delta U_a$  můžeme v našem konkrétním zapojení psát přímo změnu anodového napětí  $\Delta U_a$ .



Obr. 134.

místo změny výstupního proudu  $\Delta I_a$  bude-  
me psát \_\_\_\_\_ (3). Vstupní proud mů-  
žeme zpravidla počítat za přibližně nulový,  
tedy  $I_1 \approx I_g \approx 0$ . Můžeme tedy psát linea-  
rizované rovnice ve tvaru:

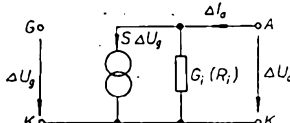
$$\Delta I_g = 0,$$

$$\Delta I_a = y_{21} \Delta U_g + y_{22} \Delta U_a.$$

U vakuových elektronek se vžil zvyk označovat diferenciální parametry zvlášt-  
ní názvy. Jistě si vzpomínáte, že jsme již ho-  
vořili o tom, že parametr  $y_{21}$  bývá někdy označován jako strmost a značí se písmenem S. Podobně se obvykle parametr  $y_{22}$ , tj. vý-  
stupní vodivost označuje jako vnitřní vodi-  
nost elektronky a značí se  $G_1$  – mnohdy se také uvádí obrácená hodnota  $G_1$ , tzv. vnitřní  
odpor  $R_1$ ;  $G_1 = \frac{1}{R_1}$ . S tímto vztahem ozna-  
čením pak píšeme linearizované charakteris-  
tické rovnice typu y ve tvaru:

$$\Delta I_g = 0,$$

$$\Delta I_a = S \Delta U_g + G_1 \Delta U_a.$$

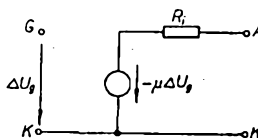


Obr. 135.

Náhradní obvod odpovídající tému rovnicím se pokuste nakreslit samostatně. Připomeňte si k tomu kapitoly 2.13.9.1 a 2.13.9.2. Porovnejte si pak svůj výsledek se správným obvodem podle obr. 135. Protože předpokládáme  $I_g = 0$ , není mezi vstupní svorky náhradního obvodu připojena žádná součástka. Na výstupních svorkách se objevuje závislý proudový zdroj  $S \Delta U_g$  s paralelně připojenou vnitřní vodivostí (vnitřním od-  
parem).

**Odpovědi:** (1) obvody, (2)  $y_{21} \Delta U_g + y_{22} \Delta U_a$ ,  
(3)  $\Delta I_a$ .

V praxi se setkáváme ještě s jiným linea-  
rizovaným náhradním obvodem základních  
vakuových elektronek. Ten obsahuje místo  
proudového zdroje  $S \Delta U_g$  (obr. 135) zdroj  
napětí o velikosti  $-\mu \Delta U_g$ . Tento náhradní  
obvod si uvedeme již bez odvozování (že  
jej sestavit z tzv. linearizovaných charakte-  
ristik rovnic typu g, o nichž jsme nehovo-



Obr. 136.

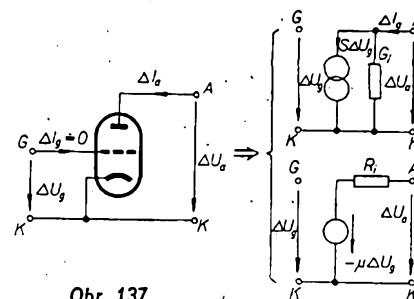
řili) – je na obr. 136. Vzhledem k našemu  
předpokladu nulového vstupního proudu  
elektronky je vstupní část náhradního ob-  
vodu opět rozpojená, tj. mezi vstupními  
svorkami náhradního obvodu \_\_\_\_\_

\_\_\_\_\_ (1) součástka. Výstupní část  
obvodu tvoří sériové spojení dvou členů,  
a to zdroje napětí o velikosti  $-\mu \Delta U_g$  a  
vnitřního odporu elektronky  $R_1$ . Jistě si  
vzpomenete – hovořili jsme o tom již na  
str. 54. – že parametr  $\mu$  je tzv. (2)  
činitel elektronky.

Shrňme tedy: pracují-li elektronky jen  
s malými signály (využíváme-li tedy jen malý  
úsek jejich charakteristiky), můžeme je při  
řešení obvodů elektronických přístrojů  
nahradiť linearizovanými náhradními obvo-

dy (obr. 137). Používáme buďto náhradní obvod složený z paralelního spojení proubového zdroje  $S \Delta U_g$  a vnitřní vodivosti  $G_1$ , nebo náhradní obvod složený ze sériového spojení napěťového zdroje  $-\mu \Delta U_g$  a vnitřního odporu  $R_1$ . Takto lze nahrazovat nejen vakuové triody, ale i tetrody a pentody se stejnosměrným zdrojem napětí zapojeným mezi stínici mřížku a katodu.

Odpovědi: (1) není žádno, (2) zesilovač.



Obr. 137.

#### KONTROLNÍ TEST 2-52

A U vakuových triod se uvádějí zpravidla tyto charakteristiky: 1) vstupní a převodní, 2) výstupní (anodová) a převodní, 3) vstupní a zpětná převodní.

B K řešení obvodů s vakuovými elektronkami můžeme použít jejich linearizované náhradní obvody jen tehdy, 1) pracují-li elektronky s malými signály, 2) pracují-li elektronky s velkými signály, 3) pracují-li elektronky se značně velkými signály.

#### 2.13.11 Tranzistory jako odporové čtyřpóly

Tranzistory jsou – podobně jako základní vakuové elektronky – součástky, na něž lze aplikovat poznatky o čtyřpólech. Obecně vzato, představuje tranzistor stejně jako vakuové elektronky součást s charakterem nelineárního impedančního čtyřpolu. Teprve omezíme-li se na pomalé změny obvodových veličin, tj. na signály s nepříliš vysokými kmitočty, lze tranzistor považovat za čtyřpol \_\_\_\_\_ (1). Tranzistor jako čtyřpol jsme si nakreslili již na obr. 118. V tomto obrázku je tranzistor znázorněn v nejpoužívanějším zapojení, tj. v zapojení se společným \_\_\_\_\_ (2). Z tohoto zapojení vydeme na našich dalších úvahách. Použijeme – podobně jako v předcházející kapitole o vakuových elektronkách – poznatky o čtyřpólech shrnuté v úvodu kapitoly 2.13.

Odpovědi: (1) odporový, (2) emitorem.

#### 2.13.11.1 Charakteristické rovnice tranzistoru jako odporového čtyřpolu

Tranzistory popisujeme nejčastěji soustavou charakteristických rovnic typu  $y$  (zjména vysokofrekvenční tranzistory) a soustavou charakteristických rovnic typu  $h$ . Jak se změní tyto obecně formulované rovnice pro tranzistor v zapojení SE považovaný za odporový čtyřpol podle obr. 118? Místo obecného vstupního napětí  $U_1$  budeme psát

napětí mezi bází a emitorem tranzistoru  $U_{BE}$ , zkráceně napišeme jen  $U_B$ . Místo vstupního proudu  $I_1$  budeme psát proud báze, tj. \_\_\_\_\_ (1). Pro výstupní napětí budeme psát \_\_\_\_\_ (2) a pro výstupní proud napišeme  $I_C$ , tj. kolektorový proud (obr. 138).

Charakteristické rovnice typu  $y$  pak mají pro tranzistor tvar

$$I_B = y_1 (U_B, U_C)$$

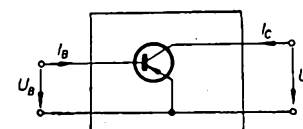
$$I_C = y_2 (U_B, U_C)$$

Charakteristické rovnice typu  $h$  pro tranzistor budou:

$$U_B = h_1 (I_B, U_C)$$

$$I_C = h_2 (I_B, U_C)$$

Vzpomeňte si, že jsme u vakuových elektronek mohli zvolit jeden předpoklad, který nám situaci zjednodušil; předpokládali jsme nulové vstupní \_\_\_\_\_ (3) elektronky, takže v dalším nebylo nutné brát v úvahu funkci  $y_1$ . Takový předpoklad u tranzistorů udělat nemůžeme, neboť jejich vstupním obvodem proud zpravidla protéká.



Obr. 138.

## ● PROGRAMOVANÝ KURS ZÁKLADŮ RADIOELEKTRONIKY ●

Protože tranzistor je nelineární součástkou, stejně jako vakuová elektronka, vyjadřujeme jeho charakteristické rovnice zpravidla \_\_\_\_\_ (4), tj. kreslíme soustavu jeho charakteristik.

Odpovědi: (1)  $I_B$ , (2)  $U_C$ , (3) proud, (4) graficky.

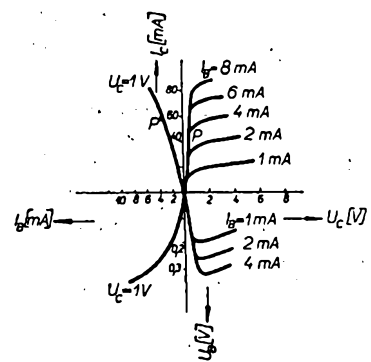
#### 2.13.11.2 Soustavy charakteristik tranzistorů

U vakuových elektronek jsme se setkali se dvěma nejčastěji používanými skupinami charakteristik, a to s charakteristikami anodovými (výstupními) a s charakteristikami \_\_\_\_\_ (1). Obě tyto skupiny znázorňují charakteristickou funkci  $y_2$ . Se dvěma skupinami charakteristik vystačíme u základních vakuových elektronek proto, že v převážné většině případů je u nich prakticky nulový \_\_\_\_\_ (2) proud, takže charakteristická funkce  $y_1$  se nezobrazuje.

U tranzistorů nebývá žádána ze čtyř obvodových veličin nulová; obvykle protéká i vstupním obvodem tranzistor proud a proto se zobrazují obě charakteristické funkce; kreslíme úplnou soustavu jejich charakteristik, tj. skupinu charakteristik výstupních, převodních, vstupních a \_\_\_\_\_ (3) převodních. Rámcový průběh úplné soustavy skupin charakteristik tranzistoru, odpovídajících charakteristickým rovnicím typu  $y$ , jste poznali již na str. 77 (obr. 106).

Víme, že u tranzistorů se často používají charakteristické rovnice typu  $h$ . Vzpomeňte si, že u této se volí jako nezávisle proměnné veličiny vstupní proud, tedy pro zapojení SE proud  $I_B$ , a výstupní napětí, tedy napětí  $U_C$ . Závisle proměnnými veličinami jsou pak vstupní napětí  $U_B$  a výstupní proud, v zapojení tranzistoru SE tedy proud \_\_\_\_\_ (4)  $I_C$ . Tento volbě odpovídá iuspořádání soustavy skupin charakteristik, které přísluší charakteristickým rovnicím typu  $h$ . Závisle proměnné veličiny se vynášejí na svislou osu souřadnicové soustavy,  $I_C$  se vynáší od začátku soustavy vzhůru,  $U_B$  směrem dolů. Nezávisle proměnné veličiny se vynášejí na vodorovnou osu; napětí  $U_C$  směrem vpravo od začátku, proud  $I_B$  vlevo. Rámcový průběh takové úplné soustavy skupin charakteristik typu  $h$  pro běžný tranzistor je na obr. 139.

Odpovědi: (1) převodními, (2) vstupní, (3) zpětnými, (4) kolektorový.

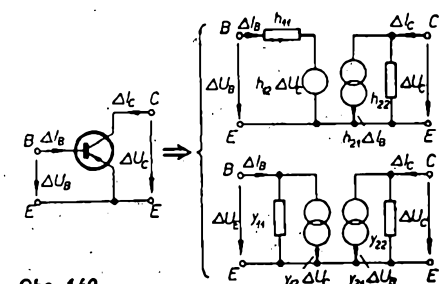


Obr. 139.

#### 2.13.11.3 Linearizované náhradní obvody tranzistorů

Stejně jako u základních vakuových elektronek můžeme i tranzistor, zpracovává-li jen malé signály (pohybují-li se tedy jeho pracovní bod jen v \_\_\_\_\_ (1) úseku charakteristiky), nahradit linearizovaným náhradním obvodem. Výjdeme z nejpoužívanějšího zapojení tranzistoru, tj. ze zapojení se společným \_\_\_\_\_ (2) (obr. 140). Nejčastěji se popisují tranzistory charakteristickými rovnicemi typu  $y$  a typu  $h$ , proto používáme i linearizované náhradní obvody vycházející z této rovnic. Postup sestavování této náhradních obvodů jste již poznali – zopakujte si jej!

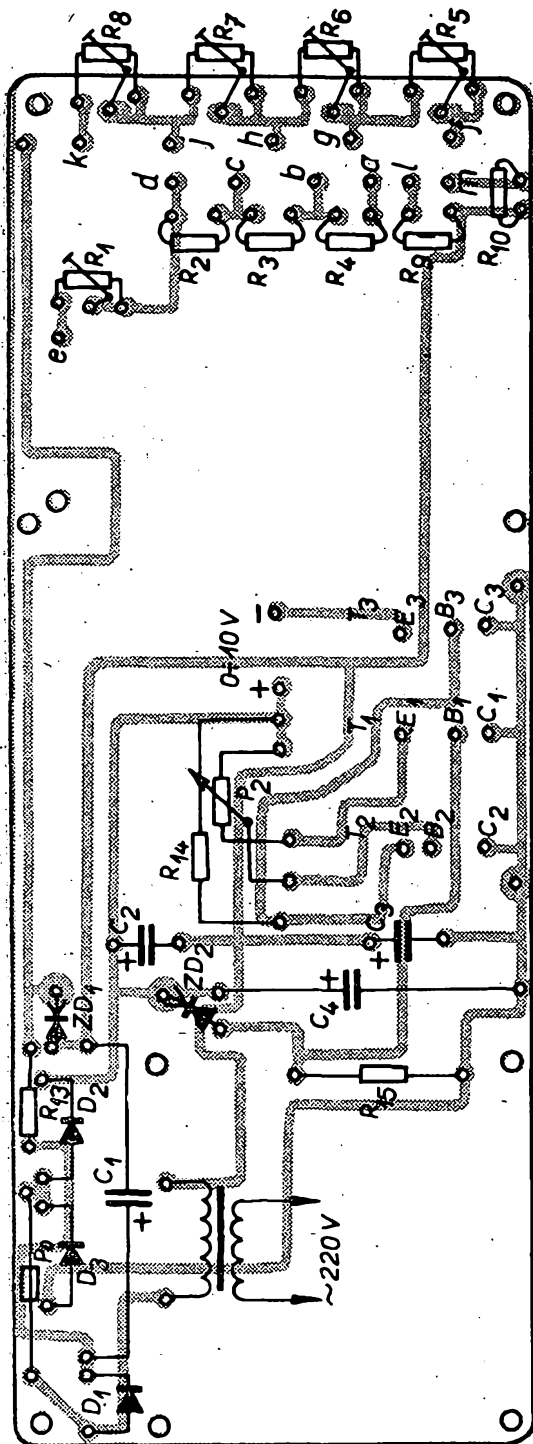
Výjdeme z linearizovaných charakteristických rovnic, do nichž dosadíme jen za základní indexy obvodových veličin indexy příslušící zapojení tranzistoru SE, tj. místo  $\Delta I_1 = \Delta I_B$ ,  $\Delta U_1 = \Delta U_B$ ,  $\Delta I_2 = \Delta I_C$ ,  $\Delta U_2 = \Delta U_C$  \_\_\_\_\_ (3). Zavedením této označení můžeme již přímo napsat linearizované



Obr. 140.

Typ	Druh	Použití	$U_{CE}$ [V]	$I_C$ [mA]	$h_{FE}$ $h_{FE^*}$	$f_T$ $f_{T^*}$ [MHz]	$T_a$ $T_c$ [°C]	$P_{tot}$ $P_C^*$ max [mW]	$U_{CB}$ max [V]	$U_{CE}$ max [V]	$I_C$ max [mA]	$T_{JE}$ [°C]	Pouzdro	Výrobce	Patice	Náhrada TESLA	Rozdíly					
																	$P_C$	$U_C$	$f_T$	$h_{FE}$	$S_{diff}$	$F$
BCY93B	SPE p	NF	6	1	10—35*	15			70	70	50	150	TO-5	TAG	2	—						
BCY94	SPE p	NF	6	1	25—60*	15			70	70	50	150	TO-18	TAG	2	—						
BCY94B	SPE p	NF	6	1	25—60*	15			70	70	50	150	TO-5	TAG	2	—						
BCY95	SPE p	NF	6	1	40—100*	15			70	70	50	150	TO-18	TAG	2	—						
BCY95B	SPE p	NF	6	1	40—100*	15			70	70	50	150	TO-5	TAG	2	—						
BCY96	SPE p	NF	6	1	10—35*	15			90	90	50	150	TO-18	TAG	2	—						
BCY96B	SPE p	NF	6	1	10—35*	15			90	90	50	150	TO-5	TAG	2	—						
BCY97	SPE p	NF	6	1	25—60*	15			90	90	50	150	TO-18	TAG	2	—						
BCY97B	SPE p	NF	6	1	25—60*	15			90	90	50	150	TO-5	TAG	2	—						
BCZ10	Sj p	NF	6	1	15—60*	0,3—3,5	25	300	25	25	50	150	TO-1	V,P,M	1	KF517	>	>	>	=		
BCZ11	Sj p	NF	6	1	25—60*	>1	25	300	30	25	50	150	TO-1	V,P,M	1	KF517A	>	>	>	=		
BCZ12	Sj p	NF	6	1	>10*	>1	25	300	60	60	50	150	TO-1	V,P,M	1	KFY16	>	=	>	>		
BCZ13	Sj p	NF	2	1	15—40*	1,5>0,5	50	85	20	20	10	150	RO-19	P,C	8	—						
BCZ14	Sj p	NF	2	1	30—90*	1,5>0,5	50	85	20	20	10	150	RO-19	P,C	8	—						
BD106	SPE n	NF	2	500	A:50—150 B:1000—300	100	25c	11,5 W	36	36	2,5 A	175	9A2	I	31	KU601	<	>	<	<		
BD107	SPE n	NF	2	500	A:50—150 B:100—300	100	25c	11,5 W	64	64	2,5 A	175	9A2	I	31	KU601	<	=	<	<		
BD109	SPE n	NF	2	1 A	A:30—90 B:50—150 C:100—300	>30	45c	18,5 W	60	40	3 A	175	SOT-9	S	31	—						
BD111	SPE n	VZ	10	500	100>45	100	75c	15 W	60	60	10 A	150	TO-3	SGS	31	KU606	>	>	<	<		
BD112	SPE n	NF	10	1 A	130		75c	15 W	60	60	10 A	150	TO-3	SGS	31	—						
BD113	SPE n	NF	2	2 A	90>40	100	75c	15 W	60	60	10 A	150	TO-3	SGS	31	KU606	>	>	<	<		
BD115	SP n	NF	50	>20		80	25c	11,5 W	220		150		TO-39	RTC	2	—						
BD116	SPE n	NF	2	1 A	60	46	75c	15 W	80	60	3 A	150	TO-3	SGS	31	KU601	<	=	<	<		
BD117	SPE n	NF	5	2 A	110		75c	22,5 W	100	60		150	TO-3	SGS	31	KU606	>	>	<	<		
BD118	SPE n	NF	5	1 A	>30	30	25	20 W	80	60		150	TO-3	SGS	31	KU606	<	>	=	=		
BD119	SPE n	NF	10	50	120		75c	6 W	300	300	400	150	TO-66	SGS	31	—						
BD120	SP n	NF	10	150	170	30	25	7,5 W	150	150		150	TO-66	SGS	31	KU602	>	<	=	<		
BD121	SPE n	NF	10	1 A	50>30	80	25c	45 W	60	35	5 A	175	TO-3	RTC,M	31	KU606	>	<	<	=		
BD123	SPE n	NF	10	1 A	50>30	80	25c	45 W	90	60	5 A	175	TO-3	RTC,M	31	KU606	>	<	<	=		
BD124	SPE n	NF	5	2 A	50>25	120	62c	15 W	70	45	2 A	175	9A2	V	31	KU601	<	<	<	<		
BD127	SM n	VZ	20	50	70>50	20>10	25c	16,5 W	350	300	150	175	9A2	T	31	—						
BD128	SM n	NF	20	50	50>30	20>10	25c	16,5 W	400	350	150	175	9A2	T	31	—						
BD129	SM n	NF	20	50	60>40	>10	25c	16,5 W	350	350	150	175	9A2	T	31	—						
BD130	Sdf n	NF	4	4 A	20—70	0,8	45c	115 W	100	60	15 A	200	TO-3	ATES	31	—						
BD135	SPE n	NF	2	150	40—250	75	25	2 W	45	45	350	125	SOT-32	V	S1	—						
BD136	SPE p	NF	2	150	40—250	75	25	2 W	45	45	350	125	SOT-32	V	S1	—						
BD137	SPE n	NF	2	150	40—160	75	25	2 W	60	60	350	125	SOT-32	V	S1	—						
BD138	SPE p	NF	2	150	40—160	75	25	2 W	60	60	350	125	SOT-32	V	S1	—						
BD139	SPE n	NF	2	150	40—160	75	25	2 W	80	80	350	125	SOT-32	V	S1	—						
BD140	SPE p	NF	2	150	40—160	75	25	2 W	80	80	350	125	SOT-32	V	S1	—						
BD141	Sdf n	NF	4	3 A	20—70		55c	117 W	160	140	10 A	200	TO-3	ATES	31	—						
BD142	Sdf n	NF	4	8 A	15—60		55c	117 W	50	40	15 A	200	TO-3	ATES	31	—						
BDY10	Sdf n	NF	0	2 A	10—50	1,5	45c	130 W	50	50	2 A	175	TO-3	V,P,M	31	—						
BDY11	Sdf n	NF	0	2 A	10—50	1,5	45c	130 W	100	100	2 A	175	TO-3	V,P,M	31	—						
BDY12	SPE n	NF	2	1 A	B:30—90 C:50—150 D:100—300	>30	45c	26 W	60	40	2 A	175	SOT-9	S	31	KU606	>	>	<	=		
BDY13	SPE n	NF	2	1 A	B:30—90 C:50—150 D:100—300	>30	45c	26 W	80	60	2 A	175	SOT-9	S	31	KU606	>	>	<	=		
BDY15	SPE n	NF	2	500	A:50—150 B:100—300 C:200—600	100	25c	11,5 W	36	36	2,5 A	175	9A2	I	31	KU601	=	>	<	<		
BDY16	SPE n	NF	2	500	A:50—150 B:100—300	100	25c	11,5 W	64	64	2,5 A	175	9A2	I	31	KU601	=	=	<	<		
BDY17	Sdf n	NF	4	10 A	>10	1	25c	115 W	80	60	10 A	200	TO-3	RTC,V	31	—						
BDY18	Sdf n	NF	4	8 A	>10	1	25c	115 W	120	70	10 A	200	TO-3	RTC,V	31	—						
BDY19	Sdf n	NF	4	6 A	>10	1	25c	115 W	150	80	10 A	200	TO-3	RTC,V	31	—						
BDY20	Sdf n	NF	4	4 A	20—70	1	25c	117 W	100	60	15 A	200	TO-3	RTC,V	31	—						
BDY23	S n	NF	4	2 A	15—180	>10	25c	85 W	60	60	6 A	200	TO-3	C	31	KU607	<	>	=	=		
BDY24	S n	NF	4	2 A	15—180	>10	25c	85 W	100	90	6 A	200	TO-3	C	31	KU607	<	=	=	=		
BDY25	S n	NF	4	2 A	15—180	>10	25c	85 W	200	140	6 A	200	TO-3	C	31	KU607	<	=	=	=		
BDY26	S n	NF	4	2 A	15—180	>10	25c	85 W	300	180	6 A	200	TO-3	C	31	—						
BDY27	S n	NF	4	2 A	15—180	>10	25c	85 W	400	200	6 A	200	TO-3	C	31	—						
BDY28	S n	NF	4	2 A	15—180	>10	25c	85 W	500	250	6 A	200	TO-3	C	31	—						
BDY34	SPE n	NF	2	2 A	30—300	>80	45c	13 W	60	40	3 A	175	9A2	T	31	KU601	<	=	<	<		
BDY38	Sdf n	NF	4	2 A	>30	1	25	115 W	50	40	6 A	200	TO-3	V	31	—						

Typ	Druh	Použití	$U_{CE}$ [V]	$I_C$ [mA]	$h_{FE}$ $h_{ne^*}$	$f_T$ $f_x^*$ [MHz]	$T_a$ $T_c$ [°C]	$P_{tot}$ $P_C^*$ max [mW]	$U_{CB}$ max [V]	$U_{CE}$ max [V]	$I_C$ max [mA]	$T_L$ max [°C]	Pouzdro	Výrobce	Patice	Náhrada TESLA	Rozdíly						
																	$P_C$	$U_C$	$f_T$	$h_{FE}$	$Spín.$	$V_i$	$F$
BDY39	SPE n	NF	4	4 A	20—70	1,1	25	75 W	100	100	10 A	200	TO-3	S	31	KU606 KU607	< =	= >	> =	> =	=	=	=
BDY53	S n	NF	1,5	2 A	20—60	>20	25c	60 W	100	60	12 A	200	TO-3	C	31	KU606	< =	> >	= =	= =	=	=	=
BDY54	S n	NF	1,5	2 A	20—60	>20	25c	60 W	180	120	12 A	200	TO-3	C	31	KU605	< =	> >	= =	= =	=	=	=
BDY55	S n	NF	4	4 A	20—70	>10	25c	115 W	100	60	15 A	200	TO-3	C	31	—	—	—	—	—	—	—	—
BDY56	S n	NF	4	4 A	20—70	>10	25c	115 W	180	120	15 A	200	TO-3	C	31	—	—	—	—	—	—	—	—
BDY57	S n	NF	4	10 A	20—60		25c	175 W	120	80	30 A	200	TO-3	C	31	—	—	—	—	—	—	—	—
BDY58	S n	NF	4	10 A	20—60		25c	175 W	160	125	30 A	200	TO-3	C	31	—	—	—	—	—	—	—	—
BF108	SP n	Vi	10	30	50>15	100>70	25	800	135	135			TO-5	CSF	2	KF504	= =	> >	= =	= =	=	=	=
BF109	SM n	Vi	10	10	>20	>80	105c	1,2 W	135	135	50	175	TO-5	V,P,M	2	KF504	< =	> >	= =	= =	=	=	=
BF110	S2dfn	Vi	10	10	>30	150	25c	2,5 W	160	160	40	200	TO-39	T, S	2	KF504	< =	= <	< =	= =	=	=	=
BF111	SP n	BTV	20	60	>20	120	25	3 W	200	200	80	175	TO-39	S	2	—	—	—	—	—	—	—	—
BF114	SP n	Vi	10	10	>30	>80	45	590	150	145	50	175	TO-5	T	2	KF504	> >	= =	= =	= =	=	=	=
BF115	SPE n	VF	10	1	45—165	230	25	140	50	50	30	175	TO-72	T,V,M	4	KF524	= =	< <	= =	= =	=	=	=
BF117	SPE n	Vi	10	30	>25	80	100	1270	140	140	100	175	TO-39	T	2	KF504	< =	> >	= =	= =	=	=	=
BF118	SPE n	Vi	10	30	>25	110	25c	5 W	250	240	100	175	TO-39	I	2	—	—	—	—	—	—	—	—
BF119	SPE n	Vi	10	30	>25	110	25c	5 W	160	160	100	175	TO-39	I	2	KF504	> =	< <	= =	= =	=	=	=
BF121	SPE n	VF	10	4	75>30	350	25	330	40	30	25	125	TO-72	I	6	KF525	< =	< <	< <	= =	=	=	=
BF123	SPE n	MF-TV	10	7	80>38	550	25	330	40	30	25	125	TO-72	I	6	KF173 KF525	< =	< <	< <	= =	=	=	=
BF125	SPE n	MF-TV	10	7	70	400	25	330	40	30	25	125	TO-72	I	6	KF173 KF525	< =	< <	> >	= =	=	=	=
BF127	SPE n	MF-TV	10	4	60>27	350	25	330	40	30	25	125	TO-72	I	6	KF167 KF525	< =	< <	= =	= =	=	=	=
BF140	SP n	Vi	10	10	50>15	100>40	25	800	135	135	50	200	TO-5	D	2	KF504	= =	> >	= =	= =	=	=	=
BF140A	SP n	Vi	10	10	50>15	>40	25	800		150	30	200	TO-5	CSF	2	KF504	= =	= =	= =	= =	=	=	=
BF140D	SP n	Vi	10	10	50>15	85>35	25	800	180	150	50	200	TO-5	D	2	KF504	= =	< <	= =	= =	=	=	=
BF152	SPE n	Ou	10	3	50>20	800>600	25	200	30	12		125	TO-18e	SGS	2	—	—	—	—	—	—	—	—
BF153	SPE n	VF	6	3	50>20	400>300	25	200	30	12		125	TO-18e	SGS	2	KF524	< =	< <	> >	= =	=	=	=
BF154	SP n	Vi	10	10	50>25	400>200	25	300	30	20		125	TO-5e	SGS	2	KF525	< =	< <	> >	= =	=	=	=
BF155	SP n	Ou	12	2,5	70>20	600>400	25	175	40	40	20	175	TO-18	SGS	6	—	—	—	—	—	—	—	—
BF156	SP n	Vi	10	30	60>30	60>50	25	800	120	120		200	TO-5	SGS	2	KF504	= =	> >	= =	= =	=	=	=
BF157	SP n	Vi	10	30	60>30	60>50	25	800	150	150		200	TO-5	SGS	2	KF504	= =	> >	= =	= =	=	=	=
BF158	SPE n	TV-MF	10	4	50>20	800>600	25	200	30	12		125	TO-18e	SGS	2	KF173	> =	> >	= =	= =	=	=	=
BF159	SPE n	TV-MF	10	4	50>20	800>600	25	200	40	20		125	TO-18e	SGS	2	KF173	> =	> =	= =	= =	=	=	=
BF160	SPE n	TV-MF	10	3	50>20	600>400	25	200	30	12		125	TO-18e	SGS	2	KF167	> =	> >	= =	= =	=	=	=
BF161	SP n	VFu	24	1,5	70>20	550	25	175	50	50	20	175	TO-18	SGS	6	—	—	—	—	—	—	—	—
BF162	Sdf n	VFu	10	4	70>30	600>400	25	200	40	40		125	TO-18e	SGS	2	—	—	—	—	—	—	—	—
BF163	Sdf n	VF,MF	10	4	70>30	600>400	25	200	40	40		125	TO-18e	SGS	2	KF167	> =	= =	= =	= =	=	=	=
BF164	Sdf n	MF	10	4	70>30	600>400	25	200	40	40		125	TO-18e	SGS	2	KF167	> =	= =	= =	= =	=	=	=
BF165	Sdf n	VF	10	2	35>20	300>200	25	300	30	15		125	TO-5e	SGS	2	KF125	< =	= =	= =	= =	=	=	=
BF166	Sdf n	VFv	12	2,5	50>20	500>400	25	175	40	40		175	TO-18	SGS	6	—	—	—	—	—	—	—	—
BF167	SPE n	MF-TV	10	4	57>26	350	45	130	40	30	25	175	TO-72	V,T,M	4	KF167	= =	= =	= =	= =	=	=	=
BF168	SPE n	VFv	20	7	>100	550	25	260	50	30	25	175	TO-18	RTC,M	2	—	—	—	—	—	—	—	—
BF169	SE n	VF	5	2	>200	>200	25	300	50	30	50	175	TO-18	CSF,M	2	—	—	—	—	—	—	—	—
BF169A	SPE n	VF	10	1	90—330	250	25	175	30	30	30	175	TO-72R	Mi	4	—	—	—	—	—	—	—	—
BF169R	SPE n	VF	5	2	>200	>200	25	300	50	30	50	175	RO-110	D	2	—	—	—	—	—	—	—	—
BF173	SPE n	MF-TV	10	7	88>38	550	25	260	40	25	25	175	TO-72	V,M,T	4	KF173	= =	= =	= =	= =	=	=	=
BF174	SP n	Vi	10	25	90>30	85>40	25	800	150	150		200	TO-5	SGS	2	KF504	= =	> >	= =	= =	=	=	=
BF175	SP n	VF-n3	12	2,5	70	550	25	175	40	40		175	TO-18	SGS	6	KF173	> =	= =	= =	= =	=	=	=
BF176	SPE n	MF-TV	10	10	65>20	300—700	25	200	40	40		125	TO-5	SGS	2	—	—	—	—	—	—	—	—
BF177	SP n	VF	10	15	>20	120	50	600	100	60	50	200	TO-5	V, S	2	—	—	—	—	—	—	—	—
BF178	SP n	VF, Vi	20	30	>20	120	100c	1,7 W	160	115	50	200	TO-5	V, S	2	KF504	= =	= =	< =	= =	=	=	=
BF179	SP n	VF	10	15	>20	120	100c	1,7 W	200	200	50	200	TO-5	V, T	2	—	—	—	—	—	—	—	—
BF179A	SP n	BTV-GY	10	15	<20	120	100c	1,7 W	160	160	50	175	TO-5	V,T,S	2	—	—	—	—	—	—	—	—
BF179B	SP n	BTV-RY	10	15	>20	120	100c	1,7 W	220	220	50	175	TO-5	V,T,S	2	—	—	—	—	—	—	—	—
BF179C	SP n	BTV-BY	10	15	>20	120	100c	1,7 W	250	250	50	175	TO-5	V,T,S	2	—	—	—	—	—	—	—	—
BF180	SP n	VFu	10	2	45>13	>675	25	150	30	20	20	175	TO-72	M	6	—	—	—	—	—	—	—	—
BF181	SP n	VFu	10	2	30>13	>600	25	150	30	20	20	175	TO-72	M	6	—	—	—	—	—	—	—	—
BF182	SP n	VFu	10	2	20>10	650	25	150	25	20	15	175	TO-72	V, M, RTC	6	—	—	—	—	—	—	—	—



Obr. 2. Destička s plošnými spoji Smaragd D01

obvodu zařazen zdvojovač napětí složený z  $D_2$ ,  $D_3$ ,  $C_2$ ,  $C_3$ . Z tohoto zdvojovače přivádime napětí na filtrační kondenzátor  $C_4$  a do tranzistorového stabilizátoru. Podobná zapojení již byla na stránkách AR, RK a ST několikrát uveřejněna.<sup>1</sup> Výstupní napětí regulujeme potenciometrem  $P_2$  od 0 do 10 V. Trvalý možný odběr proudu ze zdroje je asi 200 mA, maximální asi 350 až 400 mA, ale jen krátkodobě. K transformátoru je ještě připojen jednoduchý pomocný zdroj pro napájení měřicích tranzistorů, složený z  $D_1$ ,  $C_1$ ,  $R_{13}$  a  $\bar{Z}D_1$ .

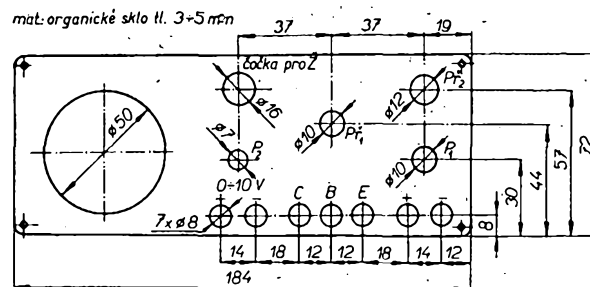
#### Součástky a mechanická stavba

Přístroj je postaven na destičce s plošnými spoji (obr. 2). Odpor  $R_1$  je drátový odporový trimr 68  $\Omega$ . Oditory  $R_2$ ,  $R_3$ ,  $R_4$  a  $R_9$  jsou zhotoveny navinutím mě-

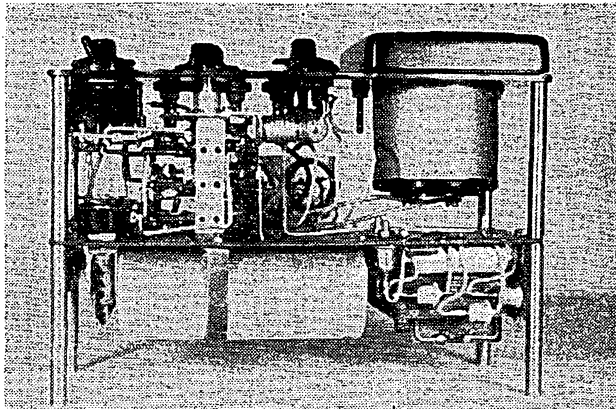
děného drátu na tělíska odporů 0,5 W, 1 M $\Omega$ . Délku a průměr drátu vypočítáme podle [1]. Oditory  $R_5$ ,  $R_6$ ,  $R_7$ ,  $R_8$  a  $R_{10}$  jsou běžné trimry s větším odporem než je udáno v rozpisce, abychom měli při cejchování dostatečnou rezervu. Oditory  $R_{11}$ ,  $R_{12}$  stačí na zatížení 0,1 W. Všechny oditory se stabilizovaném zdroji volíme raději pro zatížení 0,5 až 1 W. Kondenzátory  $C_1$  a  $C_4$  jsou 200  $\mu\text{F}/12$  V (TC 963), a kondenzátory  $C_2$  a  $C_3$  jsou 2 000  $\mu\text{F}/25$  V.

Diody  $D_1$ ,  $D_2$  a  $D_3$  jsem použil křemíkové KY701. Místo nich lze použít i starší typy, např. 32NP75, 42NP75 apod. Zenerovy diody jsou běžné typy,  $\bar{Z}D_1$  je typu 1NZ70 a  $\bar{Z}D_2$  je typu 6NZ70.

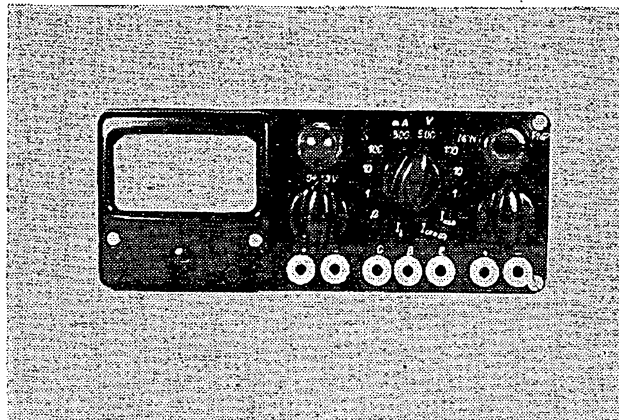
Tranzistor  $T_1$  je GC500. Na místě tranzistorů  $T_2$  a  $T_3$  jsem použil sovětské



Obr. 3. Čelní stěna měřidla



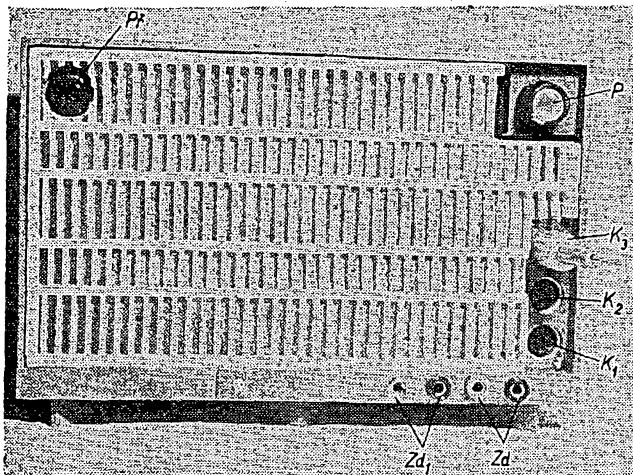
Obr. 4. Uspořádání součástek uvnitř přístroje



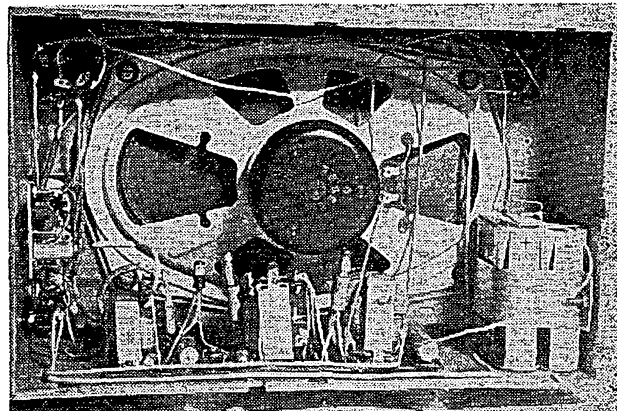
Obr. 5. Celkový vzhled přístroje

typy П 605 se ztrátou 3 W, ale vyzkoušel jsem i naše typy 2NU72 (3NU72, OC30) a k žádným změnám ve schématu nedošlo. Potenciometr  $P_1$  je miniaturní typ (TP 181) se spínačem, 100 k $\Omega$ /N. Potenciometr  $P_2$  je miniaturní drátový 470  $\Omega$ . Jako přepínač  $P_1$  jsem použil upravený třísegmentový přepínač 6 × 2 polohy za 28,— Kčs. Přepínač jsem rozebral, nýty odvrátil a do obvodu aretovacího kolečka vypiloval další zuby (celkem jich je na obvodu 12). Nástavce pro uchycení segmentů jsem zkrátil na nejmenší možnou délku; konce ohnul, jak to bylo původně, a vyříznul jsem do nich závity M3. Po opětném sestavení (místo nýtu jsem použil šrouby M3) se přepínač za tyto závity uchytí šroubky M3 k destičce plošných spojů. Takto upravený přepínač plně nahradí drahé přepínače. Protože pájecí očka jsou nyní na přepínači dosti stísněná, musíme dát pozor při pájení, abychom mezi nimi neudělali zkrat kapkou cínu. Přepínač  $P_2$  je běžný, páčkový, dvoupólový.





Obr. 2. Čelní stěna zesilovače



Obr. 3. Vnitřní uspořádání zesilovače

# Elektronické ovládání stěračů

Ing. Miloš Hlávka

U motorových vozidel (především u osobních automobilů) si již elektronika našla své pevné místo a její uplatnění je v tomto oboru stále širší. Jako příklad lze uvést např. elektronické zapalování, elektronické ovládání směrovék, elektronické regulátory napětí atd.

Jednou z aplikací elektroniky ve výzbroji motorového vozidla je tzv. „intervalový spínač“ motorku stěračů.

Jak je všem motoristům jistě dobře známo, vyskytuje se při jízdě automobilům situace, kdy prší (nebo sněží) právě tolik, že bez zapnutých stěračů nelze dále pokračovat v jízdě, avšak neprší nebo nesněží zase tolik, aby stěrače musely být stále zapnuty. Při zapnutých stěračích pak vzniká vlivem nedostatečné vlnnosti na skle nepřijemné drhnutí prýže stěračů. Většina řidičů řeší tuto situaci tím, že stěrače v určitých intervalech zapíná a vypíná. Tím však řidič odvádí svoji pozornost od řízení vozidla, což může být i příčinou nehody, neboť právě v těchto případech bývá zhorskána viditelnost.

Některé luxusní vozy (v nejbližší době se k nim přísluší i naše Škoda 1000 MB) jsou pro podobné povětrnostní podmínky vybaveny motorkou pro stěrače s dvěma rychlostmi. Pomalý pohyb ramenek stěrače po skle však nepříznivě ovlivňuje řidičovou pozornost.

K odstranění těchto nedostatků bylo v poslední době využito několik elektronických systémů, jejichž zapojení byla uveřejněna v různé literatuře. Jde věsměs o elektronické časové spínače (většinou tranzistorové astabilní obvody), které mají za úkol vždy po určité nastavitelné době (ve většině případů plynule nebo po skokoch) spinat a vypínat motorek stěračů tak, jak to odpovídá povětrnostním podmínek při jízdě. Těchto zapojení již existuje mnoho a většinou pracují spolehlivě. Protože však jde převážně o zahraniční prameny, bývá dost obtížné nahradit původní součástky našimi.

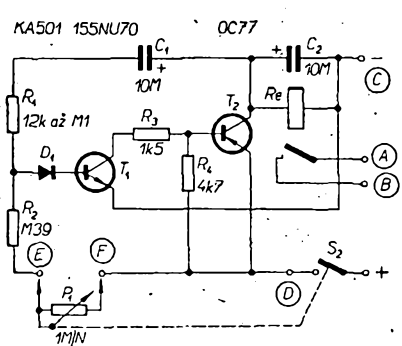
V článku se budu zabývat popisem a stavbou dvou systémů, které se velmi dobře osvědčily při použití našich součástí. Jde o:

1. Astabilní obvod s doplňkovými tranzistory [1].
2. Astabilní multivibrátor s emitorovou vazbou [2].

Předpokladem činnosti obou systémů je, aby stěrače měly zamontován koncový vypínač.

## Astabilní obvod s doplňkovými tranzistory

Schéma zapojení obvodu je na obr. 1. Skládá se ze dvou doplňkových, galvanicky vázaných tranzistorů, které tvoří stejnosměrný dvoustupňový zesilovač. Báze tranzistoru  $T_1$  však není napájena přímo ze zdroje, ale z kolektoru tranzistoru  $T_2$  přes nabijecí kondenzátor  $C_1$ ; v tom je princip činnosti zařízení. Zapínání motorku stěračů obstarávají kontakty relé  $Re$ . Jeho cívka je zapojena v kolektorovém obvodu tranzistoru  $T_2$ , který pracuje jako spínač (pracuje jen

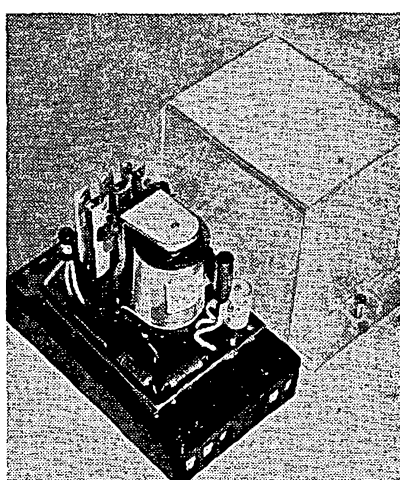


Obr. 1. Schéma zapojení spínače s doplňkovými tranzistory

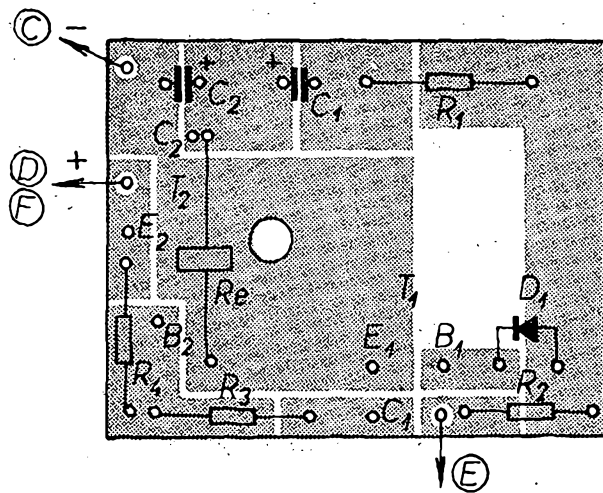
ve dvou krajních pracovních bodech – tj. ve stavu vodivém a ve stavu nevodivém). Tranzistor  $T_1$  obstarává jednak buzení tranzistoru  $T_2$ , jednak mění polaritu signálu (má opačnou polaritu než tranzistor  $T_2$ ). Křemíková dioda  $D_1$  slouží jako diodový spínač a určuje přesnou okamžik otevření obou tranzistorů. Časovací obvod tvoří kondenzátor  $C_1$ , odpory  $R_1$ ,  $R_2$  a potenciometr  $P_1$ . Kondenzátor  $C_1$  slouží k nastavení doby celého spínacího cyklu (čas sepnutí i vypnutí relé  $Re$ ), odpor  $R_1$  k nastavení doby sepnutí (čas, kdy stěrače pracují). Odporem  $R_2$  a potenciometrem  $P_1$  lze nastavovat dobu vypnutí. Kondenzátor  $C_2$  zmenšuje špičku napětí, vznikající při vypnutí relé  $Re$  na jeho cívce; tato špička by mohla způsobit průraz tranzistoru  $T_2$ . Místo tohoto kondenzátoru lze také použít plošnou diodu.

## Stavba spínače s doplňkovými tranzistory

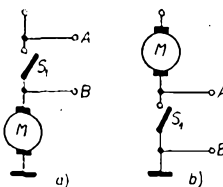
K maximálnímu zjednodušení mechanické konstrukce se využívá zapojení dvojice pomocného relé RP100. Do krytu relé je přitom vestavěn celý systém spínače. Pohled na systém s odklopeným krytem je na obr. 2. Mechanická konstrukce spočívá ve výrobě destičky s ploš-



Obr. 2. Pohled na spínač s odklopeným krytem



Obr. 3. Destička s plošnými spoji pro spínač s doplňkovými tranzistory Smaragd D02



Obr. 5. Původní zapojení stěrače ve vozidle. Body A a B propojíme se stejně označenými body na intervalovém spínači

cykly pohybu raménka stěrače odporem  $R_1$  (stačí čas o něco delší než jeden cyklus pohybu raménka). Potenciometr  $P_1$  nastavíme na nulový odpor. Přestaneme-li zařízení pracovat, musíme zmenšit odpor  $R_1$  a tedy i zkrátit čas sepnutí tak, aby systém začal spinat. Taktéž nastavený čas je maximální, jakého lze s daným zapojením dosáhnout. Čas rozepnutí lze pak regulovat ve zmíněném rozmezí (5 až 14 s). Celkový časový interval spínání lze ovlivnit změnou kapacity kondenzátoru  $C_1$ .

#### Zapojení spínače s doplňkovými tranzistory ve vozidle

Vhodné místo pro umístění spínače je pod palubní deskou. Systém pracuje v libovolné poloze. Např. u vozů Škoda 1000 MB je možné upevnit spínač v otvoru pod volantem (vedle otvoru je spínač parkovacích světel). V tom případě výfizně v bakelitovém výlisku relé v upevňovacích otvorech závit M5 a celý spínač přišroubujeme dvěma šrouby v těchto otvorech. Vedle spínače parkovacích světel umístíme potenciometr  $P_1$ . Zapojení do elektrické instalace je závislé jednak na polaritě elektrického rozvodu, jednak na zapojení původního spínače stěračů. Tento spínač ( $S_1$ ) může být zapojen podle obr. 5a nebo podle obr. 5b. V každém případě připojíme vývody kontaktů A, B na stejně označené kontakty intervalového spínače. Podle toho, který pól baterie je na vozidle uzemněn, připojíme napájení. Na obr. 6a je schéma napájení spínače při uzemněném záporném pólu baterie (např. vozy Škoda 1000 MB) a na obr. 6b schéma napájení spínače pro uzemněný kladný pól (např. vozy Škoda Octavia atd.).

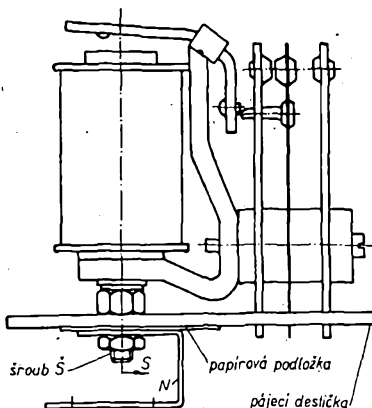
#### Astabilní multivibrátor s emitorovou vazbou

Zapojení multivibrátoru je na obr. 7. Na rozdíl od klasického zapojení multivibrátoru je to zapojení nesouměrné. Je vhodné pro aplikace, kde se signál odebírá jen z jednoho tranzistoru a kde potřebujeme dosahovat relativně dlouhých časů spinání. A to jsou právě vlastnosti, které se hodí pro nás případ. Na rozdíl od zapojení na obr. 1 mají oba tranzistory stejnou polaritu. Zařízení obsahuje dva časovací obvody: v napájení báze tranzistoru  $T_1$  a ve vazebním obvodu mezi oběma tranzistory. Tranzistor  $T_2$  tvoří výkonový spínací stupeň pro cívku relé  $Re$ . Odpor  $R_E$  je zpětnovazební a způsobuje vlastné kmitání celého systému. Časy sepnutí a vypnutí relé jsou dány hodnotami součástí v časovacích obvodech: odporem  $R_{U1}$  lze měnit dobu sepnutí relé (při zvětšení odporu se čas prodlouží, současně se však zkrátí doba celého cyklu); kondenzátorem  $C_1$  lze měnit dobu sepnutí relé (při zvětšení kapacity se prodlouží doba sepnutí); odporem  $R_{B2}$  lze měnit v určitých mezích dobu celého cyklu (platí přímá závislost); kondenzátorem  $C_2$  a  $C_3$  lze měnit dobu vypnutí relé.

nými spoji (obr. 3). Plošné spoje můžeme nahradit takto: do míst, kde jsou vývody součástek, vyvrátme díry o  $\varnothing 1 \text{ mm}$ . Do nich nasuneme kousky měděných drátků tak, aby vyčnívaly asi 3 mm z obou stran pájecí destičky. Tyto vývody použijeme jako pájecí body pro součástky na jedné straně (horní) a pro drátové spoje na straně druhé (dolní). Původní drátové spoje mezi relé a svorkovnicí odpájíme. Destička s plošnými spoji je připevněna na šroubu  $S$  relé (obr. 4). Vývody od destičky k výstupním svorkám jsou z izolovaného ohebného lanka. Vývodu je celkem šest. Dva slouží k napájení spínače, dva vedou k vývodům potenciometru  $P_1$  a dva ke kontaktům relé. Kontakty relé můžeme spojit paralelně. Potenciometr  $P_1$  (k plynulému nastavení intervalu vypnutí relé) je umístěn mimo spínač někde na palubní desce. Je kombinován se spínačem, jímž se uvádí spínač v činnost.

#### Elektrické součásti

Oba tranzistory musí mít opačnou polaritu (n-p-n, p-n-p nebo opačně). Protože jde o galvanicky vázaný obvod, musí mít tranzistor  $T_1$  pokud možno malý zbytkový proud kolektoru  $I_{CEO}$ . V původním pramenu se používá křemíkový tranzistor, při pokusech jsem však zjistil, že stačí některý v germaniový typ, např. 155NU70 nebo 156NU70. Z křemíkových lze použít KF503 až KF508 atd., při opačné polaritě např. OC170. Podmínkou je, aby zbytkový



Obr. 4. Upevnění destičky s plošnými spoji v relé RP100

proud kolektoru tohoto tranzistoru nebyl větší než  $30 \mu\text{A}$  (zjištěno experimentálně), jinak tranzistor  $T_2$  vůbec nerozpíná a relé  $Re$  „lepi“. Tranzistor  $T_2$  je běžný nf typ (na obr. 1 p-n-p), který má přípustný kolektorový proud alespoň  $100 \text{ mA}$  a kolektorovou ztrátu kolem  $150 \text{ mW}$ . Vyhoví např. OC76, OC77, atd., při opačné polaritě lze použít 101NU71, 102NU71 atd. Dioda  $D_1$  je křemíková (s germaniovou diodou obvod nepracuje) typu KA501 nebo KA502. Kondenzátory  $C_1$ ,  $C_2$  a  $C_3$  jsou typy do plošných spojů TC 943 (lze použít i běžné typy se středovými vývody TC 973; umístění je na výšku). Odporu jsou čtvrtiwattové. Potenciometr  $P_1$  je typ TP 281a/N,  $1 \text{ M}\Omega$ . Relé  $Re$  je upravené pomocné relé RP100. Cívku tohoto relé musíme převinout pro napětí 12 V (původní je určena na 24 V).

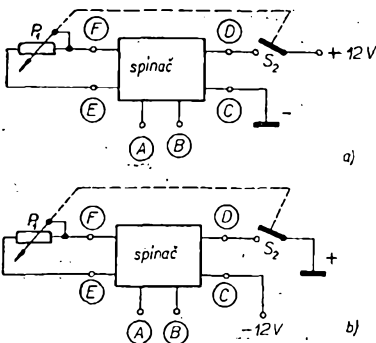
#### Cívka relé RP 100

	Počet závitů	$\varnothing$ drátu [mm]	Cínný odpor [ $\Omega$ ]
Původní cívka	6 000	0,14	365
Převinutá cívka	4 000 až 4 400	0,18	130 až 150

Pokud bychom chtěli, aby relé pracovalo co nejtišeji, můžeme zmenšit zdvih jeho kotvičky až na 2 mm. Potom ovšem musíme upravit nastavení kontaktů v pěrovém svažku relé. Místo relé RP100 lze použít jakýkoli typ, který spíná při 12 V. Optimální odpor vinutí cívky je 130 až 160  $\Omega$ . Při větším odporu někdy obvod nekmitá, při menším bychom museli použít výkonnější koncový tranzistor  $T_2$ . Pro funkci zařízení stačí jeden spínací kontakt, který snese proud motorku stěrače. Systém lze zkonstruovat i menší; komplikuje to však mechanickou konstrukci, která pak závisí na použitém typu relé.

#### Uvádění do chodu

Při uvádění do chodu je vhodné nahradit odpor  $R_1$  odporovým trimrem TP 035 nebo TP 036 (asi  $100 \text{ k}\Omega$ ). Tímto odporom se mění doba sepnutí. Trim nastavíme do čtvrtiny odporové dráhy (tj. asi  $25 \text{ k}\Omega$ ) a připojíme zdroj 12 V. Spínač by měl spínat v intervalech podle nastavení potenciometru  $P_1$  (při nastavení na nulu asi po pěti vteřinách a při nastavení na  $1 \text{ M}\Omega$  asi po 12 až 14 vteřinách). Dobu sepnutí seřídíme na dvě



Obr. 6. Zapojení spínače s doplňkovými tranzistory: a) ve vozidle se záporným pólem na kostě, b) ve vozidle s kladným pólem na kostě

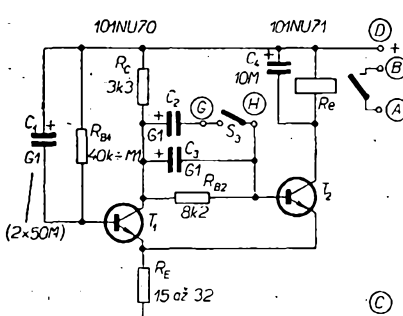
Směrodatné pro vlastnosti obvodu jsou tedy kondenzátory  $C_1$  (doba sepnutí) a  $C_3$ ,  $C_3$  (doba vypnutí). Při určitých kapacitách obou kondenzátorů můžeme odpory  $R_{B1}$  a  $R_{B2}$  měnit poměr obou časů. Kondenzátor  $C_4$  má stejnou úlohu jako kondenzátor  $C_2$  v zapojení na obr. 1. Protože dobu vypnutí měníme v zapojení na obr. 7 změnou kapacity, není možné tento čas regulovat plynule. V praxi obvykle stačí dva různé intervaly vypnutí (jeden kolem 5 až 6 s, druhý 12 až 15 s). Kondenzátor  $C_3$  je připojen stále, zatímco kondenzátor  $C_2$  se připojuje k získání delší doby vypnutí.

#### Stavba spínače s emitorovou vazbou

Systém je opět vestavěn do krytu relé RP100. Mění se ovšem destička s plošnými spoji D03 (obr. 8). Její upevnění je stejně jako u předcházejícího zapojení až na to, že otvor pro šroub  $S$  relé v nosném úhelníku  $N$  (obr. 4) je třeba zapilovat o 2 mm směrem  $S$ , aby se na destičce s plošnými spoji vešly kondenzátory. Pohled na hotový spínač s emitorovou vazbou je na obr. 9. Vývody z pájecí destičky jsou z ohebného kabliku. U tohoto systému se nedá měnit interval přepínání plynule, ale po skočích. První interval (zapojen kondenzátor  $C_3$ ) trvá kratší dobu (kolem 5 s) a druhý (zapojeny  $C_2$  i  $C_3$ ) je delší (kolem 12 s). Druhý interval spínání dostaneme zkratováním svorek  $G$  a  $H$ .

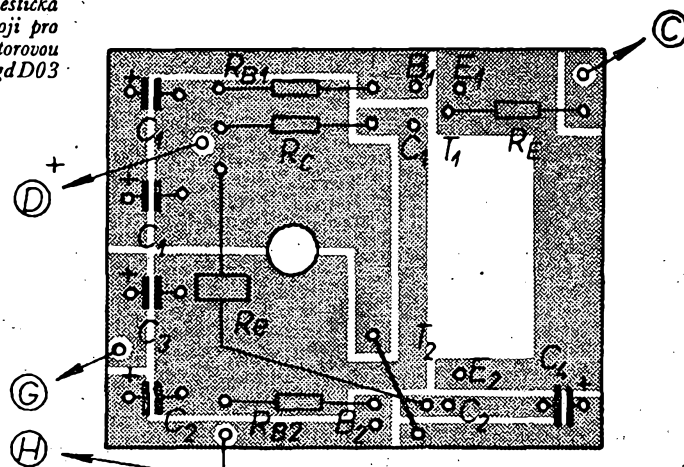
#### Elektrické součásti

Oba tranzistory mají stejnou polaritu (schéma zapojení na obr. 7 platí pro tranzistory n-p-n; stejně je možné použít tranzistory s opačnou polaritou – pak je ovšem třeba změnit i polaritu všech elektrolytických kondenzátorů a napájecího napětí). Koncový tranzistor  $T_2$  pracuje opět jako spínač – vyhoví zde 101NU71 až 104NU70 nebo podobný.



Obr. 7. Schéma zapojení spínače s emitorovou vazbou

Obr. 8. Destička s plošnými spoji pro spínač s emitorovou vazbou Smaragd D03



Pro polaritu p-n-p je vhodný např. OC76, OC77, z novějších typů GC507, GC508 nebo GC509. Jako  $T_1$  lze použít jakýkoli nf tranzistor s kolektorovou ztrátou 30 nebo 50 mW, např. 101NU70 až 104NU70. Na tranzistory nejsou kladený žádné zvláštní požadavky. Všechny odpory jsou opět čtvrtwattové.

Kondenzátory  $C_1$  a  $C_4$  jsou typu TC 943 (nebo TC 964),  $C_2$  a  $C_3$  jsou TC 942 (nebo 973).

Relé  $RE$  je stejný typ jako u prvního druhu spínače (s převinutou cívou).

#### Uvádění do chodu

Při uvádění do chodu je vhodné zapojit místo odporu  $R_{B1}$  odporový trimr TP 035 nebo TP 036 (100 k $\Omega$ ) a místo odporu  $R_{B2}$  trimr 10 k $\Omega$ . Vliv obou odporů na funkci obvodu je vysvětlen v popisu zapojení. Oběma potenciometry opět upravíme čas sepnutí i vypnutí podle požadavků. Po správném nastavení zapojíme místo trimrů pevné odpory.

#### Zapojení spínače s emitorovou vazbou ve vozidle

Spínač umístíme pod palubní desku nebo do blízkosti motoru střešáčů. Poloha spínače neovlivňuje jeho funkci. Zapojení do elektrické instalace vozidla je podobné jako u prvního systému. Také kontakty relé jsou zapojeny stejně. Schéma napájení spínače s emitorovou vazbou je na obr. 10a (pro uzemněný záporný pól baterie) a na obr. 10b (uzemněný kladný pól baterie).

#### Závěr

Oba systémy pracují spolehlivě. Proti některým jiným zapojením mají tu výhodu, že funkce vlastního spínače není závislá na kontaktech použitého relé (kontakty relé slouží jen ke spínání motoru střešáče).

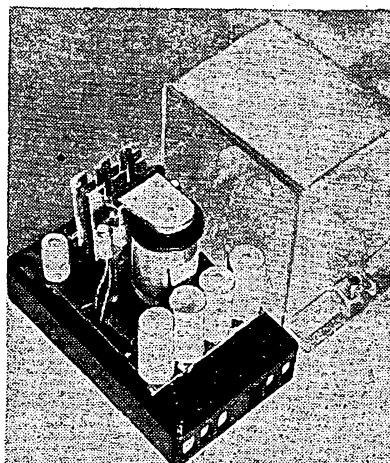
Na závěr shrneme výhody a nevýhody obou systémů, podle nichž si každý může zvolit vhodnější zapojení.

#### Systém s doplňkovými tranzistory

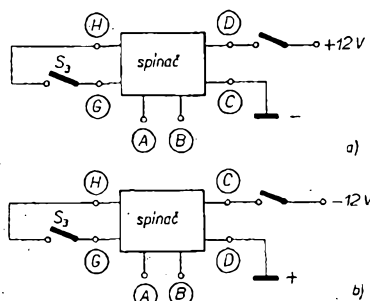
**Výhody.** – Možnost plynulého nastavení intervalu vypnutí (potenciometrem  $P_1$ ).

**Nevýhody.** – Tranzistor  $T_1$  nesmí mít větší zbytkový proud kolektoru  $I_{CE0}$  než 30  $\mu$ A.

V některých případech krátký čas sepnutí relé (někdy se dá nastavit jen na jeden běh raménka střešáče).



Obr. 9. Spínač s emitorovou vazbou s odklopeným krytem



Obr. 10. Spínač s emitorovou vazbou: a) ve vozidle se záporným pólom na kostě, b) ve vozidle s kladným pólom na kostě

#### Systém s emitorovou vazbou

**Výhody.** – Na vlastnosti tranzistorů nejsou kladený žádné zvláštní požadavky. Možnost nastavení libovolného času sepnutí (kondenzátorem  $C_1$ ).

**Nevýhody.** – Nemožnost plynulého nastavení intervalu vypnutí (čas se nastavuje skokově – dvě polohy).

#### Literatura

[1] Svět motorů 2/68, str. 30 (převzato z časopisu Hobby 1967).

[2] Budinský, J.: Technika tranzistorových spínacích obvodů. SNTL: Praha 1963, str. 265.

# ZAPOJENÍ STABILIZÁTORŮ

## proudů a napětí

Petr Linda

Při studiu literatury často najdeme jednoduchá a vtipná zapojení, která nám při konstrukci složitějších celků uspoří práci. Vybral jsem několik takových schémat z oboru stabilizátorů. Jsou to části složitějších obvodů, ale i pouhý princip nám často pomůže najít řešení.

Některá schémata jsou osazena zahraničními polovodiči. Pro převod na naše výrobky poslouží převodní katalog tranzistorů, uveřejňovaný v AR.

### Jednoduchý stabilizátor proudu

Výstupní proud stabilizátoru (obr. 1) je konstantní v širokém rozmezí napájecího napětí  $U_B$  a zatěžovacího odporu  $R_z$ . Při zmenšování  $R_z$  až do zkratu se proud  $I_z$  prakticky nemění.

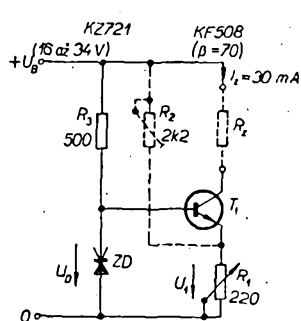
Obvod obsahuje jediný tranzistor. Průtokem proudu  $I_z$  vzniká na odporu  $R_1$  nastavitelný úbytek napětí  $U_1$ , který se porovnává s napětím Zenerovy diody  $U_D$ . Pokud je  $U_1$  menší než  $U_D$ , vyvolá vzniklý napěťový spád větší proud báze, tranzistor se více otevře a proud se zvětší a opět se ustálí na  $I_z$ . Potenciometrem  $R_1$  se nastavuje stabilizovaný proud a potenciometrem  $R_2$  lze dodatečně upravit činitel stabilizace. Dělič se  $ZD$  má být tvrdý, aby  $U_D$  bylo skutečně napěťovým normálem. Tranzistor volíme s kolektorovou ztrátou, kterou vypočteme podle vztahu

$$P_{\max} = I_z \left( U_{B \max} - \frac{R_z \min}{I_z} \right).$$

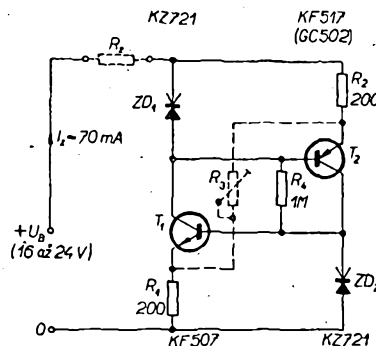
### Stabilizátor proudu s komplementárními tranzistory

Toto zapojení (obr. 2) vzniklo spojením dvou jednoduchých stabilizátorů z předešlého popisu. Dosáhne se jím lepšího činitela stabilizace i větších stabilizovaných proudu.

Změnou proudu  $I_z$  se změní i úbytek na odporech  $R_1$  a  $R_2$ . To změní pracovní body obou tranzistorů a tranzistory vzniklou odchylku využívají. Tranzistory se navzájem ovlivňují; proud kolektoru jednoho určuje proud báze druhého a naopak. Po zapojení do obvodu proudu by mohly oba tranzistory teoreticky zůstat uzavřené. K odstranění této možnosti slouží odpor  $R_3$ , který dodá počáteční malý proud báze. Kladnou vazbu se pak proud stabilizátoru lavičovitě zvětší na  $I_z$ . Pokud použijeme



Obr. 1. Jednoduchý stabilizátor proudu



Obr. 2. Stabilizátor proudu s komplementárními tranzistory

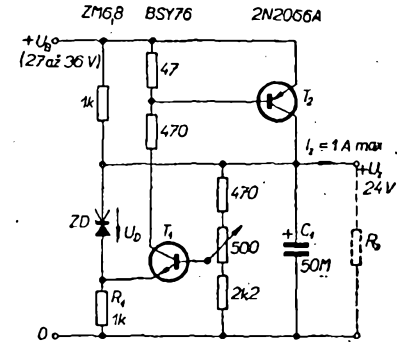
alespoň jeden tranzistor germaniový, může  $R_3$  odpadnout a k využení stačí zbytkový proud tranzistoru. Odpor  $R_3$  slouží k nastavení optimálního činitele stabilizace a k částečnému formování zatěžovací charakteristiky. Vede proud přes snímače regulační odchylky ( $R_1$ ,  $R_2$ ), ale mimo regulační prvky ( $T_1$ ,  $T_2$ ). Jeho velikost je třeba individuálně vyzkoušet.

Toto zapojení použijeme tehdy, požadujeme-li větší konstantní proud s větším činitelem stabilizace, nebo ke kompenzaci napěťově závislých zátěží.

### Zkratuvzdorný stabilizátor napětí

Zapojení stabilizátoru podle obr. 3 má několik výhod. Stabilizátor je jednoduchý a je schopen dodávat velké proudy. Použitý výkonový tranzistor i zátěž jsou chráněny před přetížením a poškozením samočinnou pojistkou, která uzavře výkonový tranzistor při nadměrném proudu nebo zkratu. Po odstranění poruchy začne stabilizátor opět normálně pracovat.

Stabilizační větev je provedena klasickým způsobem z odpovídajícího děliče připojeného na výstupní napětí a z tranzistoru, jehož emitor je na referenčním potenciálu. Výkonový tranzistor se vypíná takto: paralelně k výstupu je zapojen odpor  $R_1$  v sérii se Zenerovou diodou  $ZD$ . Přes  $R_1$  teče proud  $ZD$  a proud emitoru  $T_1$ , který je téměř totožný



Obr. 3. Zkratuvzdorný stabilizátor napětí

s proudem báze výkonového tranzistoru. Zvětšuje-li se proud  $I_z$ , musí se také zvětšovat proud báze  $T_2$  a tím se zmenší proud Zenerovou diodou. Při nadměrném zvětšení  $I_z$  poklesne proud Zenerovou diodou na nulu, dioda se dostane do nevodivého stavu a proud emitoru  $T_1$  se nemůže dále zvětšovat. Dojde ke zmenšení výstupního napětí – zmenší se proud emitoru a výkonový tranzistor se tímto rychlým zpětnovazebním pochodem úplně uzavře. Zátěž potom prochází jen proud přes odporník 1 kΩ. Vypínací proud je určen vztahem:

$$I_{z \max} = (U_z - U_D) \beta R_1.$$

K opětnému zapnutí se musí  $R_2$  zvětšit tak, aby se na něm vytvořil větší úbytek napětí, než je prahové napětí  $T_1$ .

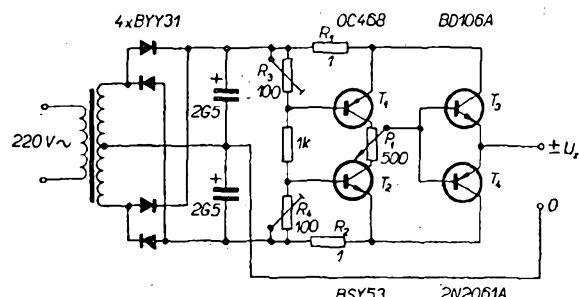
Tento napěťový stabilizátor je vhodný tehdy, je-li zátěž proměnná a chceme-li maximálně využít kolektorové ztráty  $T_2$  bez nebezpečí pro tranzistor i zátěž. Nevýhodné je, že v blízkosti vypínacího bodu se zhoršíuje stabilizační činitel.

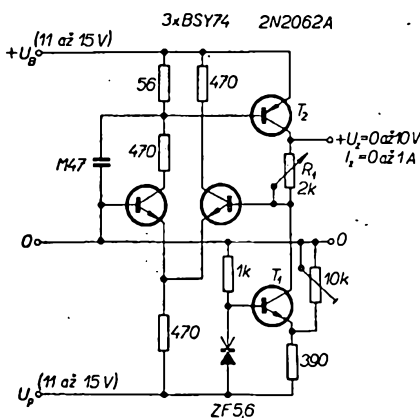
### Zdroj plynule regulovatelný mezi kladným a záporným napětím

Pro některé účely potřebujeme zdroj plynule nastavitelný mezi kladným a záporným napětím bez přepínání polarity na výstupu.

Tento požadavek řeší paralelní spojení dvou zdrojů osazených komplementárními tranzistory (obr. 4).

Z usměrňovače dostáváme stejnosměrné napětí, které je symetrické vůči střednímu vývodu. Na toto napětí je připojen řídící potenciometr  $P_1$  přes tranzistory  $T_1$  a  $T_2$ . Současně se toto napětí přivádí na dvojici výkonových komplementárních tranzistorů, které jsou řízeny  $P_1$ . Protože na  $P_1$  je napětí rozloženo kladně-nula-záporně, je možné získat podle polohy běžce řídícího proudu obou polarit. Pokud bude běžec ve střední poloze, kde je napětí nulové, nepoteče žádný proud, oba koncové tranzistory budou uzavřeny a na výstupu nenaměříme žádné napětí. Velikost a polarita proudu je tedy plynule regulováno výstupní napětí v obou poláritách. Proti přetížení je zdroj chráněn





Obr. 5. Stabilizátor napětí s výstupem plynule nastavitelným od nuly

tranzistory  $T_1$  a  $T_2$ , které jsou zapojeny jako omezovače. Trimry  $R_3$  a  $R_4$  se nastaví pro úbytek na jednom z odporů  $R_1$ ,  $R_2$ . Tento úbytek zmenšíme spad mezi bází a emitem a po překročení určité meze značně omezí buzení tranzistoru. Tím se omezí i napájení  $P_1$  a koncový tranzistor, který právě vede, se přivře. Hranice omezení se nastavuje velikostí buzení  $T_1$  a  $T_2$ .

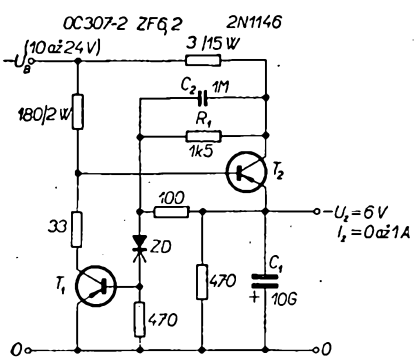
Tento zdroj se velmi dobře uplatní při zkoušení servosystémů a servovesilovačů jako zdroj signálu regulační odchylky.

#### Sériový stabilizátor napětí s výstupem plynule nastavitelným od nuly

Většina stabilizátorů napětí používá jako zdroj referenčního napětí Zenerovu diodu. Protože Zenerovo napětí bývá obvykle 5 až 6 V, nelze stabilizované výstupní napětí nastavit pod tuto velikost. Tuto nevýhodu nemá stabilizátor podle obr. 5, který používá jako referenční napětí nastavitelný úbytek napětí vyvolaný stabilizovaným konstantním proudem.

Tranzistor  $T_1$  pracuje jako zdroj konstantního proudu, který vyvolává na odporu  $R_1$  úbytek napětí, s nímž se srovnává výstupní napětí. Vzniklou regulační odchylkou je řízen diferenciální stabilizační zesilovač, který ovládá přímo koncový tranzistor. Činnost tohoto stabilizátoru vyžaduje pomocný zdroj, který však bude jen nepatrně zatížen.

Použití stabilizátoru je výhodné například při aplikaci lineárních a logických integrovaných obvodů s malým napájecím napětím, které nemůže běžný stabilizátor dodat.



Obr. 6. Stabilizátor s pulsním provozem

#### Sériový stabilizátor s pulsním provozem

Ztrátový výkon v koncovém tranzistoru běžného stabilizátoru se rovná rozdílu vstupního a výstupního napětí násobenému výstupním proudem. Koncový tranzistor bude podstatně méně zatížen, přejde-li se na pulsní provoz (obr. 6). Kolektorská ztráta bude pak prakticky rovna jen součinu saturačního napětí tranzistoru a zatěžovacím proudem.

Při připojení napájecího napětí je koncový tranzistor  $T_2$  otevřen a  $T_1$  zůstává tak dlouho uzavřen, dokud se kondenzátor  $C_1$  nenabije na větší napětí, než je součet prahového napětí  $T_1$  a Zenerova napětí  $ZD$ . Potom se otevře  $T_1$  a uzavře  $T_2$ . Tento stav zůstane zachován, pokud se  $C_1$  nevybije zatěžovacím

proudem. Pak se Zenerova dioda uzavře a  $T_1$  zůstane bez buzení, uzavře se a otevře se plně opět  $T_2$ . Zpětnovazební větev  $C_2$ ,  $R_1$  urychlují překlápní obvod. Zapojení odpovídá astabilnímu multivibrátoru, jehož kmitočet střídá jsou řízeny vstupním napětím a výstupním proudem. Obvod se reguluje změnou těchto parametrů. Pracovní kmitočet se pohybuje kolem stovek Hz.

Tento stabilizátor nevyžaduje výkonový tranzistor, ale tranzistor spinacího typu. Nevhodou je vznikající brumové napětí, které zhorsuje vyhlazení.

#### Literatura

ITT Schaltbeispiele. Ausgabe 1967.  
Čermák, J., - Navrátil, J.: Tranzistorová technika. Praha: SNTL 1967.

## MĚŘIC jazýčkových relé

Ing. Miroslav Arendáš, Ing. Milan Ručka

Tento servisní měřicí byl sestrojen v Tesle Elstroj pro vnitřní potřebu, ale jeho praktičnost a jednoduchost, či pouze využití měřicí metody jej předurčuje i k všeobecnému použití.

Výrazným krokem ke zlepšení jakosti a spolehlivosti elektrických přístrojů je využívání vlastností jazýčkových relé. Jazýčkové relé je elektromagnetický spinací prvek, jehož předností je velká rychlosť sepnutí, dlouhý život, malý přechodový odpor a značná spolehlivost. Kontakty tohoto relé jsou zataveny do skleněné trubičky naplněné netečným plynum, takže jsou chráněny před nečistotami ve vzduchu, vlhkostí a agresivním prostředím.

Princip relé je znázorněn na obr. 1. Dva pásky (jazýčky) z magneticky měkkého materiálu jsou umístěny v skleněné trubičce. Páska, která má kontakt, je zlacená a nazývá se zlacený pásek. Páska, která nemá kontakt, je nazývána pásek.

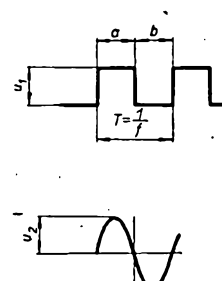
Obr. 1. Jazýčkové relé

kého materiálu jsou umístěny ve skleněné trubičce. Upevněn je každý zvlášť zátažem na konci trubičky. Oba pásky se překrývají asi o 1,2 mm, vzdálenost mezi jejich konci je asi 0,2 mm a jejich šířka je 1,85 mm. V překrytí jsou konce pásků zlaceny pro zmenšení přechodového odporu, který bývá do 120 mΩ.

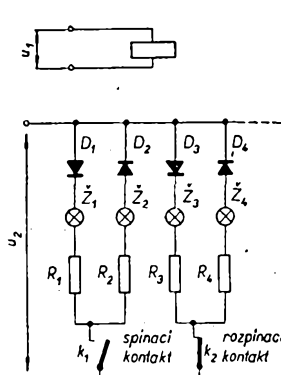
(Pozn.: všechny tyto konkrétní údaje platí pro jazýčková relé typu HU... vyráběné Teslou Karlín.) Utvoří-li se kolem jazýčku elektromagnetické pole asi 30 až 75 Az, pásky se zmagnetují a přitáhnou. Zrušením magnetického pole pásky od sebe odskočí.

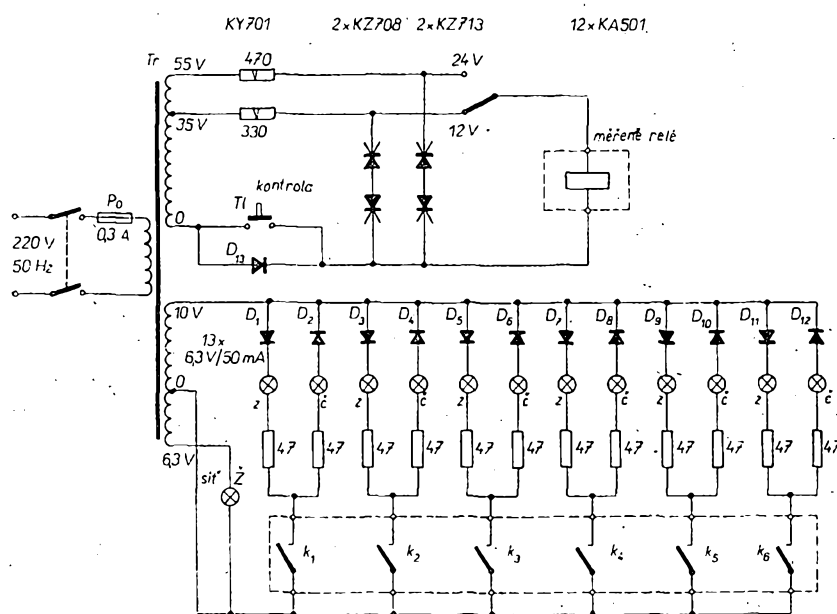
Zatavené jazýčky lze dostat jednotlivě nebo v provedení jako jednodoktové, dvoukontaktové, čtyřkontaktové a šestikontaktové spinaci relé na 12 nebo 24 V. Rozpínací relé na tomto principu se ve vývoji u nás připravují a je možné je očekávat ve výrobě velice brzy. Provedením je jazýčkové relé určeno pro upevnění do plošných spojů. Pracovní poloha je libovolná. Doba přítau je kratší než 2 ms, doba odpadu max. 0,5 ms. Jejich hromadné použití a výroba snižuje jejich cenu a jsou zejména ve výrobcích dostupné i pro amatéra. Jejich použití je všeobecné. Lze jimi nahradit klasická relé, pokud to dovoluje zatížení kontaktů. Dále se hodí pro modelářskou techniku, radiotechniku a mívají i speciální použití, např. v provozech, kde není žádoucí jiskření, u stejnospodných zesilovačů apod.

Pokud chceme jazýčkové relé použít, bývá velmi vhodné přesvědčit se o jeho vlastnostech, zvláště jsou-li to relé z výprodeje. Mnozí velkopoužívatele



Obr. 2. Princip měřicí metody





Obr. 3. Zapojení měříče relé

dělají nyní, pokud je autorům známo, před použitím těchto prvků náročné zkoušky a komplexní kontrolu.

U jazýkových relé se převážně vyskytují tyto poruchy:

1. Poškození přívodů k napájecí cívce nebo porucha napájecí cívky.
2. Mechanické poškození trubiček nebo zátavu.
3. Poškození kontaktu elektrickým nebo mechanickým namáháním (při pouhém spínání naprázdno). Taktéž poškozené kontakty jsou spálené nebo slepené.

U nových relé se stává, že po krátké době provozu – rádově desítky tisíc sepnutí – dojde někdy ke slepení jazýčků. To je u těchto relé neopravitelná závada, neboť justování a čistění kontaktů, tak jak je to běžné u klasických relé, je nemožné. Znamená to kontakt vyměnit nebo použít celé relé nové.

Kontrolování jednotlivých kontaktů je zdlouhavé a již u mála kusů se vyplatí použít popisovanou zkoušební metodu. Princip metody je na obr. 2. Na cívku relé přivádíme napětí  $u_1$  obdélníkového průběhu. Kontakty spínají kmitočtem  $f_s$ , a to vždy na dobu „a“. Po dobu „b“ kontakt nesepne. Spíná-li (u rozpinacího kontaktu rozpiná-li) kontakt správně, lze se na něj dívat jako na usměrňovací ventil. Diody potom působí jako logické výhybky. V čase „a“ je kontakt  $k_1$  sepnut. To znamená, že v obvodu je připojena kladná půlperioda napětí  $u_2$ , ale vede pouze dioda  $D_1$  – proto svítí žárovka  $\tilde{Z}_1$ . Dioda  $D_2$  je pro tuto půlperiodu polována v závěrném směru, tedy nevede. V čase „b“ je kontakt  $k_1$  při správné funkci rozpojen. Spíná-li kontakt  $k_1$  správně, svítí žárovka  $\tilde{Z}_1$ , je-li slepen, svítí obě žárovky  $\tilde{Z}_1$  i  $\tilde{Z}_2$ , ne-spíná-li vůbec, nesvítí žádná žárovka. Spíná-li kontakt špatně (střídavě lepi), projeví se to pomrkáváním obou žárovek. Analogicky totéž platí pro rozpinací kontakt. Na obr. 2 je to kontakt  $k_2$  a dvojice žárovek  $\tilde{Z}_3$  a  $\tilde{Z}_4$ .

### Seznam součástí

Odpory	
470 Ω, 5 W	1 ks
330 Ω, 5 W	1 ks
47 Ω, 1/4 W	12 ks

Diody:	
KA501	12 ks
KZ708	2 ks
KZ713	2 ks
KY701	1 ks

Ostatní:	
žárovka 6,3 V, 50 mA	13 ks
objímka na miniaturní žárovku	13 ks
skličko na kontrolní žárovku	13 ks
sirová zástrčka	1 ks
držák na pojistku	1 ks
pojistka 0,3 A	1 ks
listá ZPA 2 × 13 vývodů	2 ks
sirový spínač dvoupólový	1 ks
telefonní tlačítko	1 ks

Transformátor:  
EI 25 × 25, 7,7 z/V,  
primár 1 700 z drátu o  $\varnothing$  0,2 mm, 220 V;  
sekundár 82 z o  $\varnothing$  0,6 mm, 10 V;  
480, 300 z o  $\varnothing$  0,2 mm, 55 V, 35 V;  
55 z o  $\varnothing$  0,16 mm, 6,3 V.

### Závěrem přehled typů jazýkových relé vyráběných v ČSSR

#### Relé 12 V

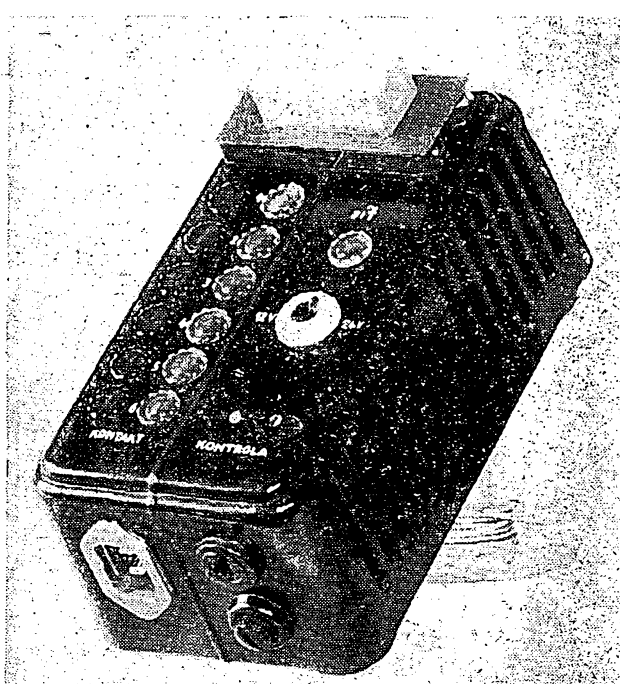
- HU 10195.01, odpor vinutí 970 Ω, počet kontaktů 1
- HU 10355.01, odpor vinutí 560 Ω, počet kontaktů 2
- HU 10525.01, odpor vinutí 280 Ω, počet kontaktů 3
- HU 10725.01, odpor vinutí 240 Ω, počet kontaktů 4
- HU 10915.01, odpor vinutí 140 Ω, počet kontaktů 6

#### Relé 24 V

- HU 10134.01, odpor vinutí 3 560 Ω, počet kontaktů 1
- HU 10318.01, odpor vinutí 1 970 Ω, počet kontaktů 2
- HU 10510.01, odpor vinutí 1 040 Ω, počet kontaktů 3
- HU 10765.01, odpor vinutí 695 Ω, počet kontaktů 4
- HU 10955.01, odpor vinutí 510 Ω, počet kontaktů 6

#### Literatura

ZN č. 2/69a TESLA ELSTROJ, ing. Milan Ručka a. ing. Miroslav Arendáš: Přístroj na zkoušení relé s krátkou dobou průtahu.



# BOOSTER ke kytáře

P. Šitina

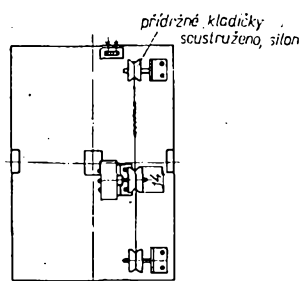
Se zájmem jsem si přečetl v AR 10/69 článek Booster a „kvákadlo“ ke kytáře. Stavbou elektronických hudebních nástrojů a zvláště touto otázkou se již delší dobu zabývám a musím v některých bodech s autory článku polemizovat. Myslím totiž, že se mi tento problém podařilo vyřešit výhodněji.

Jsem přesvědčen, že s úrovní našich kytar to není tak špatné. Bohužel v porovnání se zahraničními výrobky dávají naše snímače mnohem menší signál. Závadou špičkových kytar (např. Alexandra, Tornado, Hurican, Uragan) je, že nemůžeme regulovat snímání signálu z jednotlivých strun. Snímače nejsou vyváženy a některé struny přeznivají, nejčastěji „h“ a „e“. S tímto nežádoucím zvukovým „efektem“ se setkáváme i u gramofonových nahrávek. U všech uvedených kytar jsou použity poměrně kvalitní snímače nenáhylné k mikrofoničnosti, odlumené pryžovou podložkou. Mezi lubovními kytarami (např. Tornado) a panelovými (Hurikan, Uragan) není velký rozdíl. Po elektrické stránce jsou úplně stejné. Všechny tyto nástroje můžeme bez velkých potíží připojit ke každému průměrnému boosteru. K rozhoukání soustavy dochází až při bezprostředním přiblížení kytary k reproduktoru. Zkoušel jsem to s přístroji vlastní výroby i profesionálními boostery, např. Vae Profesional II.

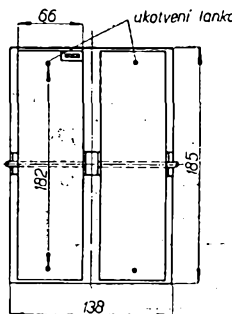
Potíže nastávají při použití kytar s méně kvalitními snímači, např. Si-rius, Star, Alfa. Nekvalitní snímače v pouzdrách z plastické hmoty jsou při připojení boosteru náhylné ke zpětné akustické vazbě. Při použití tlakových vysokotonových reproduktorů je jev ještě intenzívnejší (myšleno u boosteru pracujícího na principu přebuzeného zesilovače). V takovém případě nezbývá, než (pokud to jde) zmenšit citlivost přístroje, nepoužívat tlakové reproduktory, nebo používat kvalitnější a dobré odlumené snímače.

Při hře kytaristy často potřebuje zvuk boosteru zeslat do ztracena, nebo náopak zesilovat. U publikovaných konstrukcí ani u profesionálních výrobků se s tím nepočítá. Kytarista musí mít k dispozici mixážní pult s technikem, nebo regulovat hlasitost sám potenciometrem na kytáře, což při hře nebývá snadné.

Na obr. 1 je tento problém vyřešen i se spínáním boosteru. Booster spíná



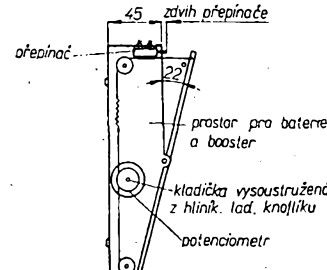
Obr. 1. Schéma převodu na hřidel potenciometru



Obr. 2. Základní rozměry ovládací skřínky. Jako lanko slouží tlustá silikonová struna, která je jednou obložená kolem kladky potenciometru. Drážka na kladce musí mít dostatečnou šířku, aby nedocházelo k tření lanka o její stěny

dvoj- nebo třípolový tlačítkový přepínač podle toho, jaké zvolíme zapojení přepínání.

Přepínač si můžeme vyrobit sami, popřípadě použít starší z rozhlasových nebo televizních přijímačů. Musíme jej upravit, aby přepínal při malém tlaku na páčku. Odstraníme také plíšek, který drží přepínač v přepnuté poloze (pokud použijeme tento druh přepínače). Při montáži dbáme, aby tlačítko při sešlápnutí šlapky do vodorovné krajní polohy bylo v přepnutém stavu. Po překlopení pedálu bude přesahovat nad úroveň krabičky o celý zdvih. Při konečném sestavování přístroje lanko převodu, popřípadě šlapku v čepu mírně přitáhneme, aby se volně nepřeklápla a udržela přepínače v sepnuté poloze. V této poloze je zvuk kytary normální. Výstupní napětí boosteru se reguleuje

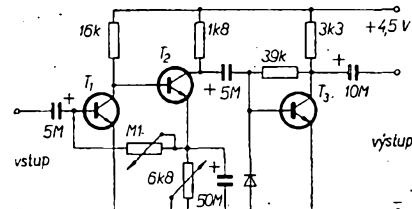


Obr. 3. Uspořádání šlapky a ovládacího převodu. Přepínač je přisroubován na přední stěně

potenciometrem. Rozměry nejsou kritické. Pro celé vytočení potenciometru musíme dodržet velikost úhlu překlápení šlapky, délku mezi ukovením končka lanka a průměr kladky na hřidle potenciometru (obr. 2).

Také „kvákadlo“ používám už téměř rok. Po elektrické stránce s ním nejsou potíže. Základnější je mechanická stránka. Konstrukce otisklána v AR 10/69 je reálná, brzy však dochází k opotřebení potenciometru vlivem velkého tahu lanka na malý průměr hřidele potenciometru. Výhodnější je použít převod z obr. 1. Oba tyto převody umístíme do jedné krabičky se dvěma šlapkami. Ostatní je zřejmé z obr. 2 a 3. Pouzdro spájíme nebo snýtujeme z ocelového plechu tloušťky asi 2 mm.

Na obr. 4 je ještě jedno schéma boosteru. Tranzistory  $T_1$  až  $T_3$  musí mít větší zesilovací činitel (nejlépe je použít křemíkové, např. KC507). Výsledný tón je nezastřený a vysoký vlivem diody připojené mezi bázi a emitor třetího tranzistoru.



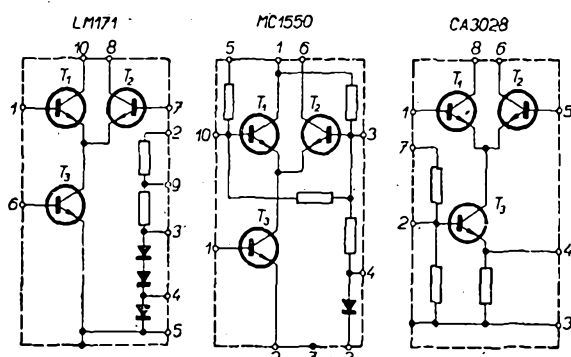
Obr. 4. Schéma boosteru.  $T_1$ ,  $T_2$ ,  $T_3$  – nejlépe křemíkové tranzistory s velkým proudovým zesilovacím činitelem

## NĚKTERÉ APLIKACE LINEÁRNÍCH INTEGROVANÝCH OBVODŮ

Lineární integrované obvody zapojené podle obr. 1 vyrábí s menšími odchylkami mnoho výrobců [2]. Představíme obvodům tohoto typu v nové řadě lineárních integrovaných obvodů Tesla jsou obvody MBA125 a MBA145, určené pro konstrukci rozdílových (diferenciálních) zesilovačů – obr. 2 [1]. Od obvodů na obr. 1 se liší připojenými kolektorovými odpory tranzistorů  $T_1$ ,  $T_2$ , vyvědením kolektoru tranzistoru  $T_3$  a tím, že nemají možnost nastavit pracovní body tranzistorů odpovídající dělicí umístěními uvnitř pouzdra integrovaného obvodu.

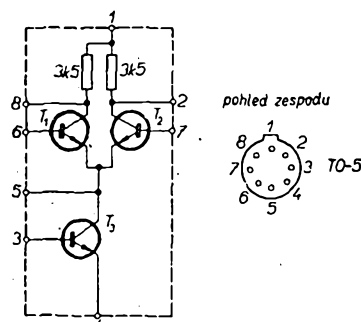
Obvody tohoto uspořádání lze v oblasti zesilovačů střídavého napětí použít témito způsoby:

- jako emitorově vázaný vf a mf zesilovač; signál se přivádí do báze  $T_1$ , báze  $T_2$  je pro vf uzemněna, výstupní laděný obvod je zapojen v kolektoru  $T_2$ . Tranzistor  $T_3$  je zapojen jako zdroj konstantního proudu a zajistuje dobrou teplotní stabilizaci dvojice  $T_1$ ,  $T_2$  při malém napájecím napětí obvodu. Řízením kolektorového proudu  $T_3$  lze měnit v širokých mezích zisk, čehož lze s výhodou využít v obvodech AVC;
- jako kaskádní vf a mf zesilovač s velkým ziskem bez neutralizace a s vý-



Obr. 1.  
(Mezi vývody 1 a 6 je vývod 8,  
n koli 3)

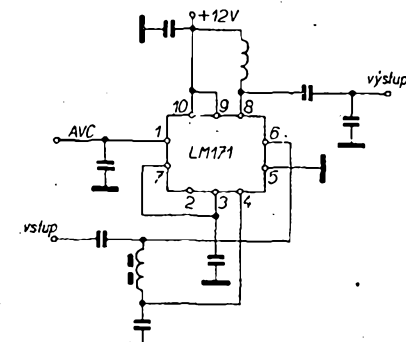
hodnými šumovými vlastnostmi. Signál se přivádí do báze  $T_3$ , výstupní laděný obvod je zapojen v kolektoru  $T_2$ . Tranzistoru  $T_1$  lze využít k velmi účinnému řízení zesílení v obvodech AVC nebo jej lze propojit s  $T_2$  paralelně. U obvodů MBA125 a MBA145 bychom tak mohli odstranit tlumení výstupního laděného obvodu kolektrovými odpory.



Obr. 2.

Každý zesilovač lze za známých podmínek použít jako oscilátor – také v této oblasti lze najít v literatuře celou řadu aplikací.

A nyní několik praktických příkladů pro konstrukci vf obvodů. Pro jednoduchost jsou v dalších obrázcích integrované obvody kresleny jako obdélníky s vývody označenými shodně s obr. 1. Na obr. 3 je zapojení emitorové vázaného zesilovače s integrovaným obvodem LM171 (National Semiconductor). Obvod má symetrickou mezovalovací charakteristiku a je proto vhodný pro přijímače kmitočtově modulovaných signálů. Původní pramen [2]



Obr. 4.

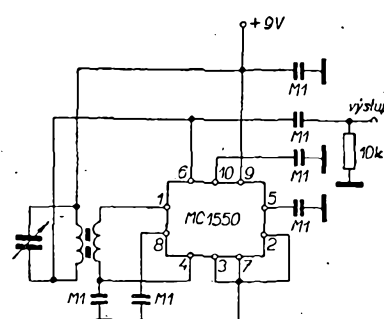
udává zisk 34,4 až 39 dB na kmitočtu 10,7 MHz.

Na obr. 4 je zapojení kaskádního zesilovače [2] s obvodem LM171. Na kmitočtu 100 MHz měl obvod zisk 27,5 dB při šířce pásmá 5 MHz. Následně AVC  $\pm 200$  mV lze řídit zisk kaskády v rozsahu 26 dB.

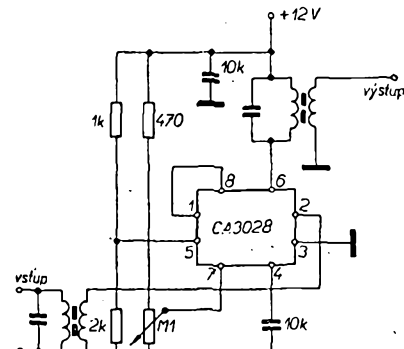
Na obr. 5 je zapojení konvertoru pro amatérské pásmo 160 metrů [3] s integrovaným obvodem MC1550 (Motorola).

Na obr. 6 je zapojení oscilátoru [4] s rozsahem 5 až 10 MHz s tímtož integrovaným obvodem.

Na obr. 7 je zapojení vf zesilovače s ručním řízením zesílení [3] s integrovaným obvodem CA3028 (Westinghouse). Řada dalších námětů v časopise QST svědčí o běžném používání integrovaných obvodů amatéry v zahraničí. Články nezřídka končí konstatováním, že zapojení s integrovanými obvody jsou při lepších vlastnostech zapojení stejně draha (ne-li levnější) než s diskrétními součástkami.



Obr. 6.



Obr. 7.

#### Literatura

- [1] Katalogové listy lineárních integrovaných obvodů Tesly Rožnov.
- [2] Hirschfeld, R. A.: Design of stages with monolithic ICs. Electronic Design 1968, č. 11, str. 64.
- [3] QST 4/68, str. 13.
- [4] Popular Electronics 7/67, str. 77.

-istor-

\* \* \*

#### Nové vf tranzistory

Tři nové typy tranzistorů pro použití ve vf technice uvedla na trh firma Valvo. Jde především o typ AF267, germaniový tranzistor vyrobený semiplánní technikou, který se hodí jako vf předesilovač do přijímačů pro příjem UKV, ať již televizních nebo rozhlasových. Tranzistor má páskové bezindukční vývody.

Pro mezfrekvenční zesilovače přijímačů AM i FM slouží jiné nové tranzistory – BF334 a BF335. Do řízených místupnů je vhodný BF334, neboť má větší proudové zesílení. Oba tranzistory lze použít i na směšovač pro AM vzhledem k jejich vynikající směšovací strmosti. Tranzistory nevyžadují neutralizaci, neboť mají velmi malou mezielektrodovou kapacitu.

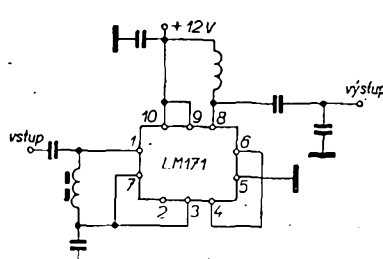
\* \* \*

#### Stereofonní testy

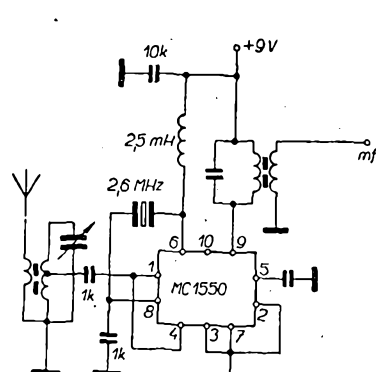
Pro technicky založené posluchače stereofonních pořadů vysílá od 4. 10. 1969 bavorský rozhlas pravidelně zvláštní testy k nastavování a měření stereofonních přijímačů.

Pořad má název Technisches Messprogramm a vysílá jej v noci z pátku na sobotu (vždy první pátek v měsíci) vysílače druhého bavorského programu. Měřicí vysílání začíná vždy ve 24.00 v pátek a končí asi dvacet minut po půlnoci. Kromě toho vysílá stejný okruh vysílačů každou sobotu od 10.30 do 11.00 hod. tzv. Hi-Fi Kontrolle, pořad podobného typu, ale pro laiky.

-čá-



Obr. 3.

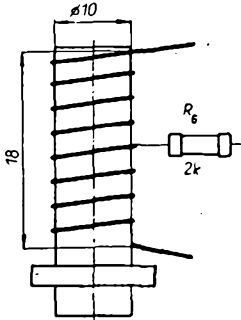


Obr. 5.

## Ešte o elektrónkovom prijímači pre VKV z AR 10/69

Pri prepisovaní tohto článku vypadli z neho nedopaireným údaje o cievke  $L_3$ , za čo sa ospravedlňujem čitateľom i reakciu AR. Tymto doplnkom by som chcel tiež odpovedať na dopyty, ktoré sa na zapojenie prijímača vyskytli.

Cievka  $L_3$  superreakčného detektora je navinutá na kostríčku o  $\varnothing 10$  mm drátom CuL o  $\varnothing 1$  mm. Pri šírke vinutia 18 mm je navinutá na kostríčku 8 závitov. Odbočka je uprostred a je na ňu pripojený odpor  $R_6$  (obr. 1). V kostríčke nieje jadro. K ladenemu obvodu  $L_3$ ,  $C_L$ ,  $R_6$  je potrebné dodať, že pri zachovaní pôvodného ladiaceho kondenzátora  $2 \times 15 \text{ pF}$  je preladenie ie zbytočne veľké. Kto by chcel preladenie zmeneť, môže z obidvoch sekcií rotora duálu ubrať po jednom plechu. Pripojením ku každej sekcií duálu po  $5 \text{ pF}$  sa pomer kapacit v otvorenom a uzavretom stave zmenší, čím sa zmenší aj preladenie. Tuto úpravu je možné previesť pri za-



Obr. 1.

chovaní pôvodného počtu závitov cievky  $L_3$ . Úprava je dosť náročná a preto som ju v pôvodnom zapojení vynechal a pre menej pokročilých amatérov ju ani neodporúcam.

Prijímač v tomto zapojení má veľkú citlosť pri príjme AM, pri použití pre FM, pre ktoré je určený, citlosť klesá. Preto v slabšom poli je nutné použiť anténu z väčším ziskom. Je možné použiť dipól. Zložitejšie sústavy by pre ich nákladnosť nevyvážili jednoduchosť prijímača. Rozmery dipólu je možné zobrať z literatúry [1], [2] a [3], ale najdeme ich skoro v každej príručke. Konštrukcia dipólu závisí od použitého materiálu a preto rozmery neuvedzam.

V pôvodnom zapojení z AR 10/69 je nutné anténu oddeliť od cievky  $L_1$  dvoma kondenzátormi  $47 \text{ pF}/1\,000 \text{ V}$ . Je to potrebné z bezpečnostných dôvodov, lebo anódové napätie je usmernené priamo zo siete. Pri použití sieťového transformátora s oddeleným anódovým vinutím toto oddelenie odpadá.

Pre tých, ktorí by chceli na tomto zapojení experimentovať, uvádzam lit. [4]. Sú tu uvedené dve zapojenia továrenských prístavkov pre VKV firmy Grundig.

Sú to zapojenia z počiatkov príjmu VKV, dnes sa už továrenské prístavky pre VKV ako superreakčné detektory nevyrábajú.

Ing. Viliam Petrik

### Literatúra

- [1] Borovička, J.: Prijímače a adaptory pro VKV. SNTL: Praha 1967.
- [2] Meluzín-Uher: Malá radiotechnická príručka. ALFA 1968.
- [3] Richter, H.: Příručka techniky televizního příjmu a příjmu na VKV. SNTL: Praha 1960.
- [4] Lange, J.: Schaltungen der Funkindustrie. Band IV, Leipzig 1961.

# Návrh výkonových zesilovačov a násobiču kmitočtu

Ing. Vladimír Mašek, OK1KIR

Jedným z hlavných cílov konštruktéra amatérského vysílače je dosiahnutie největší účinnosti koncového stupňe, protože jeho maximální příkon je omezen povolovacími podmínkami. Pro výkonové zesilovače a násobiče kmitočtu, zejména na VKV, se používají různé typy elektronek. Ve většině případů nejsou známy jejich parametry a hodnoty pasivních prvků, potřebné k optimální činnosti elektronky jako výkonového zesilovače nebo násobiče kmitočtu. Tento článek obsahuje teoretické podklady a zásady pro správný návrh výkonových stupňů amatérských vysílačů.

Výkonové zesilovače nebo násobiče kmitočtu pracují obvykle ve třídě C, popřípadě B. To znamená, že poloviční úhel otevření elektronky  $\Theta$  je menší než  $90^\circ$ . Činnost takového stupně je zřejmá z obr. 1.

Pro výpočet základních vztahů definujme některé běžně používané parametry.

Cínil využití anodového napětí

$$\xi_n = \frac{U_{an}}{U_{ap}}, \quad (1)$$

kde  $U_{an}$  je amplituda vf napěti nté harmonické na anodovém rezonančním obvodu,  $U_{ap}$  je stejnosměrné napěti na anodě. Schulzovou součinitel (charakterizující obsah nté harmonické v pulsu anodového proudu)

$$\alpha_n = \frac{I_{an}}{I_{am}}, \quad (2)$$

kde  $I_{an}$  je amplituda anodového vf proudu nté harmonické,  $I_{am}$  je amplituda pulsu stejnosměrného anodového proudu.

Cínil  $\xi_n$  závisí na zbytkovém napěti na anodě, ktoré je definováno v okamžiku, kdy anodový proud je roven  $I_{am}$ , a na stejnosměrném anodovém napěti  $U_{ap}$ . Pro výkonové zesilovače a násobiče volíme co největší  $U_{ap}$ , protože zbytkové napěti na anodě musí být větší než amplituda  $U_{ap}$  max kladné špičky mřížkového budiciho napěti. Cínil  $\xi_n$  je u běžných triod asi 0,5, u vysílačích triod 0,85 až 0,95, u pentod 0,65 až 0,85. Z toho vyplývá, že chceme-li dosáhnout velké účinnosti výkonového stupně, musíme volit vhodný typ elektronky.

Schulzovou součinitel je určen Fourierovým rozvojem pulsu anodového proudu a závisí na stupni násobení a polovičním úhlu otevření  $\Theta$ . Schulzovy součinitele lze vypočítat z těchto vztahů (nebo určit z grafu na obr. 2):

$$\alpha_0 = \frac{1}{\pi} \frac{\sin \Theta - \Theta \cos \Theta}{1 - \cos \Theta}, \quad (3)$$

$$\alpha_1 = \frac{1}{\pi} \frac{\Theta - \sin \Theta \cos \Theta}{1 - \cos \Theta}, \quad (4)$$

$$\alpha_n = \frac{2}{\pi} \frac{\sin(n\Theta) \cos \Theta - n \cos n\Theta \sin \Theta}{n(n^2 - 1)(1 - \cos \Theta)} \quad (5)$$

Z obr. 2 vidíme, že každý Schulzův součinitel má maximální velikost při určitém úhlu  $\Theta$ . Úhel  $\Theta$ , odpovídající maximálnímu Schulzovu součiniteli pro určité  $n$ , lze přibližně určit ze vztahu

$$\Theta_{opt} = \frac{120}{n} \quad [^\circ]. \quad (6)$$

Úhel  $\Theta_{opt}$  je optimální z hlediska poměru amplitud nté složky anodového proudu k amplitudě anodového pulsu a nikoli z hlediska účinnosti stupně. Podívejme se bliži na průběh účinnosti zesilovače nebo násobiče v závislosti na úhlu  $\Theta$ .

Stejnosměrný výkon  $P_p$ , dodávaný anodě výkonového stupně, je roven

$$P_p = P_u + P_z, \quad (7)$$

kde  $P_u$  je užitečný výkon dodávaný do zátěže včetně ztrát v anodovém rezonančním obvodu a  $P_z$  je ztrátový výkon na anodě výkonového stupně.

Příkon  $P_p$  je určen stejnosměrným anodovým napětím  $U_{ap}$  a stejnosměrným anodovým proudem  $I_{ao} = \alpha_0 I_{am}$ :

$$P_p = \alpha_0 U_{ap} I_{am} \quad (8)$$

Užitečný výkon  $P_u$  je určen amplitudou  $U_{an}$  vf napěti nté harmonické na anodě a amplitudou  $I_{an}$  anodového proudu nté harmonické

$$P_u = \frac{1}{2} U_{an} I_{an} \quad (9)$$

Protože

$$U_{an} = \xi_n U_{ap}$$

$$I_{an} = \alpha_n I_{am}$$

je

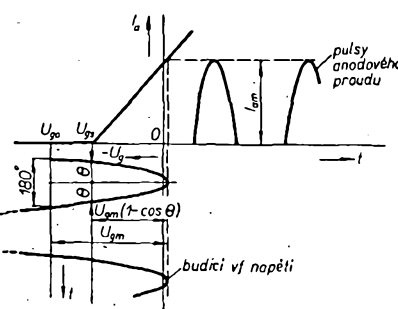
$$P_u = \frac{1}{2} \xi_n \alpha_n U_{ap} I_{am} \quad (10)$$

Ztrátový výkon  $P_z$  na anodě je tedy

$$P_z = P_p - P_u =$$

$$= \left( \alpha_0 - \frac{1}{2} \xi_n \alpha_n \right) U_{ap} I_{am} =$$

$$= \left( \alpha_0 - \frac{1}{2} \xi_n \alpha_n \right) P_p \quad (11)$$



Obr. 1.

a účinnost stupně

$$\eta = \frac{P_u}{P_p} = \frac{1}{2} \xi_n \frac{\alpha_n}{\alpha_0} \quad (12)$$

Předpokládáme-li, že pro daný typ elektronky je činitel  $\xi_n$  přibližně konstantní, je účinnost stupně přímo závislá na poměru  $\frac{\alpha_n}{\alpha_0}$ . Optimální hodnota

tohoto poměru nastává při jiném úhlu  $\Theta$  než je  $\Theta_{opt}$ , jak je vidět z grafu na obr. 3, který byl vypočten ze vztahů (3),

(4), (5). Maximální hodnota poměru  $\frac{\alpha_n}{\alpha_0}$

leží v oblasti velmi malých úhlů  $\Theta$ . Chceme-li dosáhnout velké účinnosti, musíme volit co největší přípustné buďci napětí  $U_{ap}$ . Existují zde však určité omezení. Podrobnejším rozborem lze ukázat, že sice dosáhneme lepší účinnosti stupně, nevyužijeme však plného výkonu, který je jinak elektronka schopna dodat. Dále jsme omezeni maximálním přípustným napětím mezi mřížkou a katodou a zvyšují se často neúměrně nároky na budící stupeň. V praxi to znamená, že takový stupeň má při velké účinnosti jen malý příkon vzhledem k dovolené anodové ztrátě elektronky. Tato skutečnost je však výhodná pro amatérské použití, kde jsme omezeni maximálním dovoleným příkonem a potřebujeme proto dosáhnout co největší účinnosti.

Je třeba poznat, že tyto závěry platí za předpokladu, že dynamický odpór zatíženého rezonančního obvodu v anodě má správnou velikost, danou vztahem

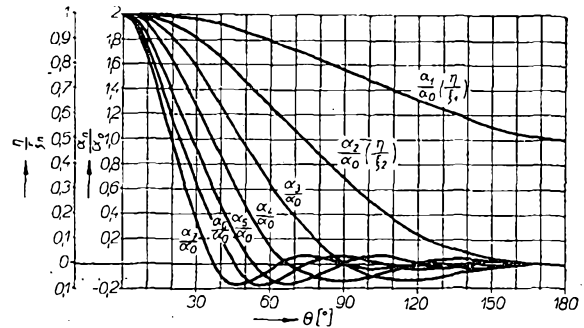
$$R_{dn} = \frac{U_{an}}{I_{an}} = \frac{\alpha_0}{\alpha_n} \xi_n \frac{U_{ap}}{I_{ao}} = \frac{\alpha_0}{\alpha_n} \xi_n R_{ss}, \quad (13)$$

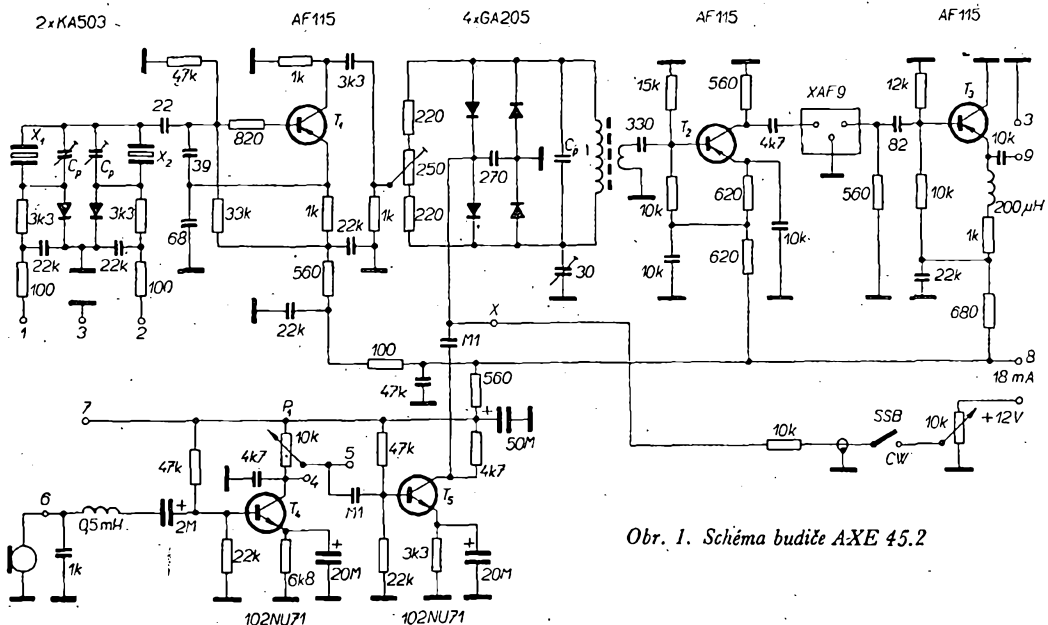
kde  $R_{ss} = \frac{U_{ap}}{I_{ao}}$  je stejnosměrný odpor elektronky, důležitý i pro správný návrh modulátoru.

Na závěr teoretických úvah uvedeme konkrétní příklad výkonového zdvojkmitočtu s triodou pro ideální podmínky.

Daný typ elektronky dovoluje  $I_{am} = 300 \text{ mA}$ ,  $U_{ap} = 1000 \text{ V}$ . Pro zjednodušení předpokládejme, že  $\xi_2 = 1$ . Vo-

Obr. 3.





Obr. 1. Schéma budiče AXE 45.2

není montován na destičku s plošnými spoji, ale přímo na přední panel vysílače. Z kolektoru dalšího zesilovacího stupně  $T_6$  se nf signál přivádí do balančního modulátoru se čtyřmi vybranými diodami GA205. Z kolektoru  $T_4$  je možné odebrat i nf napětí pro VOX.  $T_1$  vyrábí krystalem řízený kmitočet nosné. Pro vysílání s horním postranním pásmem (USB) je zapojen krystal na nižším kmitočtu, než je dolní kmitočet filtru (přepínač bod 1), pro dolní postranní pásmo (LSB) je v činnosti krystal nad horním kmitočtem filtru (přepínač bod 2). Pro provoz CW je možné použít externí tónový generátor, nebo se rozbalancuje kruhový modulátor stejnosměrným napětím asi 4 V, přivedeným do bodu  $X$ . Aby při provozu CW nedocházelo k současné modulaci signálů, doporučuje se uzemnit emitor  $T_5$  nebo odpojit napětí pro  $T_4$  a  $T_5$  vřazením kontaktu přepínače funkci do série s odporem 560  $\Omega$  v obvodu napájení modulátoru. Krystaly pro obě postranní pásmá jsou přepínány elektronickým přepínačem osazeným křemikovými diodami, které jsou do

propustného směru spínány stejnoseměrným napětím 12 V ze společného zdroje. Proto není nutné montovat přepínač postranních pásem do blízkosti budiče, ale na kterémkoli volném místě předního panelu vysílače. Napájecí napětí budiče je 12 V při proudu asi 18 mA. Vhodný zdroj pro síťové přístroje je na obr. 2. Rozměry destičky s plošnými spoji (obr. 3) jsou voleny tak, aby bylo možné použít běžné součástky. Odporu jsou TR 152 s kovovou vrstvou nebo miniaturní 0,1 W, blokovací kondenzátory v plochém čtyřhranném provedení pro napětí 40 V, ostatní styroflex nebo keramika. Při větším výkonu vysílače než 100 W je třeba zamezit pronikání výstupu modulátoru zařízením tlumivky 200 až 500  $\mu$ H a blokováním mikrofonního vstupu přímo u konektoru kondenzátorem 300 až 1 000 pF. Plošné spoje budiče vyrábí radioklub Smaragd pod označením

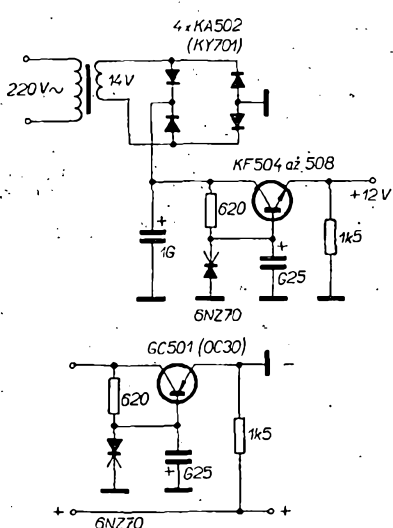
AXE 45.2. Připojení vnějších prvků k destičce je na obr. 4.

Filtr je třeba konstruovat s ohledem na omezený prostor a může mít maximální rozměry 25 × 47 × 25 mm. Je postaven na destičce s plošnými spoji uvedených rozměrů s použitím krystalů z RM31 a je stíněn krytem z pocinovaného plechu s povrchovou úpravou tepaným lakem. Výsledky dosažené při praktickém provozu splnily očekávání při práci na všech amatérských pásmech.

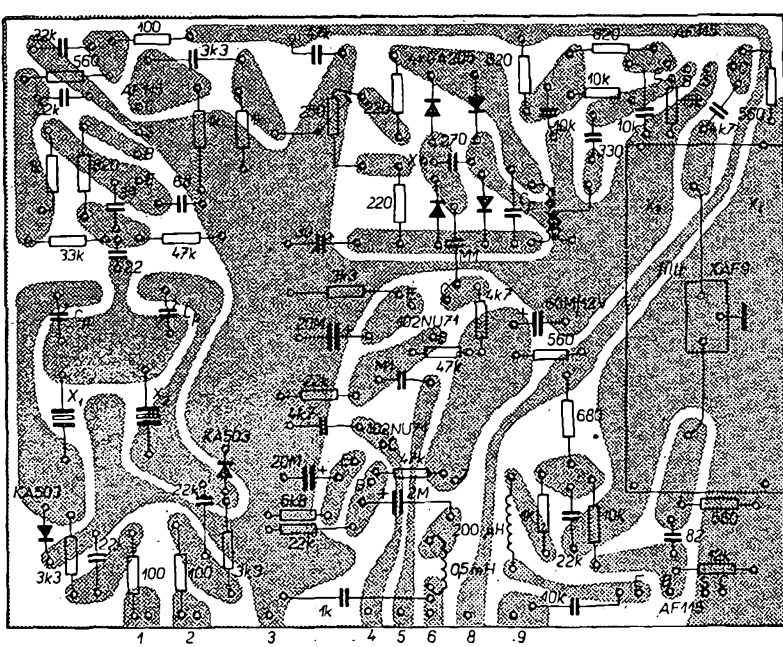
#### Použití

Budič lze použít v celotranzistorových zařízeních i ve vysílačích osazených elektronkami i tranzistory. Nejvhodnější je volit všechny stupně vysílače až po směšovač tranzistorové, budič a koncový stupeň elektronkové.

Pode udaného kmitočtu budiče AXE 45.2 je možný kterýkoli způsob zpra-

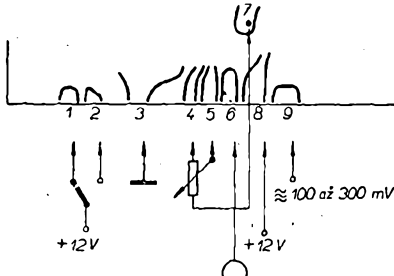


Obr. 2. Zapojení síťového zdroje k budiči AXE 45.2

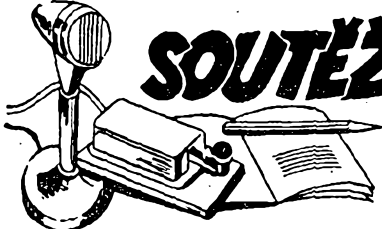


Obr. 3. Destička s plošnými spoji AXE 45.2

cování signálu SSB na žádaná amatérská pásmo, a to metodou jednoduchého nebo vícenásobného směšování. Při výstupním kmitočtu budíce od 8 do 9,5 MHz lze obsáhnout obě hlavní pásmo 80 a 20 m s laditelným VFO 4 až 6 MHz. Z elektronkových směšovačů lze používat za velmi výhodné zapojení podle DJ4ZT s elektronkou ECC85, dobré se osvědčila i známá zapojení s elektronkami ECF82, EF80, EF183 a další. Výstupní úroveň signálu SSB stáci i pro uvedené druhy elektronkových směšovačů.



Obr. 4. Připojení budíku k vnějším obvodům



## SOUTĚŽE A ZÁVODY



### „DX ŽEBŘÍČEK“

Stav k 10. listopadu 1969

	Vysílači	CW/fone	I.
OK1SV	315(328)	OK1ADM	314(314)
II.			
OK1ADP	294(300)	OK2QX	219(226)
OK1MP	283(284)	OK1VK	218(220)
OK1ZL	273(273)	OK1CC	201(216)
OK1CX	254(255)	OK2DB	200(211)
OK1VB	249(261)	OK2PO	195(200)
OK1IMG	242(250)	OK1KTL	190(212)
OK1AW	233(245)	OK1KDC	165(192)
OK1PD	231(260)	OK3BU	163(191)
OK1AHZ	230(247)	OK2BIX	157(187)
OK1US	228(250)	OK1PT	153(179)
OK1BY	219(249)	OK1NH	152(166)

	Fone	I.
OK1ADP	292(298)	OK1ADM
II.		291(298)
OK1MP	261(262)	OK1SV
OK1VK	199(200)	143(179)
OK1AHZ	183(203)	OK1BY
III.		126(157)
OK1WGW	125(147)	OK1XN
OK2DB	124(165)	OK1FBV
OK1NH	116(141)	OK2QX
OK1ZL	115(115)	OK1AKL
OK1KDC	112(147)	53(88)

	Posluchači	I.
OK2-3868	321(330)	
II.		
OK1-6701	241(277)	OK1-16702
OK1-10896	228(274)	OK2-21118
OK1-25239	216(270)	OK1-15561
OK1-12233	178(239)	OK2-21561
OK1-8188	176(234)	OK1-15835
III.		129(160)

Z DX žebříčku vystoupil OK1-17751 (dostal povolení na provoz vlastní vysílaci stanice pod značkou OK1FBH). Ze žebříčku byly vyřazeny ty stanice, které dle než půl roku nezaslaly hlášení. Těšíme se, že se s nimi opět přistěhovat!

Změny v soutěžích od 10. října do 10. listopadu 1969

### „S6S“

V tomto období bylo uděleno 44 diplomů S6S za telegrafická spojení č. 3 927 až 3 970 a 14 diplomů za spojení telefonická č. 881 až 894. V závorce za značkou je uvedeno pásmo doplňovací známky v MHz.

Pořadí CW: SP2AHD (14), SP8CGN (14), YU2ACY, OK1AWV, OK2BDE (14), OK3AS (28), DM2ACC (14), LZ2KAF (14), WP4DHI (21), YO9HH, DL1ZV, YU3TCB (14), LU2ECF (14), SP5CJU (21), dále SP3DOI, UA0KQU, UY5IU, UA9KAD, UA0KCC, UA0CQ, UA3KMG, UB5RR, UY5ZI, UB5TO, UA3KKA, UT5OI, UY5AB, UP2KMU, UA4KWP, UA4KWO, UW6CY, UL7PV, UA6LU, UW9AV, UV3TA, UA3GP, UW9SG a DM6PAA (všechny 14 MHz), UA4QQ (21), DM3UDM, DM3RMA, F6AX, KG4DO (14, 21 a 28), OK2BKT (14 a 21 MHz).

Pořadí fone: DJ2YE (14 a 28 - 2 × SSB), DJ4XA (14, 21 a 28 - 2 × SSB), DM2AUO (14 - 2 × SSB), OK1FBV (21 - 2 × SSB), UY5HI (28 - 2 × SSB), UB5RR (14), UA3MJ (21 - 2 × SSB), UQ2GV (21 - 2 × SSB), UQ2KEM (14 - 2 × SSB), KG4DO (14 a 21 - 2 × SSB), OK1APB (14 - 2 × SSB), WA9FWY (2 × SSB), DK2UN (14 a 21) a LU4EK (14).

Doplňovací známku za telegrafická spojení doslaly tyto stanice: DM2AUO na 3,5 MHz k základnímu diplomu č. 1 431, OK1AQW za 7 MHz k č. 3 688, DJ4XA k č. 2 337 a OK2BMF k č. 3 783, oba za 28 MHz.

### „100 OK“

Dalších 31 stanic, z toho 7 v Československu, získalo základní diplom 100 OK č. 2 267 až 2 297 v tomto pořadí:

SP9CAT, OK3TOA (578: diplom v OK), DJ8FT, DJ2YE, OK3YAO (579), OK2BPA (580), OK3TAD (581), OLIAHN (582), SP6ATT, SP3BLP, SP3BLV, SP8JM, IT1LPG, AP5HQ, DM3VHY, LZ2RF, W8LBI, OK1JKO (583), OK1JJM (584), SP3AMZ, UA4SM, UA3KKA, UA0PY, UB5VK, UY5AP, UR2FU, UY5XP, UB5FH, UA4LK a UB5SG.

### „200 OK“

Doplňovací známku za 200 předložených různých listků z Československa obdržely tyto stanice: č. 213 OLIAHN k základnímu diplomu č. 2 274, č. 214 OK1MAO k č. 2 188, č. 215 OK2IV k č. 1 776, č. 216 SP3AMZ k č. 2 287 a č. 217 UA4SM k č. 2 288.

### „300 OK“

Doplňovací známku za 300 potvrzených spojení s OK stanicemi byla zaslána stanici SP3AMZ s č. 98 k základnímu diplomu č. 2 287.

### „500 OK“

Doplňovací známku č. 35 dostala stanice UA3BS k základnímu diplomu č. 138.

### „OK SSB AWARD“

Diplom č. 7 získala stanice OK1AVF, Jaroslav Šembera z Uval u Prahy.

### „KV 150 QRA“

Další diplomy byly přiděleny těmto stanicím: č. 14. OK3EA, MUDr. Harry Cincura, Samorin, č. 15 OK1WT, Vladimír Lantora, Most, č. 16 OK2BCH, Jindřich Malina, Vsetín, č. 17 OK2PAE, Adolf Pak, Vyškov, č. 18 OK2BEC, Štěpán Matějek, Hodonín, č. 19 OK1ATJ, Karel Šrol, Náchod, č. 20 OK2TB, Bedřich Toman, Brno, č. 21 OK1IAU, Jan Urbánek, Poděbrady, č. 22 OK1AN, Ivan Matějíček, Tanvald, č. 23 OK2BIT, Lad. Kunčar, Rýmařov, č. 24 OK1FA1, Václav Svoboda, Červené Pečky a č. 25 OK1AWU, Miloš Hřebejk, Jilev u Prahy.

### „KV 250 QRA“

Diplom č. 2 získal OK2BDE, Robert Hnátek, Uherský Brod.

### „P75P“

### 3. třída

Diplom č. 297 dostane stanice OK2BBJ, Josef Dura, Hrabůvka, č. 298 Z22PI, J. H. Wojnius, Toruň, č. 299 OK3CGI, Peter Matějka, Topolčany, č. 300 OK1CJ, Laco Polák, Sušice, č. 301 UA3JO, Slawa Efizov, Kalinin a č. 302 UW0FB, G. M. Slavgorodsky, Južno-Sachalinsk.

### „P-100 OK“

Diplom č. 534 bude zaslán stanici YU3-RS-523, Miloš Oblálek, Lublán a č. 535 UB5-065-5 (ex UB5-43095) z Kyjeva.

### „P-200 OK“

Doplňovací známku s č. 22 za 200 odposlouchaných a potvrzených československých stanic obdrží stanice OK1-1783 k základnímu diplomu č. 531 a č. 23 stanice UB5-065-5 k základnímu diplomu č. 535.

### „RP OK-DX KROUŽEK“

### 3. třída

Diplom č. 581 patří stanici OK1-1783, Karlu Křížkovi z Pardubic.

### \* \* \*

Byly hodnoceny jen ty stanice, které během 10 měsíců m. r. poslaly alespoň 6 hlášení a jejichž dopisy byly doručeny do 14. listopadu 1969.

**Poněvadž podmínky pro udělování výkonostních tříd a titulu mistra sporů zůstávají v platnosti i v roce 1970, nemění se ani krátkodobé závody stanovené v minulém roce. Jsou to tedy:**

**OK DX CONTEST (CW),**

**CQ WW CONTEST (CW, popřípadě fone)**

**WAE CONTEST (CW, popřípadě fone)**

**SSB CONTEST**

**ALL ASIAN CONTEST (CW)**

### Mistrovství republiky radioamatérů na krátkých vlnách v roce 1970

Mistrovství bude vyhodnoceno podle účasti a výsledků stanic v těchto krátkodobých závodech:

1. Závod míru,
2. OK DX Contest,
3. Radiotelefonní závod,
4. SSB závod.

Budou hodnoceny jen ty stanice, které se zúčastní alespoň dvou z těchto závodů, a to v kategoriích:

1. kolektivní stanice,
2. jednotlivci muži,
3. jednotlivci ženy,
4. registrovaní posluchači.

V jednotlivých závodech ziská vítězná stanice v každé kategorii tolk bodů, kolik stanic v této kategorii soutěží. Stanice na druhém místě dostane o bod méně, na třetím o dva body méně než stanice na 1. místě atd. Poslední stanice získá 1 bod. Při stejném pořadí stanic v závodě se body sečtou a dělí počtem těchto stanic. Body získané ze všech závodů se sčítají. Stanice, která dosáhne nejvyššího počtu bodů ve své kategorii, se stává mistrem ČSSR pro rok 1970. Při rovnosti dosažených bodů rozhoduje součet získaných bodů za spojení při závodech.

### „DX ŽEBŘÍČEK“

je přehled stavu potvrzených (v závorce navázaných) spojení s různými zeměmi podle seznamu DXCC. V roce 1970 bude žebříček veden podobně jako v roce 1969.

**Vysílání:** CW/fone (mix) I. kategorie přes 300, II. přes 150 a III. přes 50 zemí, potvrzených QSL-listky.

**Fone:** I. kategorie přes 275, II. přes 125 a III. přes 50 zemí, potvrzených QSL-listky.

**Posluchači:** CW/fone (mix) – stejně jako u vysílače/fone.

Hlášení o změnách se zasílají nejméně jednou za půl roku, vždy k 10. únoru, 10. květnu, 10. srpnu a 10. listopadu 1970, výhradně na adresu pořadatele, jinž je prozatím OKICX, Karel Kaminek, Slezská 79, Praha 3 - Vinohrady, nejlépe na korespondenčním listku s uvedením starého stavu + přírůstek = nový stav.

Zveme všechny radioamatéry k účasti v našem sportovním zápolení.



### III. mistrovská soutěž

Poslední RTO Contest letošní sezóny byl ve dnech 7. až 9. listopadu na Slapech ve Sporthotelu na Žižkově. Pořádal jej opět radioklub Smaragd již jako třetí letosní mistrovský závod. Až na sobotní dopoledne, kdy pršelo, bylo pěkné, byl chladné podzimní počasí. Zúčastnilo se 13 závodníků kategorie A a 2 závodníků kategorie B. Protože to bylo naposledy, kdy měl každý možnost zasáhnout do boje o pořadí v mistrovství republiky, nebyla o bojovnost nouze. Poprvé v historii RTO Contestu probíhaly disciplíny v opačném pořadí.

V sobotu ráno odstartovali první závodníci na trať orientačního závodu. Počasí jím nepřálo; drobné, ale vydáválo přeslo. Závod byl náročný hlavně pro pořadatele na kontrolních stanovištích, kteří tam v tomto počasí stali na místě celé dopoledne. Po orientační stránce byl závod snazší než předcházející dva. Zvítězil opět – po třetí v mistrovských soutěžích – Jaromír Vondráček, OK1ADS, z radioklubu Smaragd.

Po obědě byla na pořadu druhá disciplína, telematický provoz. Vzhledem ke špatnému technickému stavu používaných stanic RO21 došlo k tomu, že některé závodníci ještě 10 minut před zahájením provozu neměli fungující stanici. V závodě pak došlo k několikerému porušení propozic jednáním, že několik závodníků nedodrželo předepsanou vzdálenost 500 m od startu a zůstali se stanicí i 100 m od startu, jednak se mnoho závodníků neradiilo údaje, které k provozu dostali, a používali jiné volací znaky. Některí závodníci překročili čas určený k provozu až o 2 minuty.

Poslední disciplína, příjem, proběhla již zcela ve stínu rozhodování o osudu soutěže v telegrafním provozu. Po tříhodinovém rozhodování, které se promítlo jako tříhodinové zdržení vyhodnocení výsledků, hlavní rozhodčí K. Hřibal, OK1NG, ne-potrestal žádné porušení propozic a uznal telegrafní závod za regulérní. Diskvalifikoval J. Klimenta,

OL6AIU (kategorie B) za nevhodný způsob jednání s hlavním rozhodčím (nesportovní chování).

Výsledky soutěže a závěrečné výsledky mistrovství ČSSR pro rok 1969, které vyhodnotil K. Hřibal za spolupráce vedoucího odboru RTO K. Koudelky, byly vyhlášeny po půlnoci v neděli 9. 11. 1969.

### Kategorie A

Poř.: Jméno:	Značka:	R	T	O	Body	
1. Tomáš Mikeska	OK2BFN	Gottwaldov	100	95	100	295
2. Ing. Jaromír Vondráček	OK1ADS	RK Smaragd	97	97	100	294
3. Jan Kučera	OK1NR	Vrchlabí	100	88	88	276
4. Ivan Kosík	OK2MW	Hodonín	85	93	77	255
5. Marta Farbiaková	OK1DMF	Praha	100	97	49	246
6. Václav Uzlík	—	Praha	91	75	68	234
7. Jaroslav Sýkora	OK1-9097	RK Smaragd	98	84	44	226
8. Josef Bürger	OK2BLE	Frydek-Místek	99	63	49	211
9. Josef Brabec	—	Praha	98	51	48	197
10. Karel Koudelka	OK1MAO	Pardubice	92	87	0	173

### Kategorie B

1. Petr Dolejš	OL2AIO	Tábor	99	99	100	298
2. Boris Kačírek	OK1DWV	Pardubice	100	79	97	276
3. Jiří Sloupenský	OL5AJU	Ústí nad Orlicí	91	78	100	269
4. Jiří Kaiser	OL1ALO	Příbram	99	60	84	243
5. Jan Čevona	OK1MUO	Ústí nad Orlicí	35	79	100	214
6. Václav Karas	OL1ALX	Příbram	0	40	79	119
7. Vladimír Cáp	OL1ANE	Praha	7	0	46	53

### Mistrovství ČSSR 1969

Poř.: Jméno:	Značka:	Body:
--------------	---------	-------

1. Tomáš Mikeska	OK2BFN	Gottwaldov	592
2. Ing. Jaromír Vondráček	OK1ADS	RK Smaragd	580
3. Karel Koudelka	OK1MAO	Pardubice	532
4. Marta Farbiaková	OK1DMF	Praha	528
5. Josef Bürger	OK2BLE	Frydek-Místek	473
6. Jaroslav Sýkora	OK1-9097	RK Smaragd	461
7. František Dušek	OK1WC	Pardubice	431
8. Václav Uzlík	—	Praha	414
9. Marta Jančíková	OK1DIA	RK Smaragd	364
10. Olga Tuřčanová	—	Praha	350
11. Božena Jonášová	—	RK Smaragd	344
12. Albína Červeňová	OK2BHY	Brno	331
13. Jan Kučera	OK1NR	Vrchlabí	276
14. Ivan Kosík	OK2MW	Hodonín	255
15. Josef Brabec	—	Praha	197
16. Jana Skralová	—	Praha	84

### Kategorie B

1. Petr Dolejš	OL2AIO	Tábor	585
2. Jiří Kliment	OL6AIU	Pardubice	545
3. Boris Kačírek	OK1DWV	Pardubice	543
4. Jiří Sloupenský	OL5AJU	Ústí/O	514
5. Jiří Kaiser	OL1ALO	Příbram	498
6. Vojtěch Hanzal	OL1ALM	Praha	484
7. Jan Čevona	OK1MUO	Ústí/O	447
8. Miroslav Salda	OL1ALN	Praha	292
9. Josef Brabec	OK2PDZ	Gottwaldov	195
10. Václav Karas	OL1ALX	Příbram	183
11. Vladimír Blažek	OL6AMB	Výškov	104
12. Miroslav Linduška	OK1-18089	Pardubice	97
13. Vladimír Cáp	OL1ANE	Praha	53
14. Josef Strenk	OL7ALP	Opava	16

— amy —



**Rubriku vede ing. Vladimír Srdíkno, OK1SV**

### DX - expedice

Mt. Athos, což je mnichská republika v Řecku, má být cílem expedice, o níž se právě jedná se správou tamního kláštera. Bude-li povoleni uděleno, je na obzoru asi nejen nový prefix, ale s největší pravděpodobností i nová země DXCC, neboť jde o neutrální a samosprávné území.

PJ0DX byla expedice na Curacao v CQ-WW-DX-Contestu, fone části. Expedice byla výběrně vybavena a pracovala na všech pásmech včetně 80 m.

Expedici na Revilla Gigeno Isl., XE4, měli uspořádat José, XE2J, spolu s XE3EB od 16. do 18. 11. 1969. QSL přímo na adresu XE2J.

Expedice na Spratly Island, slibovaná VS6DR, je stále v nedohledu. V polovině listopadu, kdy podle řady DX-bulletinů měl být již na 8S1, byl v Evropě. Expedice prý má již vyřešenu dopravu, potíže a průtahy mají však docela jiný charakter.

VK2BKM měl být na expedici na ostrově Lord Howe již v polovině října 1969, ale dodnes jsme ho ještě neslyšeli.

QSL z expedice VS5MC a F0US/FC z minulého července jsou nyní odesílatelům vráceny, neboť není jasno, budou-li tyto expedice ARRL vůbec uznány. Toto opatření ukazuje spíše na opak.

QSL z Gusovy poslední expedice do Indického oceánu vyfizuje nyní Herman, W2MZV. Poslal do OK již QSL v VQ9/A/BC, VQ9/A/EC a VQ9/A/BR a říká, že zatím je o platnosti značek z této expedice jisté jen toto: VQ9/A/BR platí jen za Seychelles Isl., o dalších dvou zemích nebylo dosud v ARRL definitivně rozhodnuto.

3V8AF byla další krátkodobá expedice. Pracovala jen telegraficky a QSL se mají zasílat na SM6CAS.

Poholou Pelican Isl., na který se má v dohledné době uskutečnit expedice, nám sdělil Vojta, OK1DVK. Ostrov, na mapě označený jako Pelican Isl., leží u severního břehu Jamajky, asi na 77° záp. délky a 18° severní šířky.

FG7TI/FS7 byla značka skvěle aranžované expedice PJ7EC spolu s VE3EUU v době fone části CQ-DX-Contestu na St. Martin Isl. Pracovali od 28 až do 3,5 MHz SSB. QSL vyfizuje VE3EUU.

Další kanadská expedice byla ve stejném období na British Virgin Isl., odkud pracovala pod značkou VP2VP. Byla rovněž snadno dosažitelná. Byli to VE3ACD a VE3GMT, na jejichž domovské adresy se mají zasílat QSL.

Z ostrova Brandon se na podzim ozvala expedice operátérů z VQ8 pod značkou VQ8CFB. Pracovali jen telegraficky.

ZB2BX byla expedice v Gibraltar. Pracovala na všech pásmech telegraficky i SSB a objevila se i v OK-DX-Contestu. QSL žádá zasílat na svého manažera, W3PSM.

Několikrát slibovaná a stále odkládaná expedice CE na ostrov St. Felix (CE0X) je definitivně odsunuta na rok a má se uskutečnit až v zimních měsících letošního roku.

## Zprávy ze světa

**UW0IH/M** je značka nové stanice, která pracuje z QTH Mírnyj v Antarktidě. Pracuje zatím CW a jde patrně o stanicu stabilní.

**10ARI** byla speciální stanice, která pracovala mezinárodního autosalonu v Turinu. Pracovala na všech pásmech CW i SSB. QSL žádala přímo na P.O.Box 250, Torino (chcete-li spec. QSL), nebo normálně na bureau ARI.

**X72AA** (Upper Volta Rep.) se objevil v poslední době i na 28 MHz SSB. Obvykle však pracuje na 14 MHz — hovoří však jen francouzsky a na volání v jiné řeči vůbec nereaguje, čímž vytváří kolem svého kmitočtu značný zmatek.

Jim, známý operátor stanice ZD8Z, pracuje nyní z ostrova Tobago pod značkou 9Y4AA s brilantním provozem. Manažera mu dělá W8CUF.

Dave, VP2KQ, oznámil, že bude pracovat z ostrova Anguilla asi po dobu pěti měsíců. Hovoří obvykle na 21 380 kHz a pracuje od 19.00 GMT. QSL žádá výhradně na adresu: Royal Signals Radio Society, BFO 643, London, England.

**CJ3HG** oznamuje, že nyní často dojíždí na ostrov Juan Fernandez a že odtud chce vždy o sobotách a nedělích vysílat až do konce ledna 1970. Bude pracovat jen na 14 MHz a 21 MHz.

**SVZDB** je podivná značka, která t.č. reprezentuje Togo. Pracuje obvykle na kmitočtu 14 270 kHz SSB a je-li tam příliš rušení, přeladuje se na 14 153 kHz. Potrestan je, že odpovídá i na telegrafické zavolení. QSL žádá na F8US. Při jeho sledování deje pozor, neboť na kmitočtu 14 153 kHz pracují někdy v kroužku s ním stanice XT2AA a TR8DG, takže stojí za hledání. Pravidelně skedy má také se ZL1AV v 06.00 GMT. Další méně aktivní stanici v Togu je 5V4JS, který má krystal 21 279 kHz a provoz začal 13. 11. 1969.

Zprávy z El Salvadoru hlásí, že stanice **YS3RC** (pracující zejména na 7 MHz) je zaručeně pirát! Neaktivitnější stanici je tam stále **YS1O**, který nyní pracuje rovněž převážně telegraficky na 7 MHz v nočních hodinách vždy v pátek. Pro pásmo 80 m nemá ještě zařízení.

Pro lovcy WPX: nové prefixy z posledních dnů jsou WF2LIB — QTH Liberty Island, a WC4GSC — Georgia Southern College (QSL via W4DQD). Pracoval jsem také se značkou Z21A expedičním stylem, nikdo však zatím neví, co to je.

**CR9AK** navštívila opět skupina amatérů z VS6 a pracovali pod jeho značkou SSB 18. a 19. října 1969. Tato expedice byla zaměřena zejména pro amatéry z USA. Pokud jste s ní pracovali, zašlete QSL přímo na VS6DR; žádá však SAE a 5 kusů IRC, chcete-li odpověď přímo.

Nouvel stanici v Afghánistánu je **YA1SG**. Říká, že bude téměř denně na kmitočtu 21 255 kHz od 15.30 GMT a že se v YA zdrží celý letošní rok.

**Norfolk Isl.** zastupuje nyní velmi silný a aktivní VK9LB, obvykle na kmitočtu 21 290 kHz od 02.30 GMT, nebo odpoledne na kmitočtu 14 198 kHz. Někdy bývá i na 14 020 kHz telegraficky. Není však vůbec snadné se jej dovolat, „diký“ manipulaci jeho clearingmanů.

Operátor stanice CE0AE (Easter Island) Paul sděluje, že nemůže získat licenci pro 3,5 MHz. Najdete ho však na SSB na kmitočtu 14 225 kHz nebo 14 105 kHz od 08.00 GMT. Rád navazuje spojení s OK.

Páter Moran, 9N1MM, je zase velmi aktivní. Pracuje obvykle na 14 248 kHz kolem poledne, ale závodí mě SSB i na 28 MHz ve stejnou dobu. QSL žádá na W3KVQ, popřípadě přes HV3S5.

Johnston Island, KJ6BZ, byl u nás slyšen telegraficky na kmitočtu 14 053 kHz v 09.20 GMT.

**A2CAH** se nečekaně objevil i na kmitočtu 28 553 kHz v 18.00 GMT.

WTVCB se na mne obrátil s prosbou o uveřejnění zprávy amatérů z USA, kteří nejsou zařazeni do extraktů. Od listopadu 1968 totiž nemohou pracovat na dolních 25 kHz všech pásem, chtějí však pracovat s celým světem, tedy i s OK. Prosí nás, abychom na ně nezapominali a pracovali i na vyšších kmitočtech, tj. nad 25 kHz do dolních konců DX-pásem. Rád využiju a jistě se podle toho zadám!

**OH3SUF** byla značka zvláštní stanice ve Finsku (skautské Jambooree). QSL žádala na OH3NY nebo OH3QA.

4M1A, 4M6A a 4M7A byly zvláštní prefixy ve Venezuele u příležitosti CQ-DX-Contestu a několik dní po něm. QSL využívají pro všechny W2GHK.

Na ostrově Chatham pracuje od začátku listopadu 1969 známý ZL3PO pod značkou ZL3PO/C. Bude tam asi šest měsíců. Má zařízení TS510 pro 4 MHz beam, takže jsou zde předpokladky, že jej budeme moci dobře slyšet i udělat. QSL na ZL2AFZ.

**EA8FO** mě požádal o uveřejnění jeho adresy, která je sice poněkud dlouhá, ale je to jediná cesta, jak získat jeho QSL. Adresa zni: EA8FO, Rafael Ortiz Hernandez, Bloque 15 — Torre 1.a — 5.a Planta, Urbanizacion Cassablanca, Las Palmas de Gran Canaria, Islas Canarias. Rafael piše, že jinak QSL přes bureau vůbec nedostane. Někdy, ne však pravidelně, dostane poštou i přes P.O.Box 860, Las Palmas.

**JR1ARK** oznámil, že JR je nový prefix pro Japonsko!

9U5DL pracuje telegraficky z Burundi vždy večer na 14 MHz. Říká, že sice používá 2 kW, ale že má jen velmi špatnou drátovou anténu. QSL žádá jen přes bureau.

**TN8BK** je novou stanicí v Congo-Brazaville. Objevuje se kolem poledne SSB na 28 MHz s velmi pekným signálem.

Plovdiv diplom vydávají v Bulharsku v souvislosti s tamním mezinárodním veletrhem a s veletrhy v dalších světových městech. Lze je získat za spojení s pěti stanicemi ve městě Plovdiv a s deseti různými stanicemi ve veletržních městech jiných zemí. Spojení platí od 1. 8. 1968. Diplom má 4 třídy:

I. třída — za spojení jen CW, II. třída za spojení jen fone-AM, III. třída za spojení jen SSB, IV. třída za smíšená spojení. Pásma nerohodují. Diplom je vydáván zdarma pro státy socialistického tábora. Žádostí s 15 potřebnými QSL-listky se zasílají přes nás ÚRK na Radioklub Plovdiv, P.O.Box 185, Bulgaria.

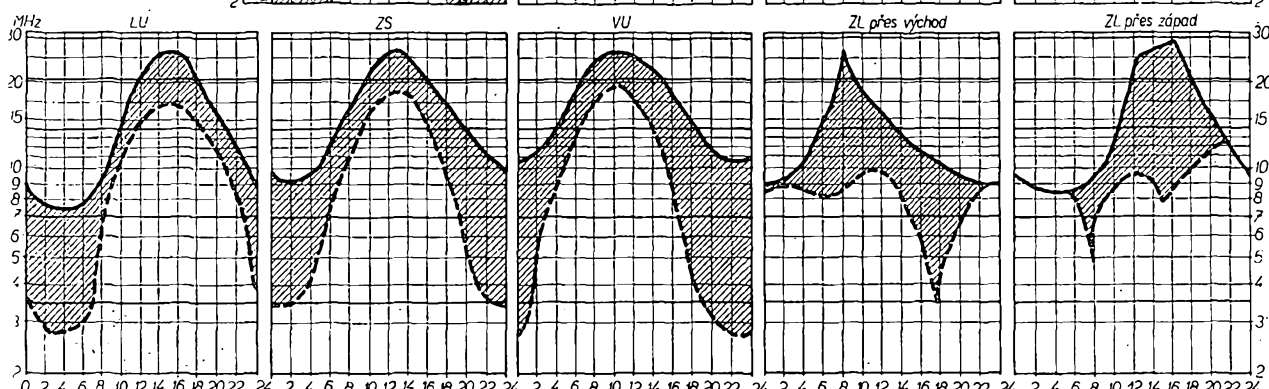
V Plovdivu pracují tyto stanice: LZ1AG, BK, CB, CD, CF, CK, CR, CU, CS, CW, EM, DC, JM, VJ, YW, ZA, ZW, KAZ, KAI, KAZ a KSP. Do diplomu platí tato další veletržní města: Paříž, Kolín n. Rýnem, Norimberk, Offenbach, Parma, Poznaň, Izmry (Smryna), Brno, Frankfurt n. Odrou, Videň, Lipsko, Utrecht, Nica, Varsávia, Padova, Bordeaux, Damašek, Turin, Verona, Düsseldorf, Lyon, Metz, Luxemburk, Barcelona, Terst, Rim, Marseille, Osaka, Záhřeb, Toulouse, Saloniki, Brusel, Florencie, Hannover, Sad a Valencia.

**7HK7** je diplom, který vydává Radio Club Santander v Kolombii za spojení se 7 různými HK7 stanicemi fone nebo CW. Spojení platí od 1. 1. 1962. Je třeba zaslát sedm QSL-listků na adresu vydavatele, P.O.Box 222, Barranquilla, Colombia. V pravidlech diplomu není uvedena žádná cena, zkušme proto žádat zdarma!



na únor 1970

Rubriku vede  
dr. Jiří Mrázek,  
OK1GM



Ačkoli sluneční činnost má již být zřetelně za svým maximem, stále ještě to není mnoho znát. Naopak — sluneční činnost zůstává na značné výši. Proto většina autorů ionosférických předpovědí očekává i v únoru podobné podmínky jako před rokem; je to znát i na našich diagramech, které stále prozrazují poměrně dobré podmínky i na výsmech krátkovlných pásmec. Musíme ovšem počítat s krátkostí dne a využívat zejména přechodných období mezi dnem a nocí, kdy bude doba pro mezkontinentální spojení nejvhodnější. Dokonce i pásmo 10 m bude v některých dnech použitelné a během měsíce se na něm

budou podmínky dokonce zvolna zlepšovat; v březnu pak dosáhnou relativního maxima.

Protože noc bude značně delší než den, budou zajímavější spíše pásmo 7 MHz, 3,5 MHz vzácně i 1,8 MHz. V únoru se již několik let objevovaly právě v pásmu 160 m poměrně dobré DX-podmínky ve druhé polovině noci a koncem měsíce se několikrát ozývaly i jihoafrické stanice. Zmíňuji se o tom přesto, že odtautu sotva uslyšíme na 160 m amatéra. Zato však až na kmitočtech 1,0 až 1,8 MHz zachytíme středovlnné rozhlasové stanice. Opakovat takový vzácný DX-poslech bude stát i letos za pokus. Na pásmu 80 m

začnou dobré DX-podmínky v klidných dnech ještě před půlnocí a vydrží až do doby po východu Slunce; nemusíme snad zdůrazňovat, že po celé trase musí být noc. Na pásmu 40 m budou tyto podmínky ještě lepší a na rozhrani dne a noci se může na krátkou dobu objevit dokonce i Tichomorí. Zvětšené pásmo ticha ve druhé polovině noci a někdy i v podvečer může DX-možnosti jen zlepšit, protože zmírní rušení stanicemi z okolních států. Výskyt mimořádné vrstvy E se blíží celoročnímu minimu a také atmosférického rušení bude jen velmi málo.

## V ÚNORU



se konají tyto soutěže a závody (čas v GMT):

Datum, čas	Závod	Pořádá
7. 2.		
19.00—21.00	OL - závod	ÚRK
7. až 8. 2.		
00.01—24.00	ARRL DX Contest, fone I.	ARRL
9. 2.		
14.00—16.00	QRPP závod (podmínky AR 12/69)	ÚRK
9. 2.		
19.00—20.00	Telegrafní pondělek	ÚRK
21. až 22. 2.		
00.01—24.00	ARRL DX Contest, CW I.	ARRL
23. 2.		
19.00—20.00	Telegrafní pondělek	ÚRK



**QSL informace:** A2CAF na W4Njf, 5R8AS — W6FQ, VS6BC — GM3JDR, HBOFXY — DL8RH, 5N2AAB na P.O.Box 80, Kaduna, CX2CO — W2GHK, TR8DG na P.O.Box 356, Libreville, EA9ER na P.O.Box 227, Ajau City, Spanish Sahara, KV4AD — P.O.Box 2126, St. Thomas, Swan Island, 6W8BM na P.O.Box 290, Dakar, VK9XI — W2GHK, FG7T/FS7 — VE3EUU, GD5APJ — F2QQ, 6W8DB na P.O.Box 971, Dakar, PJ1AA — P.O.Box 385 Curracao, ZD3K na P.O.Box 504, Bathurst, Gambia, ZC4AK — WA2CMV, VU2BEO — W3EWZ, TG9GF — IIHL, KC6CT — W9VV.

Další maják, který nám poslouží k ocejchování přijímačů, se objevil pod značkou DL0IGI na kmitočtu 28 200 kHz (tolerance je menší než  $\pm 50$  Hz). Je umístěn na Grossen Arber, má 200 W a vertikální dipól. Signál je přeprušován mezi 16., 20., 48. a 50. minutou každou hodinou. Po opakování volací značky následuje 40 vteřin trvalý tón. Pozorování i zprávy o poslechu žádá IGY, Renate Seidler, DJ6IN, 4813 Bethel, Lindenstrasse 14, DBR. Pozor, nevolat, je to automat!

Do dnešní rubriky přistoupili OK1ADM, OK1ADP, OK2QR, OK2BRR, OK1DVK, EA8FO, W7VCB, OK2BMH, OK2SFO, OK1-17728, OK1-12233 a OK1-17419. Všem díky za zasláné zprávy, tím větší, že nás stále ubývá a je třeba, aby se ozvali další DX-mani a pomohli získávat ještě lepší výběr zpráv pro tuhú rubriku. Zprávy zasílejte vždy do osmého měsíce na adresu: Ing. Vladimír Šrdík, OK1SV, Hlinsko v Čechách, P.O.Box 46.

## přečteme SI

**Pavlák, M.: ELEKTRICKÁ VÝZBROJ MOTOCYKLŮ.** Druhé přepracované vydání. Praha: SNTL 1969. Knížnice motoristy. 196 stran, 156 obr., 7 tab. Váz. Kčs 19,—.

První vydání vyšlo před deseti lety a bylo velmi brzy rozebráno. Čtenáři tím sami kladně ohodnotili srozumitelný styl výkladu i technickou úroveň pracovního popisu a charakteristik jednotlivých součástí elektrické výzbroje motocyklu. Druhé vydání vyšlo sice v podstatě z prvního, ale bylo upraveno a doplněno novými poznatkami.

Moderní elektrická výzbroj motocyklu je na vysoké technické úrovni a stáva se důležitým článkem pro plné využití výkonu motoru, pro pohodlnou a bezpečnou jízdu. Správná údržba elektrické výzbroje, popř. vyhledání a odstranění poruchy vyžaduje ovšem určité odborné znalosti. Posláním knihy je dát takové minimum širokemu okruhu čtenářů, kteří jezdí na motocyklu.

Popis elektrické výzbroje motocyklu je v knize rozdělen do čtyř základních skupin: zdroje elektrického proudu, kam patří dynamo s regulačním relé a akumulátor; spotřebiče elektrického proudu, jimiž jsou např. světlomet, houkačka, směrová světla, spoušť až ad.; zapalovače zapájení — cívka, svíčka, kondenzátor, přeúrovač apod.; pomocná zapájení, kam patří spináče, přepínače, rozváděci skřínka, pojistky, vodiče, kabely a jiné.

Popis každé jednotlivé součásti je doplněn výkladem podstaty, principu a funkce s rádným zdů-

vodněním a poznámkami; bohatý obrazový materiál a tabulky propisují k snazšímu pochopení a rychlé orientaci. První část knihy je doplněna kapitolami o zásadách elektrické instalace, odrušení a o novinkách ve výzbroji.

Druhá část knihy si velmi podrobne věnímá provozu elektrické výzbroje motocyklu, její údržby, hledání a odstraňování poruch — tyto kapitoly jsou zpracovány ve formě tabulek.

Třetí část knihy obsahuje schéma elektrické výzbroje československých motocyklů s označením součástek, spojů a svorek přepínačů, a to od mopedu Stadion a Jawa 50 až po motocykly Jawa 500.

V dodatku knihy jsou shromážděny teoretické poznatky a informace pro ty čtenáře, kteří neměli možnost osvojit si potřebné základy elektrotechniky ve škole.

Kniha je zpracována velmi solidně, je bez chyb a „šotků“, graficky je dobré využávána, je vytiskena na dobrém papíře a opatřena praktickou a trvanlivou měkkou vazbou z PVC. Lze si proto jen ptát, aby motocyklistům přinesla hodně užitku. L.D.



### Hudba a zvuk (ČSSR), č. 10/69

Výsledky ankety HaZ — Technickoestetické problémy přenosu přirozených elektroakustických signálů — Ano, to je SAM, zvaný deškař — Československý vystavovatelé na „Hi-Fi Expo Praha 1969“ — Návrh vstupních a korekčních zesilovačů — Jak hodnotit vlastnosti magnetofonových pásků — Magnetofon Philips 4407 — Zlepšeny pasivní korektor — Recenze desek.

### Radioamatér (Jug.), č. 11/69

Indikace vfp napětí — Tranzistorový zesilovač 0,5 W — Jakostní přijímač pro amatérská pásmá (2) — Antenní zesilovač pro VKV do 144 MHz — Grafický výpočet filtru II — Ute se a hrajte si s námi (10) — Polovodiče, základy a použití (4) — Spirálová anténa — Stabilizace napětí baterie — Přijímač s kasetovým magnetofonem — TV DX — Nomogram k určení závislosti šířky pásmá, rezonančního kmitočtu a jakosti cívky.

### Funkamatér (NDR), č. 10/69

Stavebnice pro radioamatéry — Pokyny ke stavbě stereofonních přijímačů — Primozesilující přijímače se sovětskými elektronkami se žávacím napětím 12,6 V — Zajímavá řešení prostorových problémů při stavbě tranzistorových zařízení — Generátor signálů schodovitýho průběhu — Křemíkové tranzistory v soupravách dálkového řízení — Delta-Loop-Quad podle K8ANV — Nomogram: Grafické určení průměrů drátů výstupních transformátorů — Univerzální spináč — Rubriky.

### Radio, Fernsehen, Elektronik (NDR), č. 19/69

Informace o polovodičích (62), germaniová dioda s přívázaným zlatým hrotom GAY60 až 64 — Barvový televizní přijímač RFT Color 20 — Stereofonní zesilovač Ziphona HSV900 — Zkušenosti s přijímačem Stern-Camping — Indikace úrovně signálů u spinacích obvodů — K technice paměti s feritovými jádry (dokončení) — Výpočet antén Yagi.

### Radio, Fernsehen, Elektronik (NDR), č. 20/69

Přístroj pro cvičné vyjádření čísel ve dvoukové soustavě — Použití magnetofonových hlav s dlouhou dobou života — Analogové číslicový převodník — Kolorimetrie (3) — Operační zesilovač s tranzistory — Stereofonní souprava Hi-Fi Synfonie — Čírystopé magnetofony dnes — Jednoduché teplotní čidlo — Samočinné dodávání ultralineárního demodulátoru FM — Sluneční baterie.

### Rádiotechnika (MLR), č. 11/69

Zajímavá zapojení — Elektrofonické varhany — Dípóly pro čtyři pásmá — Teorie směšování — Konvertor, pro příjem IV. TV pásmá — Televizor Minivizor pro příjem programů podle normy CCIR — Stabilizovaný tranzistorový zdroj — Přijímač Sharp BZ-23 — Měření na magnetofonech — Jednoduchý absorpní vlnový analyzátor — Zkušební obrazce televizních vysílačů.

### Funktechnik (NSR), č. 19/69

Nové televizní přijímače — Rozhlasové přijímače všech druhů — Stereofonní tuner VKV 312/6 firmy Scott — Pásmový propust v praxi — Širokopásmový antenní zesilovač — Tranzistorový mikrofonní přijímač — Synchronizátor pro úzký film.

### Funktechnik (NSR), č. 20/69

Nové přístroje Hi-Fi — Integrovaný obvod TBA110 pro rozhlasové přijímače — Nové magnetofony a gramofony — Amatérů na Deutsche Funkausstellung — Nové přijímací antény — Videomagnetofony VR7003, VR5103 a VR7803 — Elektronický čítač — Jednoduchý měřicí kapacit.

## INZERCE

První tučný rádce Kčs 20,40, další Kčs 10,20. Příslušnou částku poukážte na účet č. 300-036 SBCS Praha správa 611, pro vydavatelství MAGNET, inzerce, Praha 1, Vladislavova 26. Uzávěrka 6 týdnů uvedějící, tj. 14. v měsíci. Neopomeňte uvést prodejní cenu.

### PRODEJ

NF zosil. 150 W, 4 samost. vstupy, s dvoma reprosystavy (6 500). J. Snak, Ul. 9. mája 35, Partzánske 3.

TX 60 W budíč + PA 3,5 až 7 MHz + zdroj + náhr. el. (800), RX-R311 100 kHz až 30 MHz (600) + náhr. el., RX Tesla Popular (350), krystaly 6 x 465,5 kHz (30), vakuové 470 kHz + 100 kHz (40), 37,7 MHz (25), kanál volit (80), obrazovka fb 351 QP44 (100). Koupím Lambdu 5 jen ufb. L. Hrdina, Žatec, V Zahrádce F2.

Osciloskop BM 205 (1 400), Transistest (250), osciloskop podle AR č. 4/55 bez krytu (650). J. Tuček, Smetanova 948/1, Nymburk.

### KOUPĚ

Tlačítka, vstup, mezifrekv. T 61 (63), i vyměnit zajiné, O. Imlauf, Vrchlabí II, 258.

Soustroj stolní, toč. l asi 35 cm. V. Jelen, Moravská 30, Praha 2.

Zosilňovač nad 10 W, 2 vstupy, ev. dám fot. 6 x 6 s dial. D. Svitáč, Krupina, o. Zvolen.

Obrazovka DG7-1. Pavel Holec, Sdružení 41, Praha 4.

Osciloskop Křížik, RX Lambda nebo pod. E. Dvořák, Janov Ves 5, p. Kokoreň, o. Mělník.

TX CW-SSB-transceiver all band, mech. súč. na mgf. Uran. B. Vároš, SU 5/G, N. Mesto, okr. Trenčín.

Kotek: Čs. rozhlasové a televizní přijímače, I. dil. Amatérská rádia 1962—1968. Radiový konstruktér 1965—1968. I. číslo 1969. Fr. Nezdařil, Chvalnov 18, o. Kroměříž.

### VÝMĚNA

Vf, nf, výk. tranz., diody, tyristory za dobré maloráz. náboje, zhotov. pažby, TV elektronky, osciloskop až, nebo prof. F. Ulom, Kostelec n. C. I. 306.

Magnetofon Blues a 7 pásků za fotoaparát Zorkij nebo podobný. K. Borovička ml., Solidarita A 131, Praha 10-Strašnice.

### RŮZNÉ

Zdarma ocejchují Vás měř. přistr. a dodáme korekční tab. podle p. 0,2 %. Popříp. s Vaším souhlasem rychle a levně opravím nebo změním rozsahy. B. Daliba, Černokostecká 18, Praha 10.

# NEPŘEHLEDNĚTE!

Nová zásilka levných germaniových tranzistorů p-n-p z výroby BLR za výhodné ceny je skladem v prodejně **RADIOAMATÉR**.

Typ	Cena	$U_{PB}$ [V]	$U_{EB}$ [V]	c [mA]	$h_{21E}$	$I_{CBO}$ [μA]	$P_C$ [mW]	$f_b$ [MHz]
SFT 306	13,—	-18	-12	-100	28	- 10	150	3,0
SFT 307	14,—	-18	-12	-100	40	- 10	150	7,0
SFT 319	12,50	-20	-0,5	-10	100	- 15	150	30,0
SFT 321	9,—	-24	-12	-250	33	- 15	200	1,3
SFT 322	11,—	-24	-12	-250	50	- 15	200	1,6
SFT 323	13,—	-24	-12	-250	85	- 15	200	2,0
SFT 351	7,50	-24	-12	-150	33	- 15	200	1,2
SFT 352	8,—	-24	-12	-150	57	- 15	200	1,6
SFT 353	10,—	-24	-12	-150	92	- 15	200	2,0
SFT 124	16,50	-24	-12	-500	30	- 20	350	1,0
SFT 125	17,—	-24	-12	-500	70	- 20	350	2,0
SFT 130	18,50	-24	-12	-500	30	- 20	550	1,0
SFT 131	17,50	-24	-12	-500	70	- 20	550	2,0
T 143	18,50	-45	-25	-500	30	- 6	350	2,0
T 144	19,—	-45	-25	-500	60	- 10	550	1,8
T 146	17,50	-45	-25	-500	60	- 10	550	1,8
T 316	17,50	-20	-0,5	- 10	120	- 15	120	60,0
T 354	17,50	-20	-0,5	- 10	120	- 15	120	80,0
T 357	20,—	-20	-0,5	- 10	120	- 15	120	85,0
SFT 212	31,—	-30	-7,5	- 3 A	40	-100	30 W	0,2
SFT 214	40,—	-60	-30	- 3 A	40	-200	45 W	0,2
T 250	54,—	-80	-40	- 3 A	40	-200	45 W	0,2

## RADIOAMATÉR DOMÁCÍ POTŘEBY PRAHA

prodejna čís. 211-01 v Praze 1, Žitná 7, tel. 22 86 31 o ZÁSILKOVÝ PRODEJ!

## Partnerská spolupráce podniků MH, KRTS a TESLY = lepší služby obyvatelstvu

Podniky elektroniky a slaboproudé techniky VHJ TESLA o více než 75 000 zaměstnancích jsou svými výrobky dobře známé na domácím i zahraničním trhu.

TESLA je výrobcem, který zatím nejúspěšněji řeší vlastní spojení s řadovými zákazníky – pomocí prodejen, značkových opraven a středisk populárního MULTISERVISU TESLA. Zkušenosti s výrobky, znalosti zájmů a potřeb trhu má tak výroba TESLY „z první ruky“.

TESLA ví, že nejlepší reklamou je masová spokojenosť lidí s výrobky a že to závisí též na kvalitním servisu. Proto TESLA v družné součinnosti s krajskými radiotelevizními středisky rozvíjí postupně spolupráci s podniky místního hospodářství – resp. s jejich místními radiotelevizními středisky.

Vysoká kvalita a serióznost služeb podniků MH a jejich RTS na území ČSSR – to je cíl, který stojí za to a který obyvatelstvo vítá.

Proto těm nejzkušenějším RADIOTELEVIZNÍM STŘEDISKŮM, která nejlépe poskytují obyvatelstvu služby v oboru elektroniky, propůjčuje výrobce značku **TESLA**.